

624.04
m-98

Müller-Breslau,
профессоръ политехникума въ Берлинѣ.

Выпускъ V.

Графическая статика сооружений.

Переводъ съ послѣдняго немецкаго изданія.

Т. Т. Кривошеинъ,

Военный инженеръ, преподаватель Николаевской Инженерной Академіи и Училища.

П. Н. Казинъ,

Военный инженеръ.

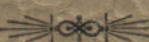
1890
9

Томъ I.

СОДЕРЖАНИЕ выпускa V:

- X. Рѣшетчатыя фермы Тербера (консольныя).
- XI. Трехшарнирныя рѣшетчатыя арки.
- XII. Статически опредѣлимые висячіе мосты и шарнирныя арки, усиленныя балкой.

Издание инженера П. Н. Казина.



С.-ПЕТЕРБУРГЪ.

Типо-литографія и переплетная Ю. А. Мансфельдъ, Малая Морская, № 9.

1899.

9E "

2190

П

Ч

624, 04
m-98

Müller-Breslau,

профессоръ политехникума въ Берлинѣ.

Выпускъ V.

Трафицеская статика сооруженій.

Переводъ съ немецкаго.

2190
ГДР
Институт
в Киль

Т. Т. Кривошеинъ,

Военный инженеръ, преподаватель Николаевской Инженерной Академіи и Училища.

П. Н. Казинъ,

Военный инженеръ



Томъ I.

СОДЕРЖАНИЕ выпускa V:

- X. Рѣшетчатыя фермы Гербера (консольныя).
- XI. Трехшарнирная рѣшетчатая арки.
- XII. Статически опредѣлимые висячіе мосты и шарнирныя арки, усиленныя балкой.

Издание инженера П. Н. Казина.



С.-ПЕТЕРБУРГЪ.

Типографія Ю. А. Мансфельдъ, Малая Морская, 9.

1898.

Дозволено цензурою, С.-Петербургъ, 14 Августа 1898 года.

Предисловіе.

Графическая статика Müller-Breslau, профессора политехнического института в Берлине, заслужила за границей большую популярность. В Германии при проектировании сооружений (мостовъ, стропиль и т. п.) пользуются почти исключительно сочинениями Müller-Breslau. Желание сдѣлать эту книгу болѣе доступной по языку русскимъ инженерамъ и студентамъ побудило насть предпринять этотъ переводъ.

Издание будетъ заключать то выпускъ, которые выйдутъ въ 1898—99 учебномъ году. Раньше другихъ выпускъ появится въ печати выпускъ V, какъ наиболѣе интересный по вопросамъ уравновѣшенныхъ фермъ (трехшарнирныхъ арокъ, консольныхъ и висячихъ мостовъ). Затѣмъ выйдетъ выпускъ I; дальнѣйшие выпуски будутъ слѣдовать по порядку.

Первые 5 выпусковъ составятъ первый томъ (соответствующий первому тому оригинала о статически опредѣлимыхъ фермахъ); слѣдующіе 5 выпусковъ составятъ второй томъ (соответствующий II тому оригинала о статически неопределимыхъ фермахъ).

С.-Петербургъ, Іюль, 1898 г.

Т. Кривошеинъ.
П. Казинъ.



ОГЛАВЛЕНИЕ

V ВЫПУСКА.

ОТДѢЛЪ X.

Рѣшетчатыя фермы Гербера (консольныя).

	СТР.
§ 44. Линії вліянія	7
§ 45. Численный примѣръ. Желѣзнодорожный мостъ по системѣ Гербера	15
§ 46. Рѣшетчатыя фермы Гербера съ воображаемыми шарнирами	29

ОТДѢЛЪ XI.

Трехшарнирныя рѣшетчатыя арки.

§ 47. Примѣненіе способовъ Кульмана и Риттера	36
§ 48. Вертикальная нагрузка	40
§ 49. Численный примѣръ. Линії вліянія для арочной фермы пролетомъ въ 30 метр.	52

ОТДѢЛЪ XII.

Статически опредѣлимые висячіе мосты и шарнирныя арки, усиленныя балкой.

§ 50. Висячіе мосты съ простыми рѣшетчатыми фермами	57
§ 51. Цѣпь, усиленная балкой	73
§ 52. Шарнирныя арки съ жесткой балкой	89

ПРИБАВЛЕНИЕ.

Нѣкоторыя данные по нагрузкѣ сооруженій.

I. Мосты	95
II. Крыши.	100

Литература.

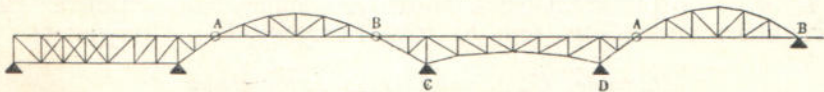
ОТДѢЛЪ X.

Рѣшетчатыя фермы Гербера (консольныя).

§ 44.

Линій вліянія.

185. Введеніе. Для изслѣдованія рѣшетчатой фермы Гербера примѣнимъ тѣ же предположенія, что и для сплошной фермы Гербера: т. е., что подвижные опоры перемѣщаются по горизонтальному пути, всѣ грузы дѣйствуютъ вертикально внизъ и всѣ расчлененные части состоять изъ простой треугольной сѣти. Независимыя фермы (напримѣръ AB на фиг. 338) разматриваются какъ простыя фермы; такимъ образомъ необходимо только опредѣлить напряженія частей фермы со свѣщающимися концами. При этомъ достаточно вывести правила для случая фермы съ двумя консолями, а затѣмъ, чтобы перейти къ случаю фермы съ одной консолью, надо только предположить, что одна консоль не имѣеть вѣса и ненагружена. Определеніе напряженій въ поясахъ O и U разсмотрѣно уже раньше



Фиг. 338.

въ № 156 (§ 34—Выпускъ IV), такъ какъ определеніе O и U изъ выражения для моментовъ M имѣть значеніе для всякой простой треугольной сѣти; нахожденіе же наибольшихъ и наименьшихъ значений M изучено въ отдѣлѣ VI (Выпускъ II). Такимъ образомъ остается разсмотрѣть определеніе напряженій въ промежуточныхъ стержняхъ. Въ фермахъ съ параллельными поясами эти напряженія быстрѣе всего получаются изъ суммы силъ, какъ это было уже выведено въ отдѣлѣ VI (примѣненіе этого способа будетъ приведено въ численномъ примѣрѣ слѣдующаго параграфа).

Въ фермахъ съ ломанными поясами рекомендуется больше всего пользованіе линіями вліянія, такъ какъ этотъ способъ болѣе нагляденъ. Кромѣ того можно воспользоваться также способомъ Циммермана.

Относительно послѣдняго способа остается сказать немного, такъ какъ общія изслѣдованія, примѣняемыя ко всякой треугольной сѣти, нагруженной внѣшними параллельными силами, приведены были раньше въ § 36 (Выпускъ IV).

Достаточно указать, что въ балкѣ Гербера моменты имѣютъ разные знаки. На фиг. 339 (часть рѣшетки) предполагается, что моментъ M_m положителенъ, а M_{m-1} отрицателенъ.

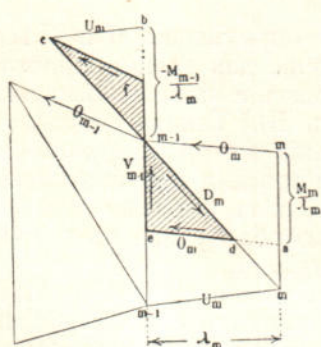
Отрѣзки *ta* и *bc*, представляющіе отношенія $M_m : \lambda_m$ и $M_{m-1} : \lambda_m$, отложены отъ нижняго пояса (см. подобную же фигуру 248 а—Выпускъ IV), но оба въ разныя стороны отъ пояса.

Стрѣлки отрѣзковъ *ad*, *de*, *ef* показываютъ направленія напряженій *O*, *D*, *U* въ частяхъ фермы *тьвье* сѣченія *tt*. Чтобы избѣгнуть ошибокъ при определеніи направленій стрѣлокъ, достаточно помнить, что стержень верхняго пояса будетъ сжатъ, если моментъ M относительно противолежащаго узла будетъ положителенъ, и что горизонтальная проекція напряженій въ многоугольникѣ силъ *O*, *D*, *U* равняется нулю (всѣ внѣшнія силы вертикальны). На фигурѣ 339 можно было бы также отложить отрицательное значение $\frac{M_{m-1}}{\lambda_m}$ кверху отъ нижняго пояса, а положительное $\frac{M_m}{\lambda_m}$ книзу;

если оба момента отрицательны, то цѣлесообразнѣе будетъ эти величины отложить обѣ кверху, чтобы многоугольникѣ силъ *O*, *U*, *D* лежали внутри рѣшетки. Точно такимъ же образомъ поступаютъ и для случая, показанного на фиг. 248 б (Выпускъ IV).

На фиг. 340 изображена часть фермы съ вертикалями; нагрузка дѣйствуетъ въ нижнихъ узлахъ. M_m принято положительнымъ, M_{m-1} отрицательнымъ. Многоугольникѣ силъ строятся вышеописаннымъ способомъ (см. № 167—Выпускъ IV). Получаемъ

$$O_m = \overline{de}; \quad U_{m-1} = \overline{ef}; \quad O_{m-1} = \overline{fc}; \quad D_m = \overline{cd}.$$



Фиг. 340.

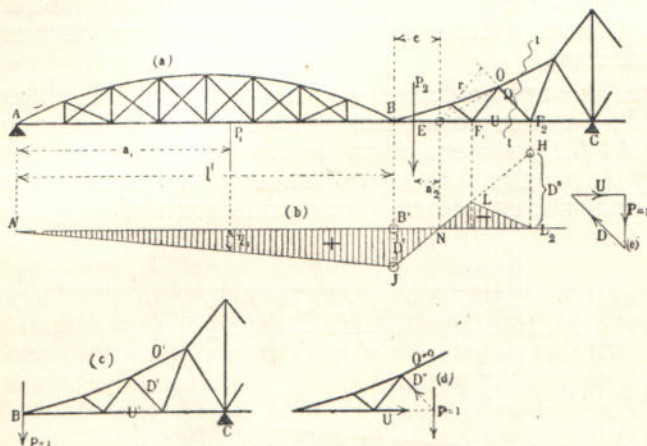
Стрѣлки показываютъ въ какомъ направленіи дѣйствуютъ силы въ верхнемъ узлѣ *m*—1. Для правильнаго нанесенія направленій стрѣлокъ въ многоугольникѣ силъ достаточно помнить, что *O_m* означаетъ сжатіе, если M_m положительно.

Для примѣненія способа Zimmermann'a къ определенію напряженій въ рѣшеткахъ фермы Гербера достаточно знать моменты относительно узловыхъ точекъ, которые опредѣляются на основаніи законовъ, выведенныхъ въ отдѣлѣ VI (Выпускъ II), причемъ ферму, необходимо нагружать такъ, чтобы искомыя напря-

женія приняли наибольшее значение. Послѣдній вопросъ быстрѣе всего решается построениемъ линій вліянія.

186. Линія вліянія для напряженія D въ діагонали съвѣщающаюся конца (фиг. 341). Проведемъ требуемое съченіе $\#$ черезъ разматриваемую діагональ и возьмемъ сумму моментовъ всѣхъ силъ, дѣйствующихъ на лѣвую часть балки, относительно E точки пересеченія поясовъ O и U . F_1 и F_2 — двѣсосѣдня поперечная ферма. Положимъ, что между F_1 и шарниромъ B находится грузъ P_2 , на разстояніи a_2 отъ точки E , а на смежной независимой фермѣ AB находится грузъ P_1 , на разстояніи a_1 отъ шарнира A ; послѣдній въ точкѣ B вызываетъ давленіе $\frac{P_1 a_1}{l'}$. Если E лежить между B и F_1 (на разстояніи c отъ B) и a_2 будемъ считать положительнымъ, когда P_2 находится лѣвѣ E , то получимъ слѣдующее условіе равновѣсія:

$$\pm Dr - \frac{P_1 a_1}{l'} \cdot c - P_2 a_2 = 0,$$



Фиг. 341.

гдѣ r — величина перпендикуляра, опущенного изъ точки E на направление разматриваемаго стержня; знаки плюсъ или минусъ берутся, смотря по тому, въ какую сторону происходитъ вращеніе напряженія D . Для случая, представленаго на фиг. 341, имѣемъ:

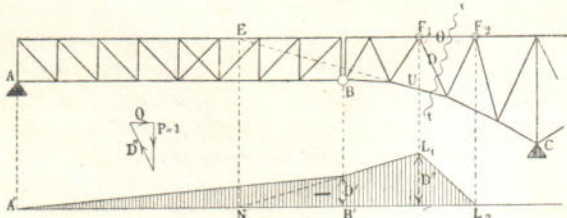
$$D = + \frac{1}{r} \left(\frac{P_1 a_1}{l'} c + P_2 a_2 \right).$$

Это выражение первой степени относительно a_1 и a_2 ; грузъ, находящійся въ F_2 или правѣ F_2 , не оказываетъ никакого вліянія на D . Слѣдовательно, линія вліянія для D состоить изъ трехъ прямыхъ $A'J$, JL_1 и L_1L_2 (фиг. 341, б), которые соответствуютъ частямъ фермъ AB , BF_1 и F_1F_2 ; вертикаль въ точкѣ E даетъ ординату, равную нулю, потому что грузъ P_2 , проходящій черезъ E , вызываетъ въ діагонали D напряженіе = 0. Если, напримѣръ, намъ известно

напряженіе $\overline{B'J} = D'$, которое вызвано въ діагонали грузомъ $P = 1$, находящимся въ B , то легко будетъ вычертить линію вліянія и определить вліяніе каждого груза P , въ формѣ $D = P\eta$. Напряженія D' находять по способу Cremona для случая нагрузки, изображенной на фиг. 341, с. Очень просто также построение линіи вліянія посредствомъ отрѣзка $\overline{L_2H} = D''$ на вертикали точки F_2 . Величина этого отрѣзка можетъ быть определена слѣдующимъ способомъ. Беремъ часть фермы лѣвѣ сѣченія tt и ищемъ тѣ силы O, D'' и U , которые уравновѣщаются съ грузомъ $P = 1$, проходящимъ черезъ точку F_2 (фиг. 341, d). Находимъ $O = 0$, а помошью треугольника силъ получаемъ U и D'' (фиг. 341, e). Въ настоящемъ случаѣ D'' есть напряженіе, которое будѣтъ равняться 1 при вертикальномъ положеніи рассматриваемаго стержня.

Если точка E лежить между B и сѣченіемъ tt , то грузы лежащие лѣвѣ E , вызываютъ въ подывающихся влѣво стержняхъ D растяженіе, грузы же, лежащіе правѣ E , — сжатіе. Слѣдовательно, если подвижная нагрузка дѣйствуетъ только на часть фермы AE или только на часть EF_2 , то получимъ или $\max D$ или $\min D$. Въ случаѣ расположенія желѣзодорожного поѣзда, для полученія $\max D$ или $\min D$, надо ставить самые тяжелые грузы вблизи B или вблизи F_1 . Самое неблагопріятное расположеніе поѣзда опредѣляется попытками.

На фиг. 342 представленъ случай пересѣченія поясовъ O и U влѣво отъ B . Разсмотримъ опять влѣвоподывающійся стержень. Линія вліянія $A'JL_1L_2$ можетъ быть построена, какъ и прежде, опредѣляя точку E и одно изъ двухъ значеній D' или D'' , причемъ величина D'' получается черезъ разложеніе единицы груза по направ-



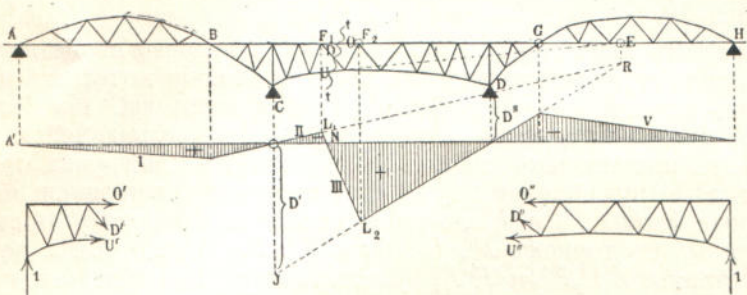
Фиг. 342.

леніямъ O и D ; если точка E лежитъ невыгодно, то положеніе прямой JL_1 можно опредѣлить нанесеніемъ отрѣзковъ D' и D'' . Фиг. 342 показываетъ, что, при положеніи точки E лѣвѣ B , во влѣвоподывающемся стержнѣ происходятъ только сжатія, которая становится наибольшими при полной нагрузкѣ части фермы AE_2 .

Въ случаѣ сосредоточенныхъ грузовъ самые тяжелые надо ставить вблизи F_1 . Въ стержняхъ, подывающихся вправо, происходятъ обратныя напряженія; такъ напримѣръ, если точка E , соответствующая стержню, подывающемуся вправо, лежить лѣвѣ B , то въ этомъ стержнѣ происходятъ только растяженія.

При пользованіи линіями вліянія для опредѣленія крайнихъ значений напряженій слѣдуетъ руководствоваться правилами § 15 (Выпускъ II).

187. Линія вліяння для напряженія D діагонали средняго пролета CD, фиг. 343. Если требуется определить линія вліяння грузовъ, которые находятся только между опорами C и D, то линія вліяння для части фермы CD опредѣлится на основании общихъ законовъ построения линій вліяння, причемъ часть фермы CD рассматривается какъ простая ферма на двухъ опорахъ. Эта линія вліяння будетъ состоять изъ прямыхъ II, III, и IV (по № 168, Выпускъ IV). Прямая II и IV отсѣкаютъ на вертикаляхъ опоръ отрѣзки D'' и D', причемъ D' есть напряженіе, происходящее въ діагонали D, если влѣво отъ сѣченія tt приложена только одна виѣшняя сила C=1 (фиг. 344); а D''—есть напряженіе, происходящее въ той же діагонали, если вправо отъ сѣченія tt дѣйствуетъ только сопротивленіе опоры D=1 *). Чтобы определить вліяніе грузовъ, находящихся на свѣщающемся концѣ DG и на



Фиг. 344.

Фиг. 343.

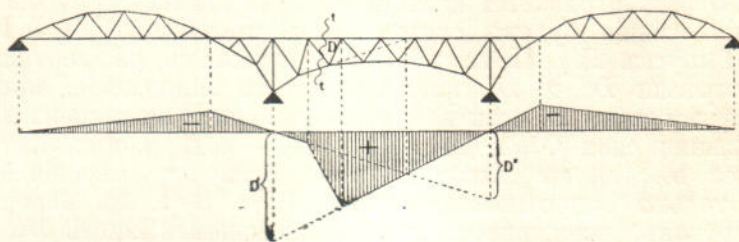
Фиг. 345.

сосѣдней независимой фермѣ GH, надо принять въ соображеніе, что, въ случаѣ исключительной нагрузки части фермы F₂H, на отрѣзокъ фермы лѣвѣ сѣченія tt дѣйствуетъ только одна виѣшняя сила—сопротивленіе опоры C; отсюда слѣдуетъ, что ординаты линіи вліяння для напряженія D, на протяженіи между F₂ и H, должны быть пропорціональны соотвѣтствующимъ ординатамъ (определеннымъ въ № 83, Выпускъ II) линіи вліяння для C. Поэтому части фермы DG соотвѣтствуетъ продолженіе прямой IV, а фермѣ GH—прямая V, которая проходитъ черезъ точку пересѣченія прямой IV съ вертикалью точки G. Подобнымъ путемъ опредѣляемъ вліяніе грузовъ, находящихся лѣвѣ C **). Отсюда можно сдѣлать выводъ, что прямые II и IV должны пересѣчься на вертикалі, проходящей черезъ точку пересѣченія поясовъ O и U, лежащихъ въ сѣченії tt. Смотря по тому, где лежить E, вправо или влѣво отъ опоры D (фиг.

*) На фиг. 343 нагрузка предполагается дѣйствующей на верхніе узлы. F₁ и F₂—поперечные фермы, лежащія по обѣ стороны сѣченія tt.

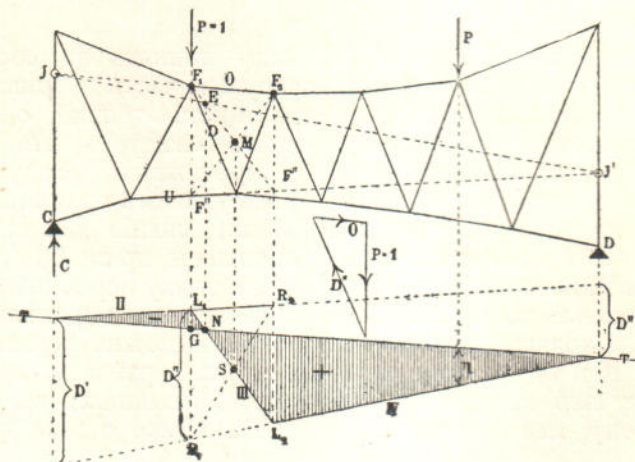
**) Очень легко можно построить линію вліяння для D, если устранимъ стержень D и обратимъ ферму въ кинематическую цѣль, которая состоитъ изъ двухъ стержней (O и U) и четырехъ жесткихъ частей AB, BF₁, F₂G, GH; эти части при наступившемъ движении будутъ вращаться около полюсовъ, лежащихъ на вертикаляхъ точекъ A, C, D, H. Но каждой части соответствуетъ прямая, какъ линія вліяння, и эта прямая должна имѣть на вертикалі подъ полюсомъ этой части ординату, равную нулю. Читателю рекомендуется все линіи вліяння построить съ помощью ученія о геометрическомъ движениі. (См. изслѣдованія въ № 146—149, Выпускъ III).

343 или 346), грузы, дѣйствующіе на часть фермы CF_1 или F_2D , вызовутъ въ діагонали D напряженія равнаго или противоположнаго знака. При удобномъ положеніи точки E , линію вліянія для D строимъ просто, откладывая D' или D'' .



Фиг. 346.

Обратимъ вниманіе на нѣкоторыя замѣчательныя свойства части линії вліянія, лежащей между C и D , на основаніи которыхъ можно провѣрить различными способами точность чертежа. На фиг. 347 нанесены ординаты т линії вліянія для влѣво-подымающейся діагонали D отъ произвольно направленной оси TT . Нагрузка предполагается дѣйствующей сверху. Если проведемъ вертикали черезъ поперечныя фермы F_1 и F_2 до пересѣченія съ поясомъ U и съ прямыми Π и IV въ точкахъ F' , L_1 , R_1 и F'' , R_2 , L_2 , то точка пересѣченія M прямыхъ F_1F'' и F'_1F_2 будетъ лежать на вертикали, проходящей черезъ точку пересѣченія прямыхъ L_1L_2 и R_1R_2 .



Фиг. 347.

Если продолжить O и U до вертикалей, проходящихъ черезъ опоры C и D , и соединить точки пересѣченія J и J' прямой, которая встрѣчаетъ F_1F'' въ точкѣ E , то точка E будетъ лежать на вертикали, проходящей черезъ нулевую точку N *). Эти заключе-

*) Вспомнимъ при этомъ способъ Culmann'a, служащий для опредѣленія положенія нулевой точки N , см. № 151 (§ 33, Выпускъ IV).

нія виведені на основанії умовія, що прямі Π і IV дужки пе-
ресякаються на вертикалі, проходящій черезъ точку пересечення
поясовъ O и U .

Теперь изслѣдуемъ вліяніе груза $P=1$, который приложенъ
въ узлѣ F_1 , принадлежащему одновременно и нагруженому поясу
и рассматриваемой диагонали. Возьмемъ часть фермы лѣвѣ сѣченія,
проходящаго черезъ стержни O , D , U . На эту часть фермы дѣй-
ствуютъ вѣшнія силы C и P . Если дѣйствуетъ только одна сила
 C , то въ рассматриваемой диагонали вызывается напряженіе, измѣ-
ряемое отрѣзкомъ R_1G ; силы же C и P вмѣстѣ вызываютъ напря-
женіе $D=-\overline{GL_1}$. Изъ этого слѣдуетъ, что отрѣзокъ R_1L_1 даетъ
величину того напряженія, которое вызывается въ диагонали D ,
если бы на лѣвой части фермы находился только грузъ P , прило-
женный въ F_1 . Это напряженіе, которое обозначимъ D'' , опредѣ-
лится очень просто, если разложить P по направлениямъ O и D (по-
строить треугольникъ силъ съ послѣдовательнымъ направлениемъ
стрѣлокъ). Въ данномъ случаѣ получается для D'' сжатіе. Отсюда
легко опредѣлить линію вліянія для напряженія D . Пусть D'' уже
опредѣлено, тогда чертимъ треугольникъ $R_1L_1L_2$, такъ чтобы вер-
шина L_2 лежала противъ основанія $\overline{L_1R_1}=D''$ и затѣмъ на пра-
вой L_1L_2 беремъ точку S , лежащую на вертикалі точки M . Про-
водимъ прямую R_1SR_2 , черезъ R_1 и L_2 прямую IV , черезъ L_1 и R_2
прямую Π и наносимъ наконецъ ось TT^*).

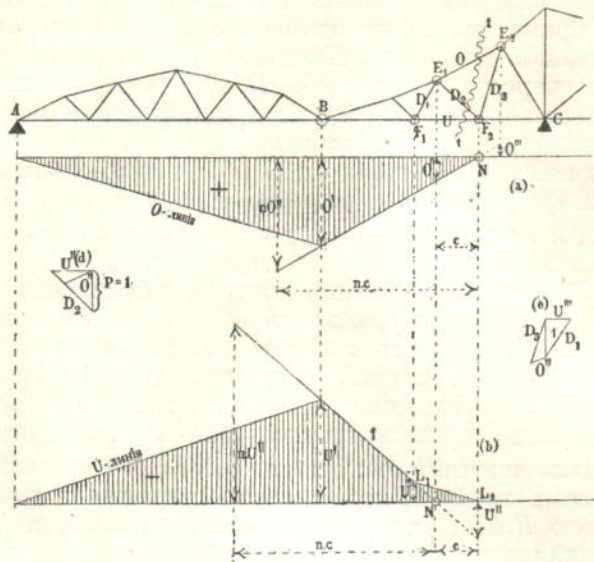
188. Линія вліянія для напряженій въ поясахъ,
могутъ быть получены изъ линій вліянія для моментовъ, но слѣ-
дующій способъ будетъ короче.

a) *Напряженія поясовъ O и U консоли BC .* Линія вліянія (фиг.
348) для напряженій O и U въ поясахъ, лежащихъ въ сѣченії tt
между поперечными балками F_1 и F_2 , могутъ быть опредѣлены про-
сто помошью напряженій O' и U' , вычисленныхъ по способу *Cre-
ttona*, при дѣйствии въ точкѣ B груза $P=1$ (фиг. 341, с.). Затѣмъ,
линіи вліянія можно также вычертить, зная напряженія O'' и U'' .
Величина O'' получится черезъ разложеніе $P=1$ по направлениямъ
 O и D_2 , а величина U черезъ разложеніе $P=1$ по направлениямъ
 U и D_2 (фиг. 348, d). При примѣненіи второго способа устраняются
чертежныя ошибки, которыя легко получаются при проведеніи линії I черезъ
конецъ небольшой ординаты y вблизи нулевой точки N ; поэтому удобнѣе будетъ
значенія nO'' и nU'' , полученные отъ
разложенія груза $n \cdot 1$, отложить отъ нулевой точки въ n — разъ
большемъ разстояній (n — означаетъ произвольное цѣлое число).

Прямую I , на фиг. 348 а, можно провести также при помошіи
ординаты O''' (отрицательной), соотвѣтствующей точкѣ E_2 ; величина
этой ординаты получится разложеніемъ $P=1$ по направлениямъ
 O и D_3 . Наконецъ, прямую I , на фиг. 348, б, можно опредѣлить по-
средствомъ ординаты U''' , соотвѣтствующей точкѣ F_1 . Величина

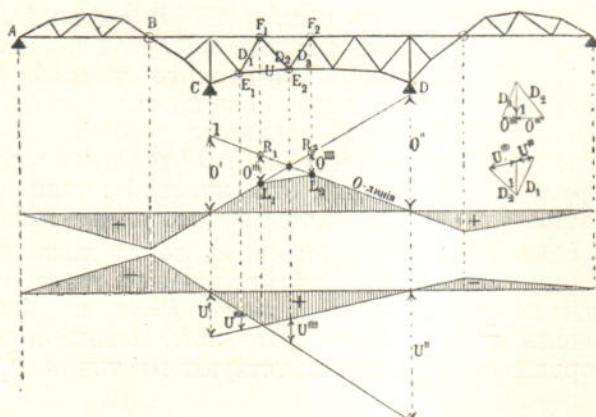
*) Чтобы получить соответствующую фигуру для диагонали, подымаю-
щейся вправо, стоитъ только разсматривать фиг. 347 въ зеркальѣ, такъ что F_1F_2
принадлежало нижнему поясу; тогда имѣемъ случай нагрузки, дѣйствующей
снизу; слѣдуетъ только перемѣнить знаки. Способъ этотъ годится также тогда,
когда O и U встрѣчаются между опорами. Полезно для практики всѣ эти случаи
прочертить.

послѣдней получится, разлагая грузъ $P=1$ по направлениямъ стержней U и D_1 . Если стержень D_2 лежитъ вертикально, то вместо O'' и U'' необходимо взять O''' и U''' .



Фиг. 348.

b) Напряженія O и U въ поясахъ фермы между опорами C и D . Линії вліянія для напряженій O и U опредѣляються при помощи напряженій O' и U' или O'' и U'' , которая соотвѣтствуютъ нагрузкамъ, представленнымъ на фиг. 344 и 345. Часть фермы между опорами рассматривается какъ простая балка, лежащая на двухъ опорахъ. На фиг. 349 изображенъ случай нагрузки, дѣйствующей сверху.



Фиг. 349.

Въ концѣ № 187 были изслѣдованы свойства линій вліяній для напряженія D (фиг. 347). На основаніи этихъ свойствъ легко также вывести законы построенія линій вліянія для напряженій O и U .

Прямыя I и II, опредѣленныя значеніями O' и O'' , отрѣзаютъ на вертикали точки F_1 напряженіе $\bar{R}_1 \bar{L}_1 = O'''$, величина котораго получится, разлагая грузъ $P=1$ по направлениямъ стержней O и D_2 , пересѣкающихъ въ точкѣ F_1 ; а напряженія, обозначенные на фиг. 349— O'''' , U'' и U'''' , опредѣляются по порядку разложеніемъ $P=1$ по направлениямъ O и D_3 , U и D_1 , U и D_2 . Очевидно, что для опредѣленія линіи вліянія для O достаточно только *одного* изъ четырехъ значеній O' , O'' , O''' , O'''' , точно также для опредѣленія линіи вліянія для U *одного* изъ четырехъ значеній U' , U'' , U''' , U'''' *). Но чтобы проверить точность чертежа, лучше опредѣлить нѣсколько такихъ значеній.

§ 45.

Желѣзнодорожный мостъ по системѣ Тербера.

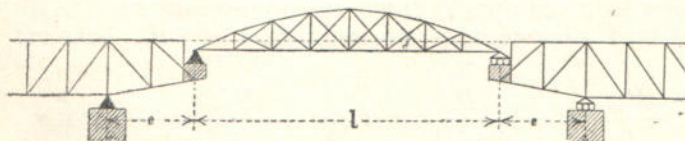
Численный примѣръ (листъ чертежей 5).

Изслѣдуемъ многопролетную ферму Гербера для желѣзнодорожнаго моста въ два пути. (Фиг. 350, листъ 5). Постоянная нагрузка $g = 1,74$ тоннъ на пог. метръ; подвижная нагрузка состоить изъ товарнаго поѣзда съ 3 локомотивами **).

I. Напряженія въ поясахъ консоли ВС. Примѣнимъ способъ Zimmermann'a и опредѣлимъ значенія $M:\lambda$ частью расчетомъ, частью чертежомъ ***).

*) При рѣшеткѣ съ вертикалями нѣкоторыя значенія O'' , O'''' , U'' , U'''' равны нулю.

**) Соединенія независимыхъ фермъ съ консольными фермами можно устроить двоякимъ способомъ. Можно или соединить независимую ферму съ консолями шарнирами (способъ Гербера), или же на одномъ концѣ независимой фермы помѣстить неподвижный шарниръ, а на другомъ концѣ подвижную опору, какъ показано на фиг. 351. Въ первомъ случаѣ одна опора должна быть закрѣпленна, остальные должны быть подвижными, во второмъ же случаѣ каждая изъ кон-



Фиг. 351.

сольныхъ фермъ должна имѣть одну неподвижную, а другую подвижную опору. Въ обоихъ случаяхъ напряженія и сопротивленія опоръ опредѣляются однимъ и тѣмъ же способомъ. Послѣднее расположение примѣнено для моста черезъ Варту въ Познани, главныя фермы котораго подобны изслѣдуемой фермѣ. (Zeitschrift fǖr Bauwesen, 1877, стр. 41, а также Heinzerling. Die Brücken der Gegenwart, I Abth. 3 Heft. 1897).

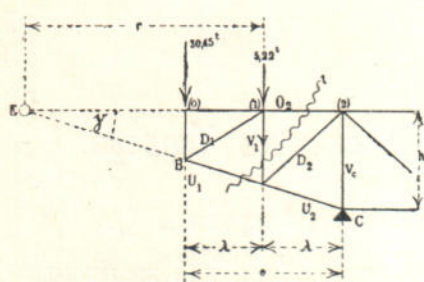
***) Конечно, для расчета русскихъ мостовъ слѣдуетъ примѣнять нормальныя типы поѣздовъ, на основаніи циркуляра Мин. Путей Сообщ. отъ 15 Янв. 1896 г. за № 753. (См. Инженеръ 1896 г., № 5). См. въ концѣ выпуска V.

Примѣчаніе переводчиковъ.

1) *Моменты отъ постоянной нагрузки.* Ширина панели для консоли: $\lambda = 3,0$ мтр. Нагрузка узла 1 (фиг. 352) = $g\lambda = 1,74 \cdot 3 = 5,22$ тон., а нагрузка узла 0, принимающего половину вѣса независимой фермы длиной въ 32 м., равна $= \frac{1}{2} \cdot 1,74 \cdot 32 + \frac{1}{2} \cdot 5,22 = 30,45$ тон.

Отсюда можемъ получить:

$$(1) \quad \begin{cases} M_{1g} = -30,45\lambda \\ M_{2g} = -30,45 \cdot 2\lambda - 5,22\lambda = -66,12\lambda = \\ = \text{опорному моменту } M_{cg}. \end{cases}$$



Фиг. 352.

Затѣмъ помѣщаемъ ферму подъ поѣздомъ въ положеніи I (обозначено краснымъ), проводимъ замыкающую линію s_1 для независимой фермы и продолжаемъ эту линію вправо. Получаемъ ординаты y_1 и y_2 , лежащія на вертикаляхъ, проведенныхъ черезъ узель i и черезъ опору C .

Затѣмъ можно написать

$$\text{и } M_{1p} = -Hy_1 \quad \text{и } M_{2p} = -Hy_2 = \text{опорному моменту } M_{cp}.$$

Самое невыгодное положение фермы подъ поездомъ определяется попытками, причемъ оба момента получаютъ свои наибольшія значенія при одномъ и томъ же положеніи поѣзда.

Раздѣливъ полученные значения на $\lambda = 3$ м., имѣемъ:

$$\frac{M_{1p}}{\lambda} = -y_1 \frac{H}{\lambda} = y_1 \cot \alpha \text{ и } \frac{M_{2p}}{\lambda} = -y_2 \cot \alpha,$$

где $\cot \alpha = -\frac{H}{\lambda}$.

Сдѣлавъ вычисленія, найдемъ:

$$(2) \quad \frac{M_{1p}}{\lambda} = -92,1 \text{ тон. и } \frac{M_{2p}}{\lambda} = -192,0 \text{ тон. } *)$$

*) Эти значения можно определить чертежемъ, фиг. 353, но для точности слѣдуетъ определить ихъ расчетомъ, измѣривъ сначала y .

Принявъ же во вниманіе постоянную нагрузку, получимъ:

$$(3) \quad \left\{ \begin{array}{l} \frac{M_1}{\lambda} = -92,1 - 30,4 = -122,5 \text{ тоннъ.} \\ \frac{M_2}{\lambda} = -192,0 - 66,1 = -258,1 \text{ тоннъ.} \end{array} \right.$$

Помощью этихъ значеній на фиг. 354 (листъ 5) опредѣлены по способу Zimmermann'a наибольшія напряженія U_1 , U_2 , O_2 и напряженіе первой диагонали, имѣющей наибольшее напряженіе одновременно съ наибольшимъ напряженіемъ для U_1 , причемъ отношеніе $M:\lambda$ отложено отъ верхняго узла. Многоугольникъ силъ (соответствующій положенію фермы I, обозначенной краснымъ) заштрихованъ краснымъ и обозначенъ цифрою I.

По измѣрѣніи получаемъ:

$$\begin{aligned} U_1 &= -142 \text{ тон.; } U_2 = -225 \text{ тон.;} \\ O_2 &= +136 \text{ тон.; } D_1 = +159 \text{ тон.} \end{aligned}$$

Примѣчаніе. Значеніе момента M при дѣйствіи перемѣнной нагрузки можно опредѣлить также и расчетомъ. Отыщемъ M_c для положенія нагрузки, показанной на фиг. 355. Давленіе B , которое вызываютъ въ шарнирѣ B оба локомотива, стоящіе надъ независимымъ пролетомъ, опредѣлимъ на основаніи способа, изложенного въ № 79 (Выпускъ II), помошью таблицы II. Тогда получимъ (такъ какъ $b_n = 2,0$; $\psi_n = 132$ т.; $S_n = 1647,0$ т.):

$$Bl' = 2,0 \cdot 132 + 1647,0 = 1911 \text{ тн. мтр.}$$

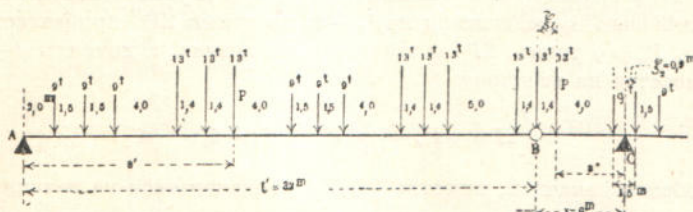
Если причислить грузъ, находящійся въ B , къ нагрузкѣ части AB , то получимъ

$$B = \frac{1911 + 13 (32 - 1,4)}{32} + 13 = 85,15 \text{ т.,}$$

а такъ какъ $\lambda = 3,0$ м., то

$$M_c = -85,15 \cdot 2\lambda - 9 \cdot 0,6 - 13 \cdot 4,6 = -192,03\lambda.$$

Прежде, чѣмъ произвести этотъ расчетъ, надо рѣшить, будеть ли данное положеніе поѣзда самое неблагопріятное. Обозначимъ грузы, лежащіе



Фиг. 355.

между A и B черезъ P' , грузы — между B и C черезъ P'' , а разстояніе этихъ грузовъ отъ A и C черезъ a' и a'' .

Получимъ (фиг. 355):

$$Bl' = \Sigma P' a' \text{ и}$$

$$M_c = -Bx - \Sigma P'' a'' = -\left[\frac{x}{l'} \Sigma P' a' + \Sigma P'' a'' \right].$$

Если теперь передвинемъ поѣздъ вправо на бесконечно малое разстояніе ξ , то a' перемѣнится на $a' + \xi$ и a'' — на $a'' - \xi$; а $(-M_c)$ измѣнится на величину

$$\left(\frac{x}{l'} \Sigma P' - \Sigma P'' \right) \xi.$$

Если вслѣдствіе передвиженія поѣзда $(-M_c)$ уменьшится, то должно существовать слѣдующее неравенство:

$$(I) \quad x\Sigma P' < l' \Sigma P''.$$

Слѣдовательно, если будетъ существовать такое неравенство

$$(II) \quad x\Sigma P' > l' \Sigma P'',$$

то $(-M_c)$ вслѣдствіе передвиженія поѣзда влѣво, уменьшится.

Оба неравенства должны быть удовлетворены, если только принятое положеніе грузовъ будетъ самыи опасныи. Причемъ не надо забывать причислять грузъ, находящійся въ B , къ грузамъ P' или P'' , смотря по тому, въ какую сторону будетъ подвинутъ поѣздъ.

Для даннаго примѣра при передвиженіи поѣзда вправо имѣемъ:

$$\Sigma P' = 6 \cdot 9 + 7 \cdot 13 = 145 \text{ тоннъ},$$

$$\Sigma P'' = 2 \cdot 13 + 9 = 35 \text{ тоннъ} \text{ (при } x = 6 \text{ м. и } l' = 32 \text{ м.)}$$

$$6 \times 145 < 32 \times 35,$$

а при передвиженіи влѣво:

$$\Sigma P' = 145 + 13 = 158 \text{ тоннъ},$$

$$\Sigma P'' = 35 - 13 = 22 \text{ тоннъ, и}$$

$$6 \times 158 > 32 \times 22.$$

Слѣдовательно, оба неравенства (I) и (II) удовлетворены. Вообще же долженъ получить преимущество графическій способъ, потому что выводъ неравенствъ связанъ съ предположеніемъ весьма малыхъ перемѣній. Если же въ данномъ случаѣ передвинуть поѣздъ влѣво на 1,4 мтр., то случайно найдемъ другое положеніе поѣзда, также удовлетворяющее условіямъ I и II. Отъ суммы $\Sigma P''$ отнимается 13 тоннъ, находившихся раньше въ B , и прибавляется новыхъ 9 тоннъ. Теперь легко опредѣлить соотвѣтствующая измѣненія суммъ $\Sigma P' a'$ и $\Sigma P'' a''$ и дополнить соотвѣтствующимъ образомъ условія I и II; опредѣленіе опаснѣйшаго положенія становится сложнѣе. Вслѣдствіе передвиженія поѣзда влѣво на величину

ξ_2 (фиг. 355) $(-M_c)$ увеличивается на величину $\left(\Sigma P'' - \frac{x}{l'} \Sigma P' \right) \xi_2$, где $\Sigma P'' = 158$ тоннъ, и $\Sigma P' = 22$ тоннъ. Эта величина отрицательна, потому что, какъ сказано было раньше, неравенство II удовлетворено. Вслѣдствіе дальнѣйшаго передвиженія на $\xi_1 - \xi_2$ къ суммѣ $\Sigma P''$ прибавляется новый грузъ $P_o = 9$ тоннъ, $\Sigma P'$ остается неизмѣннымъ, а моментъ $(-M_c)$ увеличивается на величину:

$$\left(\Sigma P'' + P_o - \frac{x}{l'} \Sigma P' \right) (\xi_1 - \xi_2).$$

Въ общемъ, значитъ, моментъ $(-M_c)$ увеличивается на величину:

$$\left(\Sigma P'' - \frac{x}{l'} \Sigma P' \right) \xi_2 + \left(\Sigma P'' + P_o - \frac{x}{l'} \Sigma P' \right) (\xi_1 - \xi_2) =$$

$$= \left(\Sigma P'' = \frac{x}{l'} \Sigma P' \right) \xi_1 + P_o (\xi_1 - \xi_2) =$$

$$= \left(22 - \frac{6}{32} \cdot 158 \right) 1,4 + 9 (1,4 - 0,9) = -6,14 \text{ тоннъ.}$$

Слѣдовательно, при передвиженіи поѣзда на $\xi = 1,4$ м., моментъ $(-M_c)$ уменьшается.

II. Напряженія промежуточныхъ стержней V_1 , D_2 , V_c консоли BC. (фиг. 352). Если M_E будетъ обозначать моментъ внѣшнихъ силъ, приложенныхыхъ лѣвѣ сѣченія tt , относительно точки пересѣченія E поясовъ O_2 и U_1 , а r — разстояніе силы V_1 отъ E , то получимъ:

$$V_1r + M_E = 0 \text{ и } V_1 = -\frac{M_E}{r}.$$

Наибольшему моменту M_E соотвѣтствуетъ также и наибольшее сжатіе. На основаніи выведенного въ № 186 изслѣдованія о линіяхъ вліянія узнаемъ, что, въ случаѣ расположения точки E лѣвѣ B , въ вертикали (разматриваемой какъ стержень, подымающейся влѣво) происходятъ только сжатія, что для получения $\min V_1$ надо нагрузить вполнѣ всю независимую ферму AB и консоль $B(1)$ и, наконецъ, что самые тяжелые грузы надо помѣстить на узлы (1) , лежащемъ влѣво отъ сѣченія tt . Поэтому ферму располагаютъ подъ поѣздомъ въ положеніе II (на фиг. 353 обозначено синимъ). Затѣмъ проводятъ замыкающія линіи s_2 для независимаго пролета и s для панели 1—2 и опредѣляютъ величину отрѣзка η , отсѣкаемаго на вертикали точки E прямыми s_2 и s . Если предположить, что грузы, лежащіе на независимой фермѣ AB , разложены на опоры A и B , а грузъ, лежащий въ панели 1—2, — на узлы 1 и 2, то прямые s_2 и s можно разматривать какъ внѣшнія стороны веревочнаго многоугольника, построенного для силъ, дѣйствующихъ на часть фермы $B1$. Тогда по общимъ законамъ графической статики найдемъ:

$$M_E = +H\eta, \text{ и затѣмъ получаемъ окончательно } (-V_1)_p = \frac{H\eta}{r}.$$

Эта величина построена на фиг. 357, где $\overline{E(1)} = r$ и $ER = H$. Затѣмъ, на этой же фігурѣ, можно опредѣлить $\max D_{p_2}$, разлагая V_{p_1} по направлению U и D_2 *). Напряженія V_{g_1} и V_{g_2} , вызываемыя постоянной нагрузкой, опредѣляются по способу Cremona или по способу Zimmermann'a (посредствомъ уже извѣстныхъ значений $M_{g_1} : \lambda$ и $M_{g_2} : \lambda$). Значенія $\max D_{p_2}$ и $\min V_1$ опредѣляются изъ значений $M_2 : \lambda$ и $M_1 : \lambda$, на фиг. 354 **), причемъ части этихъ значений, зависящія отъ подвижной нагрузки, опредѣлены съ помощью веревочнаго многоугольника на фиг. 353.

Послѣ построеній получаемъ слѣдующіе результаты ***):

$$\frac{M_1}{\lambda} = \frac{M^{\theta}_1}{\lambda} + \frac{M_{p_1}}{\lambda} = -30,4 - \frac{Hy'}{\lambda} = -30,4 - 78,4 = -109,1 \text{ тоннъ};$$

$$\frac{M_2}{\lambda} = -66,1 - \frac{Hy''}{\lambda} = -66,1 - 184,3 = -250,4 \text{ тоннъ};$$

$$\max D_2 = +118 \text{ тонн.}, \min V_1 = -104,8 \text{ тоннъ}.$$

*) На фиг. 357 определеніе $\max D_{p_2}$ возможно, потому что U_1 и U_2 имѣютъ одно и тоже направленіе; въ другихъ случаяхъ D_{p_2} опредѣлится уравненіемъ моментовъ Ritter'a относительно точки пересѣченія O_2 и U_2 .

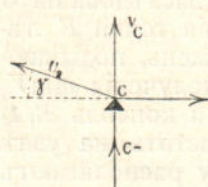
**) Такой путь определенія цѣлесообразнѣе, потому что маленькая ошибки при проведеніи замыкающей линіи s вызываютъ значительныя неточности.

***) На фиг. 354 вместо нанесенія $M_2 : \lambda$ отложено отъ точки $C - M_1 : \lambda$.

До сихъ поръ постоянная нагрузка g предполагалась дѣйствующей только на верхній поясъ. Если разложить g на $g_u = 0,45$ тон. и $g_o = 1,74 - 0,45$, то на нижній узель (1) придется грузъ $g_u \lambda = 0,45 \cdot 3,0 = 1,35$ тон.; тогда получаемъ:

$$V_1 = -104,8 + g\lambda = -103 \text{ тонны.}$$

Напряженіе V_c въ вертикали надъ опорой C , фиг. 352 и 350 опредѣляется изъ уравненія равновѣсія для узловой точки C (сравни фиг. 358).



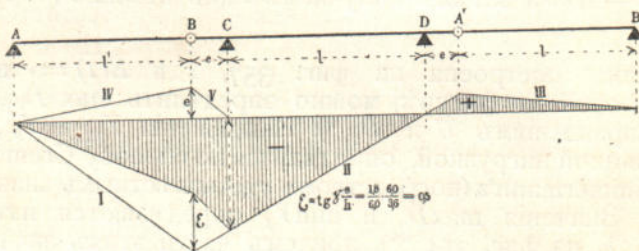
Фиг. 358.

$$V_c + U_2 \sin \gamma + C - G_u = 0, \text{ или} \\ V_c = -C - U_2 \sin \gamma + G_u, \text{ где}$$

$G_u = 0,45 (3,0 + 3,6)^{1/2} = 1,5$ тон. означаетъ постоянную нагрузку узла C . Но $U_2 \cos \gamma = \frac{M_c}{h}$, где h = высотъ рассматриваемой вертикали, поэтому получаемъ:

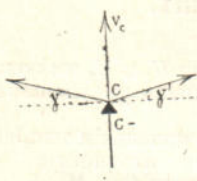
$$(4) \quad V_c = -C - \frac{M_c}{h} \operatorname{tg} \gamma + G_u.$$

Теперь строимъ линію вліянія для V_c , прибавивъ къ ординатамъ линіи вліянія для C ординаты линіи вліянія для M_c , умноженные на $\frac{1}{h} \operatorname{tg} \gamma$. Значеніе G_u равняется нулю. На фиг. 359 построена



Фиг. 359.

линія вліянія для C , состоящая изъ прямыхъ I, II, III, и линія вліянія для M_c , состоящая изъ прямыхъ IV, V; первая имѣеть въ точкѣ C ординату 1, послѣдняя въ точкѣ B ординату e . Если взять $\varepsilon = \operatorname{tg} \gamma \frac{e}{h}$, то заштрихованная на фиг. 359 площадь представляетъ площадь вліянія для напряженія V_c *).



Фиг. 360.

*) Если вправо отъ C поясъ наклоненъ подъ угломъ γ' , то надо взять $\varepsilon = \frac{h}{e} (\operatorname{tg} \gamma + \operatorname{tg} \gamma')$, фиг. 360.

Изъ разсмотрѣнія линіі вліянія слѣдуетъ, что данная вертикаль испытываетъ наибольшее сжатіе ($\min V_c$), если ферма нагружена только между A и D , а самые тяжелые грузы лежатъ вблизи B ; наименьшее же сжатіе или наибольшее растяженіе ($\max V_c$) происходятъ при нагрузкѣ только консоли DA' и соѣдней независимой фермы $A'B'$, причемъ самые тяжелые грузы надо ставить вблизи A' . Для опредѣленія $\min V_c$ ставимъ ферму въ положеніе III (фиг. 353), затѣмъ проводимъ замыкающую линію s_3 , соответствующую независимой фермѣ AB , и наконецъ проводимъ прямую s'_3 , соединяющую двѣ точки пересѣченія вертикалей D и C съ веревочнымъ многоугольникомъ и линіей s_3 . Проведенные черезъ полюсъ лучи, параллельные прямымъ s_2 и s'_3 , отрѣзаютъ на многоугольнике силъ сопротивленіе опоры C_p для принятаго случая нагрузкѣ III; затѣмъ ордината y , соответствующая точкѣ C , опредѣлить значеніе:

$$\frac{M_{C_p}}{\lambda} = -\frac{Hy}{\lambda}. \text{ Такимъ образомъ найдемъ}$$

$$C_p = 191,0 \text{ тон. и } M_{C_p} = -157,6 \lambda.$$

При дѣйствії постоянной нагрузкѣ получаемъ реакцію опоры:

$$(5) \quad C_g = \frac{1}{2} gl' + ge + \frac{1}{2} gl = 1,74 \left[\frac{1}{2} \cdot 32 + 6 + \frac{1}{2} \cdot 36 \right] = 69,6 \text{ тон.},$$

а изъ уравненія (2):

$$M_{C_g} = -66,1 \lambda.$$

Напряженіе U_2 опредѣлится, когда будетъ извѣстно значеніе

$$\frac{M_c}{\lambda} = -157,6 - 66,1 = -223,7 \text{ тоннъ};$$

значеніе U_2 построено на фиг. 354, на которой отложено $\overline{a_2} = 223,7$ тон.; тогда $U_2 =$ отрѣзку ac . По опредѣленіи

$$C - G_u = 191,0 + 69,6 - 1,5 = 259 \text{ тоннъ},$$

можно построить многоугольникъ силъ для узла C (фиг. 356), изъ котораго получаемъ:

$$\min V_c = -203 \text{ тоннъ *}).$$

Для нахожденія $\max V_c$ располагаемъ поѣздъ такъ, чтобы надъ опорой D вызвать наибольшій моментъ M_D , причемъ грузы, лежащіе влѣво отъ D , не будемъ принимать во вниманіе **).

*.) V_c можно также скоро опредѣлить и расчетомъ; зная $\lambda = 3,0$ м., $\operatorname{tg}\gamma = \frac{1,8}{6,0}$ и $h = 3,6$ м., найдемъ $V_c = -C + G_u - \frac{1}{4} \frac{M_c}{\lambda}$

**) На основаніи разсужденій, выведенныхъ въ № 89 (§ 21—Выпускъ II).

Подвижная нагрузка вызываетъ по уравн. (3):

$$M_p = -258,1 \lambda = -258,1 \cdot 3,0 = -774,3 \text{ тонно-мтр.},$$

а следовательно:

$$\min C_p = \frac{M_p}{l} = -\frac{774,3}{36} = -21,5 \text{ тоннъ.}$$

Теперь опредѣлимъ V_c , вычисля значения:

$$\min C = \min C_p + C_g = -21,5 + 69,6 = 48,1 \text{ тоннъ}$$

$$\text{и } \frac{M_c}{\lambda} = \frac{M_{C_g}}{\lambda} = -66,1 \text{ тоннъ;}$$

построивъ фигуру, подобную ранѣе вычерченной, получимъ изъ нея

$$\max V_c = -30 \text{ тоннъ.}$$

Для полученія напряженія въ вертикали надъ опорой D' (ср. фиг. 350) повторяютъ только что приведенный расчетъ для V_c въ предположеніи, что на фиг. 359 недостаетъ части фермы DB' .

Сопротивленіе опоры C при дѣйствіи постоянной нагрузки опредѣлится изъ уравненія:

$$(6) \quad \begin{aligned} C_g l &= gl \cdot \frac{l}{2} + ge \cdot \frac{l+e}{2} + \frac{gl'}{2}(l+e), \text{ откуда} \\ C_g &= \frac{1}{2} g \left[l + \frac{(l+e)(l'+e)}{l} \right] = \\ &= \frac{1}{2} \cdot 1,74 \left[36 + \frac{(36+6)(32+6)}{36} \right] = 80,0 \text{ тоннъ.} \end{aligned}$$

При томъ положеніи нагрузки, которое даетъ $\min V$, получаемъ тѣ же самыя значения: $C_p = 191,0$ тон.

$$\text{и } M_c = -223,7 \text{ тоннъ;}$$

и такъ какъ раньше было выведено $C_g = 69,6$ тон., то наибольшее сжатіе V измѣняется только на $80,0 - 69,6 = 10$ тоннъ (около); т. е. оно равняется теперь $203 + 10 = 213$ тоннъ. Рассматриваемая вертикаль только сжата. Ея наименьшее напряженіе получается при дѣйствіи только постоянной нагрузки; сдѣлавъ описанная раньше построенія для значеній $C = C_g = 80,0$ тоннъ и $M_c = M_{C_g} = -66,1 \lambda$, найдемъ:

$$V = -62 \text{ тонны.}$$

Примѣчаніе. Ради наглядности всѣ напряженія консоли BC , въ цѣлыхъ тоннахъ, вписаны въ фиг. 368. Для каждой изъ силъ $D_1, V_1, D_2, O_2, U_1, U_2$ дано только наиболѣшее численное значеніе; соответствующіе стержни будутъ либо только сжаты, либо только растянуты. Если требуется определить допускаемое напряженіе стержня въ зависимости отъ отношенія наименьшаго и наиболѣшаго напряженія, то наименьшія напряженія опредѣляются легко, напр. по способу Cremona, если на часть фермы BC будетъ дѣйствовать только постоянная нагрузка. Но тогда въ вышеприведенныхъ изслѣдованіяхъ надо принять, что $g = 0$, т. е. принять во вниманіе только перемѣнную нагрузку.

III. Предѣльныя значенія сопротивленій опоры

C. Сопротивление опоры *C* получаетъ свое наибольшее значеніе, если поѣздъ поставить въ положение IV (фиг. 353). Грузы, находящіеся лѣвѣ *D*, предполагаются устранимыми. Затѣмъ проводятъ прямые s_4 и s_4' , а черезъ полюсъ линіи, имъ параллельныя, которыя въ многоугольникѣ силъ отрѣзаютъ сопротивление опоры $\max C_p = 193,7$ тоннъ. Опасное положеніе нагрузки находится попытками. При $C_g = 69,6$ находимъ окончательно

$$\max C = 193,7 + 69,6 = 263 \text{ тонны.}$$

Для наименьшаго значенія сопротивленія опоры раньше было опредѣлено: $\min C = 48$ тоннъ. Если $\min C$ получится отрицательнымъ, то опору необходимо прикрѣпить къ быку.

Давленіе на первой промежуточной опорѣ всегда положительно. Его наибольшее значеніе равняется:

$$193,7 + 80,0 = 273,7 \text{ (см. уравн. 6).}$$

IV. Напряженія въ параллельныхъ поясахъ фермы. *a) Ферма съ двумя консолями (третій пролетъ).* Для определенія момента M_m относительно узловой точки *m* для какого нибудь состоянія нагрузки предполагаемъ консоли удаленными, и тогда часть фермы *CD* рассматривается какъ простая балка. Моментъ M_{om} , полученный при этомъ предположеніи, уменьшаются на величину ординаты прямой *C'D'*, соотвѣтствующей точкѣ *m* (см. фиг. 121, выпускъ II). Эта прямая опредѣлена отрицательными опорными моментами: $\bar{C}\bar{C}' = M_c$ и $\bar{D}\bar{D}' = M_b$; мы будемъ впослѣдствіи называть ее *замыкающей линіей* *s*. Затѣмъ, зная M_m , находимъ величину напряженія части пояса, лежащей противъ узла *m*: $\frac{M_m}{h}$.

Если моменты опредѣлялись помощью веревочнаго многоугольника съ полюснымъ разстояніемъ $H = \varepsilon h$, гдѣ ε — произвольное число, то тогда получимъ:

$$\frac{M_m}{h} = \frac{Hy_m}{h} = \varepsilon y_m.$$

Наибольшія и наименьшія значенія y_m для данной фермы представлены на фиг. 361. На правой половинѣ показаны значенія $\max y_m$, на лѣвой — $\min y_m$. Правая половина соотвѣтствуетъ тому случаю, когда будетъ нагружена вся часть фермы *CD* при отсутствіи нагрузки на консоляхъ и на независимыхъ пролетахъ. Опорные моменты, выведенные изъ уравн. (2), принимаютъ тогда значенія:

$$M_{c_g} = M_{b_g} = -66,1 \cdot 3,0;$$

этому отвѣчаютъ ординаты (при полюсномъ разстояніи $= 4h = 4 \cdot 3,6$ мтр.):

$$y_{c_g} = y_{b_g} = -\frac{66,1 \cdot 3,0}{4 \cdot 3,6} = -13,8 \text{ тоннъ;}$$

а зная ординаты, опредѣлимъ и замыкающую линію s_1 (горизонтальная, на фиг. 361). Ординаты многоугольника моментовъ M_o совпадаютъ съ ординатами многоугольника наибольшихъ моментовъ, фиг. 112, для простой балки (см. № 77 — выпускъ II) *).

Теперь легко находимъ слѣдующія значенія: (при $\epsilon = 4$).

$\max y_0 = -13,8$ т.	$\min O_1 = -4 \cdot 14,4 = -58$ т. **)	$\max U_1 = -4 \cdot 13,8 = -55$ т.
$\max y_1 = +14,4$ " "	$\min O_2 = -4 \cdot 34,9 = -140$ "	$\max U_2 = +58$ тон.
$\max y_2 = +34,9$ " "	$\min O_3 = -4 \cdot 49,9 = -200$ "	$\max U_3 = +140$ "
$\max y_3 = +49,9$ " "	$\min O_4 = -4 \cdot 58,4 = -234$ "	$\max U_4 = +200$ "
$\max y_4 = +58,4$ " "	$\min O_5 = -4 \cdot 61,9 = -248$ "	$\max U_5 = +234$ "

Для полученія наибольшихъ отрицательныхъ значеній y , представленныхъ на лѣвой половинѣ фиг. 361, нагружаемъ часть фермы CD только постоянной нагрузкой, а лѣвѣе C и правѣе D ставимъ грузы такъ, чтобы получить наибольшіе моменты M_c и M_d .

Вмѣсто многоугольника для M_o получаемъ теперь многоугольникъ для M_{o_9} , вершины котораго лежать на параболѣ со стрѣлкой:

$$\frac{gl^2}{8H} = \frac{1.74 \cdot 36^2}{8 \cdot 3,6} = 19,6 \text{ тоннъ}, \text{ а вмѣсто замыкающей линіи } s_1 \text{ полу-}$$

чаемъ линію s_2 , лежащую выше на $\frac{M_{cp}}{H} = -y_c$, где $y_c = y_2$, что соответствуетъ положенію фермы I на фиг. 353.

Теперь находимъ слѣдующія значенія:

$\min y_0 = -53,8$ т.	$\max O_1 = +4 \cdot 46,7 = +187$ т.	$\min U_1 = -4 \cdot 53,8 = -215$ т.
$\min y_1 = -46,7$ " "	$\max O_2 = +4 \cdot 41,3 = +165$ "	$\min U_2 = -187$ тон.
$\min y_2 = -41,3$ " "	$\max O_3 = +4 \cdot 37,3 = +149$ "	$\min U_3 = -165$ "
$\min y_3 = -37,3$ " "	$\max O_4 = +4 \cdot 34,9 = +140$ "	$\min U_4 = -149$ "
$\min y_4 = -34,9$ " "	$\max O_5 = +4 \cdot 34,2 = +137$ "	$\min U_5 = -137$ "

b) *Ферма съ одной консолью* (первый пролетъ). Нагружаемъ всю часть фермы между C и D , консоль же у D оставляемъ безъ нагрузки. Замыкающая линія s_1 пройдетъ черезъ опору A , а въ точкѣ D будетъ имѣть ординату $= -13,8$ тон. (фиг. 362, а, листъ 5). Многоугольникъ для моментовъ M_o тотъ же, что и для фиг. 361. Такъ какъ наибольшее значеніе y отвѣчаетъ узлу 5, то при расчетѣ напряженій въ поясахъ надо предположить, что диагонали влѣво отъ узла 5 — подымаются влѣво, а вправо отъ узла 5 — подымаются вправо.

Теперь найдемъ:

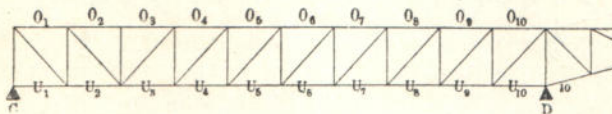
$\max y_1 = +26,8$ тон.	$\min O_1 = -4 \cdot 26,8 = -107$ т.	$U_1 = 0$
$\max y_2 = +45,9$ " "	$\min O_2 = -4 \cdot 45,9 = -184$ "	$\max U_2 = +107$ тон.
$\max y_3 = +59,6$ " "	$\min O_3 = -4 \cdot 59,6 = -238$ "	$\max U_3 = +184$ "
$\max y_4 = +66,7$ " "	$\min O_4 = -4 \cdot 66,7 = -267$ "	$\max U_4 = +238$ "
$\max y_5 = +68,8$ " "	$\min O_5 = -4 \cdot 68,8 = -275$ "	$\max U_5 = +267$ "

*) Напр. ордината $\overline{22'}$ на фиг. 361 равна ординатѣ y_2 на фиг. 112. Необходимо только принять во вниманіе различные масштабы на листахъ 1 и 5.

**) Умноженіе на 4 можно и не производить, но тогда на фиг. 361 масштабъ силъ: $1 \text{ см.} = 30 \text{ т.}$ измѣнится на: $1 \text{ см.} = 4 \cdot 30 = 120 \text{ т.}$ Тогда ординаты y представлять силы O и U .

$\max y_6 = + 63.9$	"	$\min O_6 = - 275$	"	$\max U_6 = + 256$	"
$\max y_7 = + 54.1$	"	$\min O_7 = - 4.63.9 = - 256$	"	$\max U_7 = + 216$	"
$\max y_8 = + 37.7$	"	$\min O_8 = - 4.54.1 = - 216$	"	$\max U_8 = + 151$	"
$\max y_9 = + 15.8$	"	$\min O_9 = - 4.37.7 = - 151$	"	$\max U_9 = + 63$	"
$\max y_{10} = - 13.8$	"	$\min O_{10} = - 4.15.8 = - 63$	"	$\max U_{10} = - 4.13.8 = - 55$	тон.

Для определенія значенія $\min y$ нагружають ферму прав'є точкою D такъ, чтобы получился наибольшій моментъ, а между C и D оставляютъ только постоянную нагрузку. Изъ фигуры 362,б



Фиг. 363.

находимъ тогда, что наибольшее (положительное) значение y принадлежитъ узлу 2 , если при разсчетѣ напряженій поясовъ было принято распределеніе діагоналей, показанное на фиг. 363. Теперь получимъ:

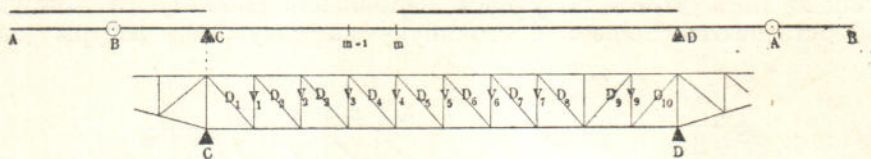
$\min y_1 = + 1.7$ тон.	$\max O_1 = - 4. 1.7 = - 7$ т.	$U_1 = 0$
$\min y_2 = + 1.8$ "	$\max O_2 = - 4. 1.8 = - 7$ "	$\min U_2 = + 7$ тон.
$\min y_3 = + 0.3$ "	$\max O_3 = \max O_2 = - 7$ "	$\min U_3 = + 1$ "
$\min y_4 = - 2.7$ "	$\max O_4 = - 4. 0.3 = - 1$ "	$\min U_4 = - 11$ "
$\min y_5 = - 7.3$ "	$\max O_5 = + 4. 2.7 = + 11$ "	$\min U_5 = - 29$ "
$\min y_6 = - 13.5$ "	$\max O_6 = + 4. 7.3 = + 29$ "	$\min U_6 = - 54$ "
$\min y_7 = - 21.2$ "	$\max O_7 = + 4.13.5 = + 54$ "	$\min U_7 = - 85$ "
$\min y_8 = - 30.5$ "	$\max O_8 = + 4.21.2 = + 85$ "	$\min U_8 = - 122$ "
$\min y_9 = - 41.4$ "	$\max O_9 = + 4.30.5 = + 122$ "	$\min U_9 = - 166$ "
$\min y_{10} = - 53.8$ "	$\max O_{10} = + 4.41.4 = + 166$ "	$\min U_{10} = - 4.53.8 = - 215$ тон.

Полученные значения для наглядности вписаны въ фиг. 368.

V. Напряженія въ промежуточныхъ стержняхъ фермы съ параллельными поясами. а) *Ферма съ двумя консолями* (третій пролетъ). Если сумма силь Q ізвѣстна, то напряженія въ промежуточныхъ стержняхъ фермы съ параллельными поясами находятся на основаніи общихъ законовъ определенія ихъ для обыкновенной фермы съ параллельными поясами, лежащей на двухъ опорахъ, (по § 42 — Выпукъ IV). Чтобы получить $\max Q_m$ для m -ї панели, нагружаемъ ферму лев'є C такъ, чтобы эта нагрузка давала наибольшій моментъ, и кромѣ того нагружаемъ часть отъ D до m . Вліяніе послѣдніхъ грузовъ опредѣлимъ помощью веревочнаго многоугольника, который будемъ теперь называть линіей опорныхъ сопротивленій C (См. № 76 — Выпукъ II). Эта линія определена на фиг. 108 (листъ 1) для балки въ 361*).

*.) На фиг. 365—367 нанесены ординаты этой линіи, соответствующіе узламъ, въ масштабѣ 1 см. = 25 т.

На отрицательныхъ участкахъ нагрузку не ставимъ на основаніи соображеній, высказанныхъ въ № 89 (Выпускъ II). Но чтобы расчѣтъ не получился слишкомъ неблагопріятнымъ, передвинемъ рядъ грузовъ надъ m —въ разсматриваемую панель. Вліяніе на сумму силъ Q подвижной нагрузки, лежащей на участкѣ D_m , выражается ординатой C_m линии опорныхъ сопротивленій C . Вліяніе остальной



Фиг. 364.

нагрузки опредѣлится уже просто. Часть фермы CD разсматривается какъ простая балка и поэтому суммы силъ, зависящія отъ постоянной нагрузки, опредѣляются на основаніи общихъ законовъ построенія линій вліянія (см. № 67—Выпускъ II) съ помощью прямой, отрѣзающей на лѣвой и правой опорныхъ вертикаляхъ ординаты:

$$+\frac{I}{2} gl = \frac{I}{2} \cdot 1,74 \cdot 36 = +31,32 \text{ тон.}$$

$$\text{и } -\frac{I}{2} gl = \dots = -31,32 \text{ тон.}$$

Къ каждому изъ опредѣленныхъ этихъ значеній Q прибавляются (по уравн. 2 въ № 82—Выпускъ II) количество:

$$\frac{I}{l} (M_p - M_c).$$

Причемъ надо положить:

$$M_p = M_{B_2} = -66,1 \cdot 3,0 \text{ и } M_c = -258,15 \cdot 3,0^*;$$

и наконецъ получаемъ:

$$\frac{I}{l} (M_p - M_c) = \frac{3}{36} (258,15 - 66,1) = +16,0 \text{ тонн.}$$

Теперь перейдемъ къ построенію суммы силъ $\max Q$ (фиг. 365). Когда линія опорныхъ сопротивленій C будетъ вычерчена, тогда опредѣлится и прямая $\overline{C'D'}$ помошью отрѣзковъ $\overline{CC'} = +31,32 + 16,00 = +47,3$ тон. и $\overline{DD'} = -31,32 + 16,00 = -15,3$ тон. Черезъ точки линіи $\overline{C'D'}$, соотвѣтствующія серединамъ панелей, проводять горизонтальныя прямые, ординаты которыхъ, принимая во вниманіе знаки, прибавляются къ ординатамъ C —линіи, соотвѣтствующимъ узламъ 1, 2, 3 Наконецъ, зная суммы силъ Q и основываясь на общихъ законахъ для фермы съ параллельными поясами (см. § 40—

^{*}) См. уравненія (1) и (3), выведенныя въ п. I этого численного примѣра, причемъ $\lambda = 3,0$ мтр.

Выпускъ IV), получимъ слѣдующія напряженія стержней D и V^*) (согласно фиг. 364).

$\min V_1 = -Q_1 + 1,6 = -124$ т.	$\max D_1 = +178$ т.	$\max V_9 = +Q_{10} + 1,6 =$
$\min V_2 = -Q_2 + 1,6 = -102$ "	$\max D_2 = +146$ "	$= -12,2 + 1,6 =$
$\min V_3 = -Q_3 + 1,6 = -82$ "	$\max D_3 = +118$ "	$= -11$ тон.
$\min V_4 = -Q_4 + 1,6 = -63$ "	$\max D_4 = +91$ "	$\min D_9 = +5$ "
$\min V_5 = -Q_5 + 1,6 = -46$ "	$\max D_5 = +67$ "	$\min D_{10} = +17$ "
$\min V_6 = -Q_6 + 1,6 = -30$ "	$\max D_6 = +45$ "	
$\min V_7 = -Q_7 + 1,6 = -17$ "	$\max D_7 = +26$ "	
	$\max D_8 = +10$ "	

Чтобъ получить $\min Q$ достаточно разсмотрѣть зеркальное изображеніе фиг. 365 и перемѣнить знаки у Q (годится только въ случаѣ симметричныхъ фермъ). Найдемъ, что въ шести среднихъ панеляхъ необходимы перекрестныя діагонали. Значенія напряженій D и V показаны на фиг. 368; для вертикалей, находящихся между перекрестными діагоналями, достаточно показать только наибольшее сжатіе ($\min V$) ***).

b) Ферма съ одной консолью (первый пролетъ). Для опредѣленія $\max Q$ прибавляются къ ординатамъ C — линіи (фиг. 366) ординаты прямой $C'D'$, соотвѣтствующія ординатамъ панелей; эта прямая (такъ какъ $M_c = 0$) отсѣкается на опорныхъ вертикаляхъ C и D ординаты:

$$\overline{CC'} = 31,32 - \frac{66,1 \cdot 3,0}{36} = +25,8 \text{ тон.}$$

$$\text{и } \overline{DD'} = -31,32 - \frac{66,1 \cdot 3,0}{36} = -36,8 \text{ тон.}$$

Построивъ многоугольники силъ (фиг. 336), найдемъ:

$\min V_1 = -Q_1 + 1,6 = -103$ тон.	$\max D_1 = -O_1 \frac{1}{\cos \varphi} = +151$ тон. ***)
$\min V_2 = -Q_2 + 1,6 = -80$ "	$\max D_2 = +115$
$\min V_3 = -Q_3 + 1,6 = -60$ "	$\max D_3 = +87$
$\min V_4 = -Q_4 + 1,6 = -41$ "	$\max D_4 = +61$
$\min V_5 = -Q_5 + 1,6 = -25$ "	$\max D_5 = +37$
	$\max D_6 = +14$

$\max V_7 = +Q_8 + 1,6 = -14,7 + 1,6 = -13$ тон.	$\min D_7 = +4$ тон.
$\max V_8 = +Q_9 + 1,6 = -23$.	$\min D_8 = +21$ "
$\max V_9 = +Q_{10} + 1,6 = -32$.	$\min D_9 = +35$ "
	$\min D_{10} = +48$ "

*) При расчетѣ V надо принять во вниманіе членъ $g_{u\lambda} = 0,45 \cdot 3,6 = 1,6$ тон. Путь предположенъ сверху.

**) Если будемъ считать сопротивленіе вертикали зависящимъ отъ отношенія предѣльныхъ значений напряженій, то для $\max V$ надо принять $V = -g_{u\lambda}$.

***) Наибольшее растяженіе D_1 происходитъ одновременно съ наибольшимъ сжатіемъ O_1 (на фиг. 366 не построено).

Въ m -оі панели будетъ $\min Q_m$ тогда, когда поѣздъ продвинутъ впередъ отъ C до $m-1$. Кромѣ того надо нагрузить ферму вправо отъ D такъ, чтобы получился наибольшій отрицательный опорный моментъ $M_p = -258,15 \cdot 3,0$.

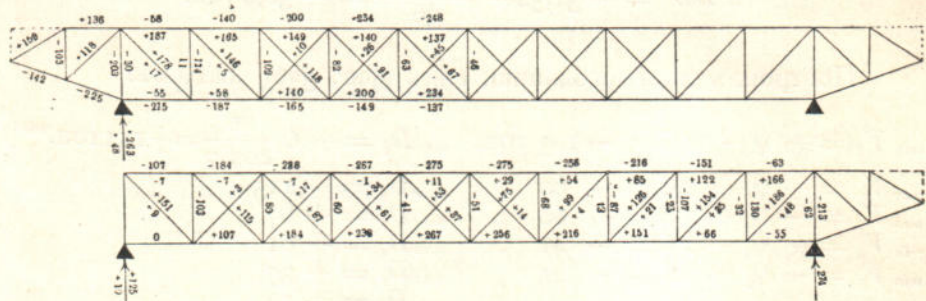
Вліяніе на Q_m осей поѣзда, лежащихъ отъ C до $m-1$, выражается ординатой D -лини (зеркального изображенія C -лини), соответствующей узлу $m-1$; къ ней надо прибавить, чтобы принять во вниманіе остальную нагрузку, ординату прямой $C'D'$ (фиг. 367), соответствующую серединѣ панели; эта прямая на вертикаляхъ опоръ отсекаетъ отрезки

$$\overline{CC'} = \frac{gl}{2} + \frac{M_p}{l} = 31,32 - \frac{258,15 \cdot 3,0}{36} = 31,32 - 21,51 = +9,8 \text{ тон.}$$

$$\text{и } \overline{DD'} = -\frac{gl}{2} + \frac{M_p}{l} = -31,32 - 21,51 = -52,8 \text{ тон.}$$

Затѣмъ найдемъ:

$\min V_2 = Q_3 + 1,6 = -11$	тон.	$\min D_1 = +9$	тон.
$\min V_3 = Q_4 + 1,6 = -23$	"	$\max D_2 = +3$	"
$\min V_4 = Q_5 + 1,6 = -36$	"	$\max D_3 = +17$	"
$\min V_5 = Q_6 + 1,6 = -51$	"	$\max D_4 = +34$	"
$\min V_6 = Q_7 + 1,6 = -68$	"	$\max D_5 = +53$	"
$\min V_7 = Q_8 + 1,6 = -87$	"	$\max D_6 = +75$	"
$\min V_8 = Q_9 + 1,6 = -107$	"	$\max D_7 = +99$	"
$\min V_9 = Q_{10} + 1,6 = -130$	"	$\max D_8 = +126$	"
		$\max D_9 = +154$	"
		$\max D_{10} = +186$	"



Фиг. 368.

Для крайней вертикали получаются слѣдующія напряженія:

$$\min V_0 = -C_{\max} + \frac{I}{2} g_u \lambda = -125,3 + 0,8 = -125 \text{ тон.}$$

$$\max V_0 = -C_{\min} + \frac{I}{2} g_u \lambda = -9,3 + 0,8 = -9 \text{ тон.},$$

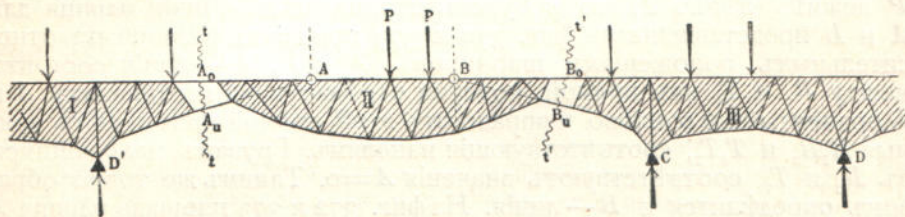
*) Это значеніе D_2 соответствуетъ, понятно, діагонали второй панели, подымающейся вправо, а также ранѣе данному значенію D_2 діагонали, подымающейся влѣво. Для обоего рода діагоналей принято одно и то же обозначеніе.

гдѣ наибольшее сопротивлѣніе опоры $C_{max} = \overline{C'C'}$ (фиг. 366) = 125,3 тон. и наименьшее $C_{min} = \overline{CC'}$ (фиг. 367) = 9,8 тоннъ.

§ 46.

Рѣшетчатыя фермы Гербера (консольныя) съ воображенными шарнирами.

189. Введеніе. Теперь перейдемъ къ изслѣдованію фермы Гербера, у которой вмѣсто дѣйствительныхъ среднихъ шарнировъ находятся по два стержня, точка пересѣченія которыхъ называется *воображаемымъ среднимъ шарниромъ* или просто *среднимъ шарниромъ* (эти фермы впервые изслѣдовались Föppl.). На фиг. 369 представлена часть такой фермы; независимая ферма II связана съ двумя смежными консольными фермами I и III двумя стержнями съ каждой стороны.



Фиг. 369.

Оси стержней A_o и A_u пересѣкаются въ точкѣ A , а оси стержней B_o и B_u — въ точкѣ B ; A и B будутъ *средними шарнирами* пролета $D'C$.

Въ дальнѣйшемъ мы будемъ предполагать только вертикальную нагрузку и горизонтальное передвиженіе опоръ; изслѣдованіе будемъ вести съ помощью линій влияній, что ведеть къ цѣли скорѣе.

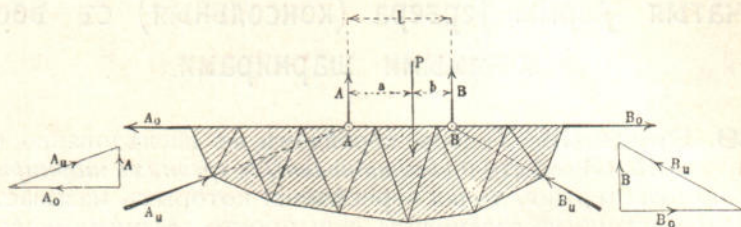
Раньше всего опредѣлимъ силы, дѣйствующія на независимую ферму II. Отыщемъ напряженія частей A_o , A_u , B_o , B_u (фиг. 369) при дѣйствіи силъ на ферму II. Равнодѣйствующая напряженій A_o и A_u , равная A , проходитъ черезъ шарниръ A , а равнодѣйствующая B_o и B_u , равная B , — черезъ шарниръ B . Обѣ равнодѣйствующія должны быть вертикальны, такъ какъ *всѣ* внѣшнія силы, дѣйствующія на ферму Гербера, имѣющей только одну неподвижную опору, вертикальны, и кромѣ того равновѣсие фермы для внѣшнихъ силъ лѣвѣ сѣченія $t\bar{t}$ (фиг. 369), а также правѣ сѣченія $t'\bar{t}'$, можетъ быть получено только при вертикальномъ направлѣніи силъ A и B . Считаемъ A и B положительными, если онѣ дѣйствуютъ на независимую ферму *вверхъ*, а, слѣдовательно, на консоли *внизъ*; обѣ силы зависятъ только отъ грузовъ P , дѣйствующихъ на независимую ферму.

При обозначеніяхъ на фиг. 370 найдемъ влініе груза $P=1$ посредствомъ уравненій моментовъ относительно точекъ A и B :

$$Al - Bl = 0 \quad \text{и} \quad Bl - Pa = 0,$$

откуда

$$A = P \frac{b}{l} = 1 \cdot \frac{b}{l} \quad \text{и} \quad B = P \frac{a}{l} = 1 \cdot \frac{a}{l}.$$



Фиг. 370.

Если P лежить правѣе B , то b будетъ отрицательно, если же P лежить лѣвѣе A , то a будетъ отрицательно. Линіи влінія для A и B представлены на фиг. 372 и 373 при двухъ различныхъ относительныхъ положеніяхъ шарнировъ A и B . A — линія состоять между R_1 и T_1 изъ прямой, которая отрѣзаетъ на вертикаляхъ A и B ординаты 1 и 0; влѣво и вправо отъ этой прямой примыкаютъ прямые R_1R_2 и T_1T_2 , соотвѣтствующія панелямъ. Грузамъ, находящимся въ R_2 и T_2 , соотвѣтствуютъ значенія $A=0$. Такимъ же точно образомъ опредѣлится и B — линія. На фиг. 372 и 373 площасть влінія A заштрихована. Изъ наибольшихъ и наименьшихъ значеній A и B опредѣлимъ наибольшія и наименьшія значенія напряженій A_o , A_u , B_o и B_u простымъ разложеніемъ силъ A и B .

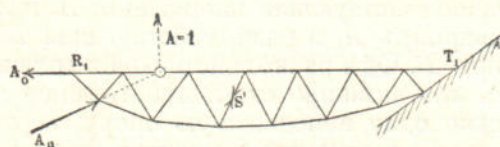
Въ слѣдующихъ изслѣдованіяхъ ограничимся простой треугольной сѣтью и, обозначая искомыя напряженія черезъ S , укажемъ, что всѣ правила для опредѣленія линій влінія одинаковы какъ для поясовъ, такъ и для промежуточныхъ стержней.

190. Линіи влінія для напряженій въ стержняхъ независимой фермы. Будемъ считать A и B силами внѣшними. Представимъ себѣ независимую ферму (фиг. 371) закрѣпленной въ правомъ концѣ, и опредѣлимъ напряженія S' , про-

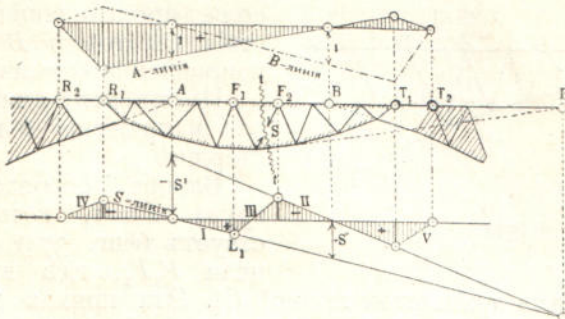
исходящія въ стержняхъ, если на ферму дѣйствуютъ только двѣ внѣшнія силы A_o и A_u , равнодѣйствующія которыхъ $A=1$. Равнымъ образомъ опредѣлимъ напряженія S'' въ стержняхъ независимой фермы при $B=1$, если закрѣпленъ лѣвый конецъ.

По фермѣ движется грузъ $P=1$. Проведемъ сѣченіе tt , пересѣкающее два поясныхъ стержня и одинъ промежуточный, для напряженія котораго строится линія влінія. Лѣвѣе сѣченія tt дѣй-

Фиг. 371.



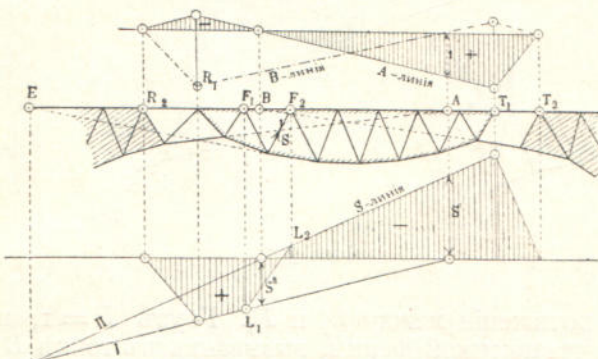
ствуетъ вѣшняя сила A , а потому имѣемъ $S = AS'$, если же лѣвѣ сѣченія tt дѣйствуетъ грузъ $= 1$, то получимъ $S = BS''$. Если F_1 и F_2 (фиг. 372) поперечныя фермы, лежащія по сторонамъ сѣченія tt , то можемъ получить слѣдующее правило:



Фиг. 372.

Ординаты частіи линії вліянія для S (S —линії), лежащей правилье F_2 , равны соотвѣтствующимъ ординатамъ A —линії B —линії, умноженнымъ вѣ $\frac{S' \text{ разз}}{S'' \text{ разз}}$.

Это правило вмѣстѣ со значеніями S' и S'' , опредѣлитъ всю линію вліянія S для каждого стержня; она построена на фиг. 372—373 для діагонали, подымающейся влѣво, при разныхъ положеніяхъ шарнировъ A и B и точки пересѣченія E поясовъ, находящихся въ сѣченіи tt . Нагрузка предполагается дѣйствующей на верхнемъ



Фиг. 373.

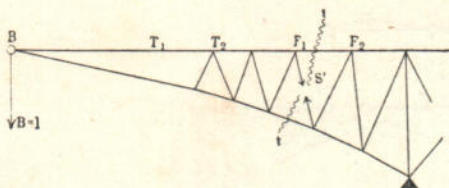
поясѣ. Съ помощью значеній S' и S'' (первое въ настоящемъ случаѣ положительно, второе S'' означаетъ сжатіе) проводимъ прямые I и II. Первая имѣть значеніе только между F_1 и R_1 вторая между F_2 и T_1 . Панелямъ R_2R_1 , F_1F_2 , T_1T_2 отвѣчаютъ прямые IV, III, V. Результаты изслѣдованія, приведенного въ № 169 (Выпускъ IV) и въ № 187 (Выпускъ V), можно также примѣнить и въ настоящемъ случаѣ для проведения прямыхъ I и II. Такъ напримѣръ, прямые I и II должны пересѣчься на вертикали точки E .

191. Линії вліяння для напряжень въ стержняхъ консоли. Разсмотримъ свѣшивающійся конецъ фермы CD (фиг. 369). Предположимъ, что стержни B_o и B_u замѣнены стержнями, доходящими до шарнира B (фиг. 374), и опредѣлимъ напряженія S' въ стержняхъ консоли, происходящія отъ дѣйствія въ точкѣ B груза = 1, направленного внизъ.

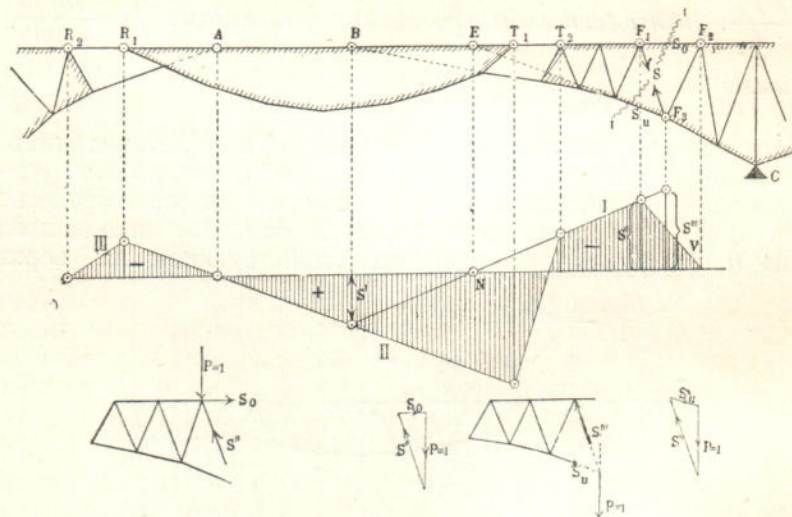
Построимъ линію вліяння для напряженія S въ любомъ стержнѣ.

Вліяніе сосредоточеннаго груза $P=1$, который дѣйствуетъ (фиг. 374) лѣвѣ панели F_1F_2 , гдѣ взято сѣченіе tt , опредѣлится ординатой прямой (I). Эта прямая имѣеть въ точкѣ B ординату S' , а нулевая точка прямой лежить на верти-

кали точки пересѣченія E двухъ другихъ стержней разсматривае-
мого сѣченія tt , (фиг. 375). Этой прямой, конечно, пользуются



Фиг. 374.



Фиг. 375.

только на протяженіи между T_2 и F_1 . Грузъ $P=1$, находящійся на сосѣдней независимой фермѣ, вызываетъ въ точкѣ B давленіе B , а въ разсматриваемомъ стержнѣ напряженіе $S=BS'$. Такимъ образомъ ординаты искомыхъ линій вліянія для S —(прямыхъ II и III, лежащихъ лѣвѣ T_1)—равны ординатамъ линіи вліянія для B , уве-
личеннымъ въ S' разъ, а линіи вліянія, соотвѣтствующія пане-
лямъ T_1T_2 и F_1F_2 , можно опредѣлить на основаніи того положе-
нія, что линія вліянія въ панели есть прямая.

Нулевая точка линіи II соотвѣтствуетъ шарниру A . На фиг. 375 представлена линія вліянія для напряженія въ диагонали, подымаю-
щейся влѣво. Напряженіе S' въ данномъ случаѣ положительно.

Припоминая изслѣдованія, выведенныя въ № 186, прямую I (фиг. 375) можно провести черезъ двѣ ординаты S'' и S''' , соотвѣт-

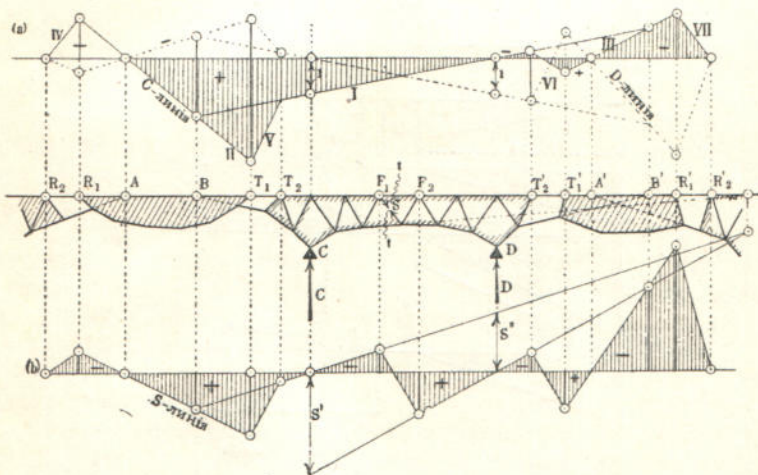
ствующія точкамъ F_1 и F_2 . Для определенія же S'' и S''' разлагаемъ воображеній въ точкахъ F_1 и F_2 грузъ $P=1$ по направленимъ S , S_o и S_u , соблюдая общее направление стрѣлокъ въ треугольникахъ силъ (см. фиг. 375 внизу).

192. Линія вліяння для напряженій въ стержняхъ части фермы между опорами С и D, фиг. 376. Построимъ линіи вліяння для напряженій S' и S'' , которые согласуются съ напряженіями O' , U' , D' и O'' , U'' , D'' (см. № 168—Выпускъ IV).

Для построенія этихъ линій вліяння можно вывести слѣдующее правило:

Ординаты часті линії вліяння для S , лежащей $\frac{\text{вправо от} F_2}{\text{влево от} F_1}$, равны соотвѣтствующимъ ординатамъ $\frac{C - \text{лини}}{D - \text{лини}}$, увеличеннымъ въ $\frac{S' \text{ разъ}}{S'' \text{ разъ}}$.

Линія вліяння для сопротивленія опоры C (или короче C —линия) есть прямая (I) между узлами T_2 и T'_2 , которая опредѣляется



Фиг. 376.

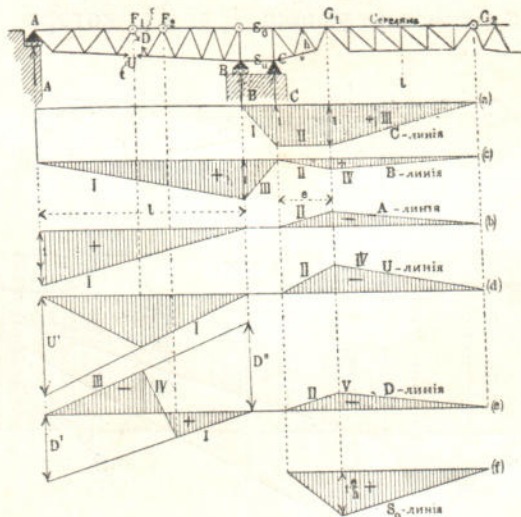
условіями, что грузу $P=1$, находящемуся въ C , соотвѣтствуетъ значеніе $C=1$, а находящемуся въ D —значеніе $C=0$. Но эта прямая показываетъ также вліяніе груза $=1$, лежащаго въ точкѣ B независимой фермы, потому что этотъ грузъ производить на свѣшивающійся конецъ T_2C давленіе $B=1$ (на фиг. 374 консоль продолжена до B).

Грузъ же, находящійся въ точкѣ A , вызываетъ значеніе $B=0$, а потому не вліяетъ на C ; то же разсужденіе касается и грузовъ, находящихся правѣе T'_2 . На основаніи этого получаемъ на фиг. 376, C —линию. Она состоитъ изъ прямой I, двухъ прямыхъ II и III, проходящихъ черезъ точки пересѣченія прямой I съ вертикалями шарнировъ B и B' , нулевые точки которыхъ соотвѣтствуютъ шарнирамъ A и A' , и наконецъ изъ прямыхъ IV, V, VI, VII, соотвѣтствующихъ панелямъ R_1R_2 , T_1T_2 , $T'_2T'_1$, $R'_2R'_1$. На фиг. 376

представлены два различныхъ случая расположения среднихъ шарнировъ A и B , A' и B' .

Точно такимъ же образомъ опредѣлится и линія вліянія для сопротивленія опоры D (на фиг. 376,а показано пунктиромъ), а затѣмъ, зная S' и S'' , построимъ линію вліянія для произвольной діагонали. На фиг. 376,б показано примѣненіе этого способа при построеніи линіи вліянія для напряженія S діагонали, подымающейся влѣво.

193. Примѣръ. Изслѣдуемъ ферму, изображенную на фиг. 377, консольная часть которой AG_1 имѣеть три опоры A, B, C . Между B и C лежить панель безъ діагоналей. Чтобы опредѣлить линію вліянія для сопротивленія опоры C , положимъ, что подвижной грузъ = 1 приложенъ между C и G_1 ; тогда сумма вертикальныхъ силъ, дѣйствующихъ на часть фермы CG_1 , равняется нулю. Такъ какъ напряженіе S_o въ стержнѣ S_o горизонтально, то получимъ $C = 1$, и, слѣдовательно, линія вліянія для C опредѣлена (см. фиг. 371,а). Грузы, находящіеся лѣвѣ B , не вліяютъ на сопротивленіе опоры C .



Фиг. 377.

Линіи вліянія для сопротивленій опоръ A и B даны на фиг. 377,б. и с; прямая I (фиг. 377,б) имѣеть при A ординату 1, а прямая I на фиг. 377,с при B ординату 1; въ обѣихъ фигурахъ прямые I и II параллельны другъ другу; поэтому, если часть фермы AB нагруженна только между A и B , то ее изслѣдуютъ какъ простую балку; если грузъ = 1 приложенъ въ G_1 , то получимъ:

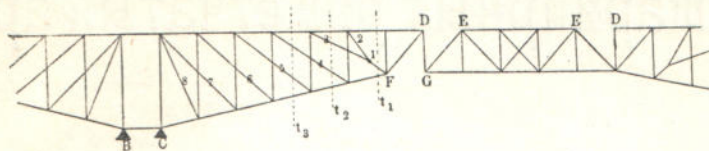
$$S_o = +1 \frac{e}{h} \text{ и } A = -S_o \frac{h}{l} = 1 \frac{e}{l}, \text{ и затѣмъ}$$

$$B = -A = +1 \frac{e}{l}.$$

Линіи вліянія для напряженія въ стержнѣ части фермы AB находять по общимъ правиламъ, какъ для простой фермы (№ 168 Выпускъ IV). Грузы же, лежащіе правѣе сѣченія tt , даютъ во-

обще величину напряженія = AS' , где S' напряженіе при $A = 1$. На фиг. 377, д и е представлены линії вління для напряженій U и D . Части линії вління лѣвѣ B опредѣляться значеніями U' , D' и D'' , а части правѣ B —условіемъ, что прямая II и I въ обѣихъ фигурахъ должны быть параллельны.

Напряженія въ поясахъ панели BC для всякаго состоянія нагрузки равны по величинѣ ($S_u = -S_o$); линія вління для S_o (фиг. 377, д) опредѣлится ординатой $1 - \frac{e}{h}$, соотвѣтствующей среднему шарниру G_1 . Фиг. 377 представляетъ общее расположение главной фермы желѣзнодорожнаго моста черезъ Ниагару (вблизи водопада), открытаго въ декабрѣ 1883 года *).



Фиг. 378.

Особенность въ этомъ сооруженіи представляетъ расположение диагоналей. На фиг. 378 показаны консольная часть и независимый пролетъ. Диагонали 3, 4, 5, 6, 7 проходятъ черезъ двѣ панели. Диагональ же 3 соединена съ диагональю 2 и съ диагональю 1 вблизи нижняго узла F . Статическая опредѣлимость отъ этого не нарушается. Для опредѣленія напряженій D_1, D_2, \dots, D_8 въ диагоналяхъ 1, 2, 3 8 проводимъ сѣченіе t_1 и примѣняемъ способъ Риттера; такимъ образомъ опредѣлимъ D_1 , а затѣмъ D_2 и D_3 , которая вмѣстѣ съ D_1 должны быть въ равновѣсіи; наконецъ проводимъ сѣченія t_2, t_3, \dots и опять по способу Риттера опредѣляемъ остальная напряженія D_4, D_5, \dots **). Узлы E и D въ Ниагарскомъ мостѣ, а также узлы G и F соединены другъ съ другомъ стержнями, причемъ болты въ узлахъ E и G могутъходить вдоль въ отверстіяхъ. Слѣдовательно, концы стержней могутъ перемѣщаться, а потому независимую ферму можно изслѣдовывать какъ простую ферму на двухъ опорахъ.

*) Подробное описание этого моста, проектированного инженеромъ С. С. Schneider'омъ (New-York), можно найти въ Zeitschrift des Vereins deutscher Ingenieure, 1884, стр. 385.

**) Для построенія линій вління для даннаго случая рекомендуется способъ, основанный на изслѣдованіи кинематической цѣпи, см. № 148—Выпускъ III. Примѣненіе этого способа для даннаго случая представляетъ простую задачу.

ОТДѢЛЪ Трехшарнирныя рѣшетчатыя арки.

§ 47.

Примѣненіе способовъ Кульмана и Риттера.

Предположимъ, что обѣ рѣшетчатыя части, образующія трехшарнирную рѣшетчатую арку, состоять изъ простой треугольной сѣти.

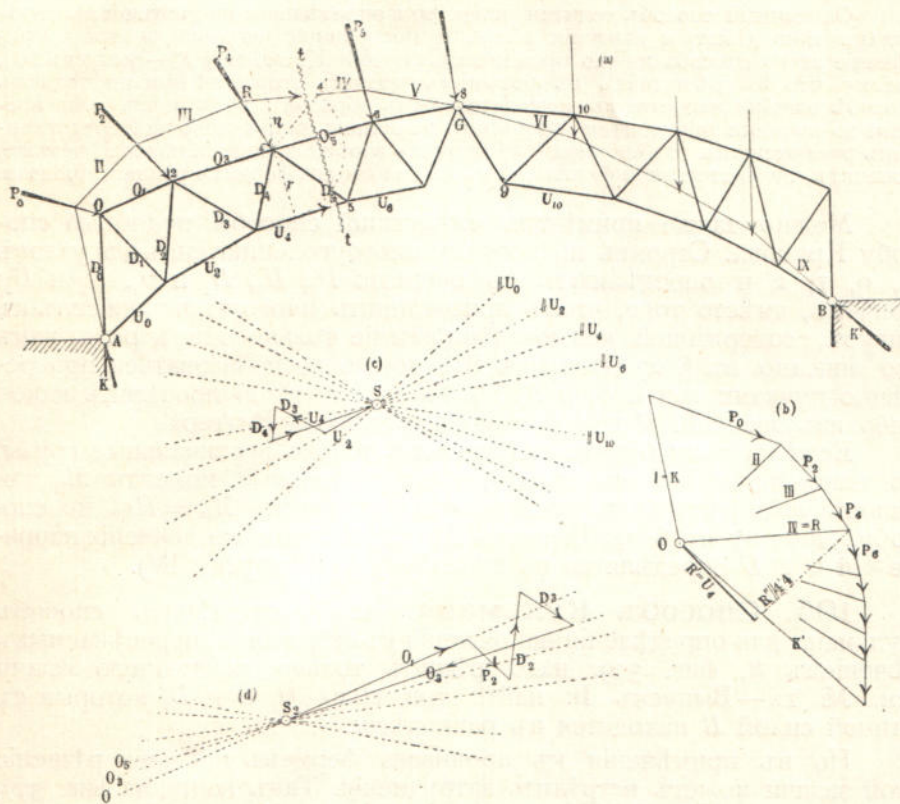
194. Примѣненіе уравненій моментовъ по Риттеру. Пусть на арку дѣйствуютъ произвольно направленные грузы. Сопротивленія опоръ, вызываемыя этими грузами, будемъ считать извѣстными; а также пусть будетъ данъ веревочный многоугольникъ I II III . . . для виѣшнихъ силъ, проходящій черезъ три шарнира A , G , B *). Опредѣлимъ напряженіе U_4 , фиг. 379.

Проведемъ сѣченіе tt , пересѣкающее стержни U_4 , D_5 , O_5 ; оно встрѣтить также сторону IV веревочного многоугольника, которая опредѣляетъ положеніе равнодѣйствующей силы R всѣхъ виѣшнихъ силъ, дѣйствующихъ лѣвѣ сѣченія tt ; соотвѣтствующій же лучъ $IV = R$ въ многоугольникѣ силъ даетъ эту силу по величинѣ и направленію. Обозначимъ черезъ η и r плечи силъ R и U_4 относительно узла 4, тогда уравненіе моментовъ, взятыхъ относительно этого узла, будетъ: $R\eta - U_4 r = 0$; а отсюда уже получимъ выраженіе $U_4 = \frac{R\eta}{r}$, легко опредѣляемое чертежемъ.

Другой путь будетъ таковъ: если $\eta < r$, то изъ точки 4 какъ изъ центра проводятъ окружность радиусомъ r и опредѣляютъ точку пересѣченія $4'$ окружности со стороной веревочного многоугольника IV; затѣмъ разлагаютъ силу R въ точкѣ $4'$ на двѣ составляющіхъ R' и R'' , изъ которыхъ первая перпендикулярна къ прямой $4'4$, а другая R'' совпадаетъ съ этой прямой. Уравненіе моментовъ обратится тогда въ слѣдующее: $R'r - U_4 r = 0$, откуда имѣемъ $U_4 = R'$.

*.) Все это опредѣляется на основаніи № 98, 99 (Выпускъ II) и 129 (Выпускъ III).

Если $\eta > r$, то разлагаютъ силу R въ произвольной точкѣ ея направлениа на составляющую R'' , проходящую черезъ точку 4, и

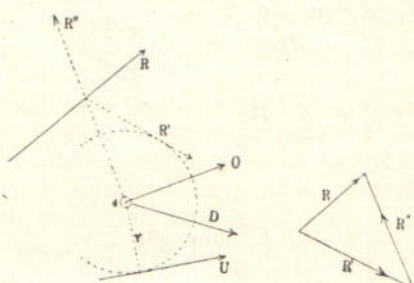


Фиг. 379.

на другую R' , которая касается къ окружности, описанной изъ точки 4 радиусомъ r , фиг. 380. Отсюда опять найдемъ: $U_4 = R'$.

Подобнымъ же путемъ опредѣлимъ напряженія O . Для опредѣленія же напряженій D въ промежуточныхъ стержняхъ только что описанный способъ можетъ оказаться непригоднымъ, такъ какъ точка, относительно которой надо брать моменты, можетъ лежать въ предѣловъ чертежа; въ этомъ случаѣ для получения D рекомендуется построить многоугольники силъ для верхняго или нижняго пояса, если только будутъ даны напряженія U и O .

Построеніе это сдѣлано на фиг. 379, с и д; пучки лучей S_1 и S_2 , параллельныхъ стержнямъ поясовъ O и U , могутъ служить для всѣхъ изслѣдуемыхъ случаевъ нагрузки. Конечно, достаточно вычертить только одну изъ обѣихъ фигуръ; если же вычерчены обѣ



Фиг. 380.

фигуры, то напряженіе D мы получимъ два раза, что даетъ возможность провѣрить правильность чертежа *).

Описанный способъ годится напр. при опредѣленіи напряженій въ стро-пилахъ при дѣйствіи давленія вѣтра и постоянной нагрузки; и тогда примѣненіе этого способа можно предпочесть способу Кремона (§ 27—Выпускъ III), потому что въ рѣшеткахъ съ большимъ числомъ стержней при послѣднемъ способѣ ошибки нарастаютъ нежелательнымъ образомъ; вотъ почему отъ времени до времени приходится провѣрять величины напряженій непосредственнымъ разложеніемъ. Въ арочныхъ же фермахъ вообще величина панелей меньше, а значитъ, число стержней больше, чѣмъ въ балочныхъ фермахъ равнаго пролета.

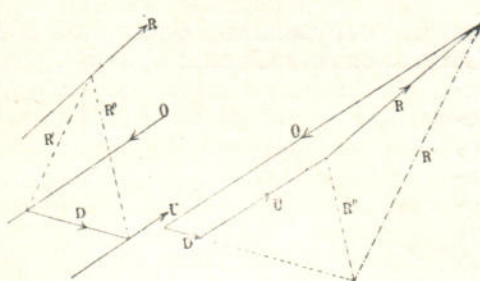
Можно также примѣнить слѣдующій способъ, подобный способу Кремона. Строить по порядку многоугольники силъ для узловъ A , O , I , 2 и опредѣлять по очереди: D_o , U_o , D_1 и O_1 , D_2 и U_2 ; причемъ, вмѣсто того, чтобы присоединить многоугольники силъ къ фигуруѣ, содержащей каждое напряженіе только одинъ разъ, какъ это описано въ § 27 (Выпускъ III), можно воспользоваться поперемѣнно пучками лучей S_1 и S_2 **). Иногда полезно провѣрить какое либо изъ значений U или O помощью способа Риттера.

Если на арку будутъ дѣйствовать только вертикальные грузы, то наибольшіе положительные и отрицательные моменты M_m для узловъ m могутъ быть представлены въ формѣ $M_m = H\eta_m$ по способу, данному въ § 24 (Выпускъ II), предѣльная же значенія напряженій O и U опредѣляются по способу § 34 (Выпускъ IV).

195. Способъ Кульмана. Чтобы примѣнить способъ Кульмана для опредѣленія напряженій въ стержняхъ, пересѣкаемыхъ сбѣченіемъ tt , фиг. 379, надо рѣшить только слѣдующую задачу (см. № 12—Выпускъ I): найти три силы O , U и D , которыя съ данной силой R находятся въ равновѣсіи.

Но въ примѣненіи къ арочнымъ фермамъ прежнее рѣшеніе этой задачи можетъ встрѣтить затрудненія. Такъ напр., на фиг. 379; точку пересѣченія (RD) прямыхъ R и D можно опредѣлить точно

точки же пересѣченія (RO), (RU) и (OU) могутъ оказаться вѣкъ предѣловъ чертежной доски. Тогда замѣняемъ силу R въ какой нибудь точкѣ по ея направленію двумя составляющими R' и R'' , которая проходятъ соотвѣтственно черезъ точки пересѣченія (OD) и (UD), и затѣмъ уже разлагаемъ R' по направленіямъ O и D , а R'' по направленіямъ U и D . Такимъ образомъ получаемъ многоугольникъ силъ, показанный на фиг. 381.

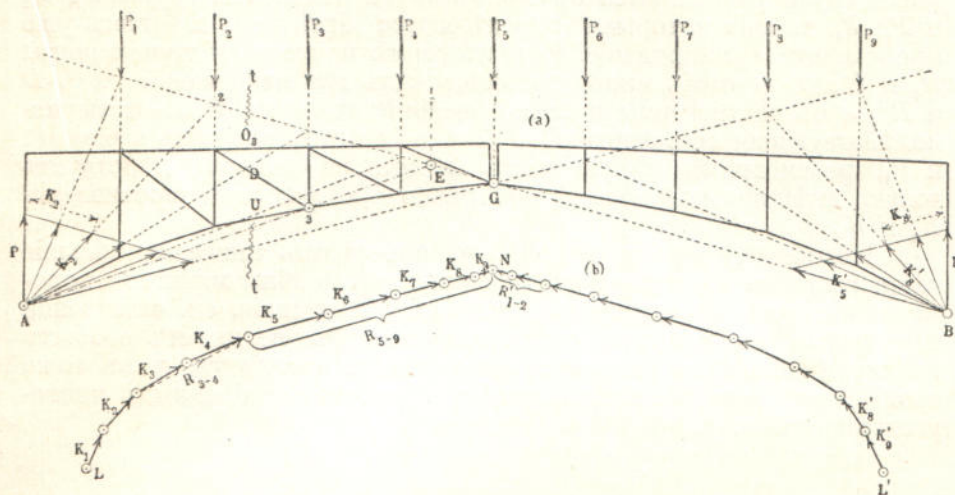


Фиг. 381

*) Чтобы получить точныя значенія рекомендуется пучки лучей S_1 и S_2 на фиг. 379 построить расчетомъ по способу, приведенному въ примѣненіи къ § 41 (Выпускъ IV). Проведеніе же прямыхъ, параллельныхъ короткимъ стержнямъ поясовъ, будетъ безусловно неточно.

**) Этотъ способъ согласуется въ главныхъ чертежахъ съ тѣмъ, который впервые примѣненъ Lang'омъ при изслѣдованіи серповидной балки; см. Civil-ingenieur 1882, табл. XIV.

Покажемъ на частномъ примѣрѣ примѣненіе часто употребляемаго способа Кульмана для определенія предѣльныхъ напряженій въ случаѣ равнотирфно распределенной подвижной нагрузки. Панели предположимъ всѣ равными и нагрузку каждой панели назовемъ $p_1 = P$. Указатели 1, 2, 3. (фиг. 382) обозначаютъ что одинаковые грузы P_1, P_2, P_3, \dots дѣйствуютъ въ узлахъ 1, 2, 3.



Фиг. 382.

Сначала опредѣляютъ отдельно сопротивленія опоръ K_1, K_2, K_3, \dots и K'_1, K'_2, K'_3, \dots которыя вызываются въ опорахъ A и B при дѣйствіи каждого груза. Такъ напр., чтобы получить K_2 и K'_2 , въ точкѣ 2, т. е. въ точкѣ пересѣченія линіи опорныхъ сопротивленій съ направленіемъ груза, разлагаютъ грузъ P_2 по направленимъ A_2 и B_2 . Концы отрѣзковъ K_1, K_2, K_3, K_4, K_5 будутъ лежать на прямой линіи, а также концы линій $K'_5, K'_6, K'_7, K'_8, K'_9$. Послѣ определенія всѣхъ величинъ K и K' сопротивленія опоры A можно представить въ видѣ многоугольника силъ LN , откладывая величины K_1, K_2, \dots по порядку; подобнымъ же образомъ построится многоугольникъ силъ $L'N'$ для сопротивленій опоры B *).

Теперь можно перейти къ определенію напряженій. Положимъ, требуется определить напряженіе O_3 , которое пропорционально моменту M_3 относительно противолежащаго узла 3 и которое приметъ наибольшее положительное или наибольшее отрицательное значеніе, смотря по роду нагрузки, дающей или $\min M_3$ или $\max M_3$. Если провести прямую черезъ A и узель 3, то прямая эта пересѣчетъ линію опорныхъ сопротивленій въ точкѣ E ; вертикаль, проходящая черезъ точку E , даетъ намъ линію раздѣла нагрузки (см. § 24—Выпускъ II); каждый грузъ, лежащий правѣше E , вызываетъ отрицательный моментъ M_3 ; каждый грузъ, лежащий лѣвѣше E вызываетъ положительный моментъ. Поэтому, чтобы получить наибольшее растяженіе O_3 , надо устранить всѣ грузы лѣвѣше E . Но

*) Для фиг. 382б масштабъ выбранъ меньше, чѣмъ для фиг. 382а.

тогда на часть фермы лѣвѣ сѣченія tt будетъ дѣйствовать только одна вѣнчаная сила, именно R_{5-9} —равнодѣйствующая сопротивленій $K_5, K_6 \dots$ до K_9 , проходящая черезъ A ; съ этой силой должны находиться въ равновѣсіи напряженія O, U, D , дѣйствующія также въ лѣвой части фермы. Определеніе этихъ напряженій производится при помощи фиг. 381.

Чтобы получить $\min O_3$, надо разгрузить ферму правѣ E ; оставшіеся грузы раздѣляются сѣченіемъ tt на отдельныя группы P_1, P_2 и P_3, P_4 , вліянія которыхъ опредѣляются отдельно, а затѣмъ уже происходитъ суммирование. Если къ фермѣ приложены только грузы P_1 и P_2 , то чертимъ многоугольникъ силъ для напряженій O, U, D и R'_{1-2} въ части фермы *правье* сѣченія tt ; причемъ R'_{1-2} —есть равнодѣйствующая сопротивленій K'_1 и K'_2 ; чтобы получить вліяніе P_3 и P_4 , разсмотримъ лѣвую часть фермы, на которую дѣйствуетъ только вѣнчаная сила R_{3-4} , т. е. равнодѣйствующая сопротивленій K_3 и K_4 .

Подобнымъ же путемъ можно опредѣлить также наибольшія напряженія въ промежуточныхъ стержняхъ (неблагопріятное положеніе нагрузки находится съ помощью линій вліянія, см. слѣдующій параграфъ); но, конечно, описанный способъ не имѣетъ особыхъ преимуществъ, такъ какъ онъ не особенно нагляденъ и въ тоже время очень трудно контролировать вѣрность построенныхъ многоугольниковъ силъ.

§ 48.

Вертикальная нагрузка.

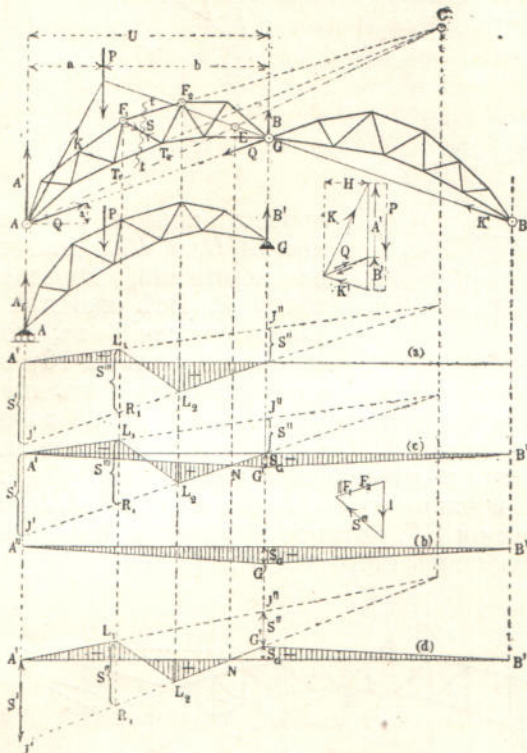
196. Линіи вліянія. Самое наглядное определеніе предѣльныхъ напряженій, при дѣйствіи вертикальной нагрузки, даютъ линіи вліянія. Чтобы построить эти линіи по возможности скорѣе, предположимъ сначала, что ферма нагружена только лѣвѣ средняго шарнира G ; затѣмъ перенесемъ сопротивленіе опоры K' по направлению BG отъ B къ G и разложимъ K и K' на вертикальная составляющая A' и B' и на составляющая Q , другъ другу равныя, но противоположно направленныя по прямой AG , фиг. 383.

Если бы Q равнялось 0, то часть фермы AG можно рассматривать какъ простую балку, а потому линія вліянія для напряженія S (все равно для стержня пояса или для промежуточного стержня) построится на основаніи § 37 (Выпускъ IV) при помощи напряженій S' и S'' , найденныхъ для состояній нагрузокъ $A' = 1$ и $B' = 1$ (фиг. 384 и 385) *); это построеніе сдѣлано на фиг. 383,а для промежуточного влѣво подымающагося стержня, въ предположеніи, что S' —положительно а S'' —отрицательно.

Теперь требуется определить вліяніе обѣихъ силъ Q ; надо замѣтить, что $Q = \frac{H}{\cos \alpha}$ (гдѣ α —уголъ наклоненія прямой AG), а по-

* На фиг. 384 и 385 ферма предполагается закрѣпленной либо лѣвѣ, либо правѣ защрихованной линіи.

тому напряженіе S , зависящее отъ Q , должно быть также пропорционально и H ; слѣдовательно, недостающая площадь вліянія, выражающая дѣйствіе силы Q , будетъ треугольникъ ($A''G'B''$ — фиг. 383,b), вершина котораго лежитъ подъ шарниромъ G *). Этаотъ тре-



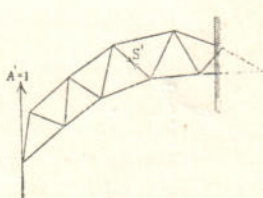
Фиг. 383.

угольникъ, который долженъ быть прибавленъ къ площади вліянія, фиг. 383 а, съ соотвѣтствующимъ знакомъ, опредѣляется проще всего при помоши того напряженія S_g , которое вызывается въ разсматриваемомъ стержнѣ грузомъ = 1, дѣйствующимъ въ шарнирѣ G (этотъ случай нагрузки показанъ на фиг. 386).

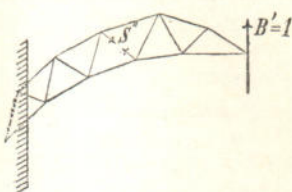
На фиг. 383 величина S_g — отрицательна; на фиг. 383,c получилась такимъ образомъ площадь вліянія для S . Эту площадь вліянія легко преобразовать, откладывая ординаты линіи вліянія отъ горизонтальной прямой $A'B'$, фиг. 383,d; положительныя значенія S' , S_g , S'' всегда откладываемъ внизъ, отрицательныя всегда вверхъ, первыя двѣ величины отъ прямой $A'B'$, а послѣднюю отъ точки G' . Если, напр., S' и S_g будутъ положительны, а S'' отрицательно, то получимъ площадь вліянія такого вида, какъ это показано на фиг. 387.

* См. № 103 (Выпускъ II), гдѣ указано, что линія вліянія для H есть треугольникъ.

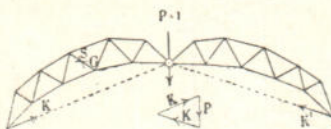
При удобномъ положеніи точки пересѣченія C другихъ двухъ стержней, кромѣ S , которые пересѣкаются сѣченіемъ tt , можно определить какое либо одно изъ двухъ значений S' или S'' и затѣмъ



Фиг. 384.



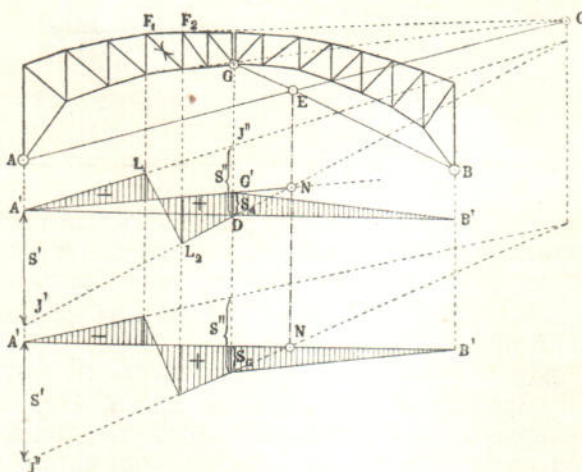
Фиг. 385.



Фиг. 386.

проводести прямую $A'L_1$, зная, что прямые $A'L_1$ и $J'L_2$ должны пересѣчься на вертикалѣ, проведенной черезъ точку C . Всѣ свойства линий вліянія для напряженій въ простой балкѣ, выведенныя въ № 187 и 188 (фиг. 347 и 349), могутъ быть примѣнены и въ

данномъ случаѣ для построенія и провѣрки линий вліянія, вычерченныхъ на фиг. 383,а и 383,д. Такъ напримѣръ, когда изслѣдуемъ напряженіе діагонали, подымающейся влѣво, фиг. 383, при нагрузкѣ, дѣйствующей на верхній поясъ, длина отрѣзка L_1R_1 будетъ равна величинѣ напряженія S'' , которое получится при разложеніи груза $P=1$ по направленіямъ стержней F_1 , F_2 и S .



Фиг. 387.

Затѣмъ получаемъ слѣдующее важное правило, вытекающее изъ того условія, что грузъ, проходящій черезъ точку пересѣченія E прямыхъ AC и BG , вызываетъ напряженіе $S=0$, такъ какъ въ лѣвой опорѣ является отъ этого груза сопротивленіе опоры, проходящее черезъ точку C . Но отсюда слѣдуетъ, что прямая $J'L_2$ и $A'G'$ на фиг. 383,с, а также прямая $J'L_2$ и $A'B'$ на фиг. 383,д должны пе-

расѣкаться на вертикали точки E . Это правило распространяется и на тотъ случай, когда E лежитъ ниже G' , фиг. 387; потому что разности ординатъ двухъ прямыхъ $J'L_2D$ и $A'G'$ на вертикали подъ шарниромъ опредѣляютъ вліяніе тѣхъ двухъ силъ A' и Q , дѣйствующихъ лѣвѣ есѣченія tt , которая вызываются грузомъ единицею, приложеннымъ на часть фермы AG , но правѣе точки G ; это вліяніе будетъ $= 0$, если только грузъ пройдетъ черезъ точку E . Сошлемся здѣсь на изслѣдованія въ № 149 (см. Выпускъ III). Законъ, о которомъ идеть рѣчь, былъ найденъ съ помощью опредѣленія полюса той кинематической цѣпи, въ которую переходитъ рѣшетчатая арка, если устраниить стержень S^*). При опредѣленіи напряженій въ поясахъ, которые пропорциональны моментамъ относительно противолежащихъ узловъ, сошлемся на результаты § 24 (см. Выпускъ II).

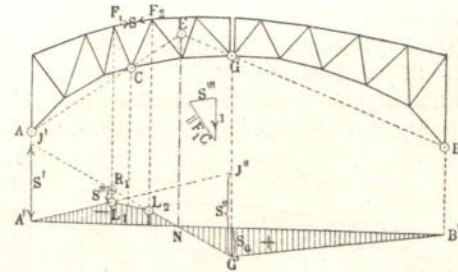
На основаніи сдѣланныхъ изслѣдованій оказывается, что при удачномъ положеніи точки C (что всегда будетъ, если мы разсматриваемъ напряженіе въ стержнѣ пояса—фиг. 388) достаточно для построенія линій вліянія одного только значенія S' , S'' , S''' , S_6 . Обыкновенно проще всего воспользоваться опредѣленіемъ S' (см. численный примѣръ § 49).

Во всѣхъ предыдущихъ чертежахъ мы предполагали, что нагрузка приложена къ верхнимъ узламъ. Если нагрузка приложена къ нижнимъ узламъ, то придется только провести иначе линію L_1L_2 ; такъ напр., на фиг. 383 эта линія должна соответствовать панели T_1T_2 . Обыкновенно встрѣчается первый случай, и не будетъ большой ошибки, если считать постоянную нагрузку распределенной по узламъ верхняго пояса.

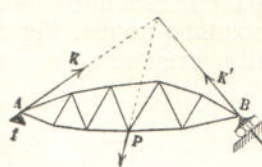
Только что выведенный способъ опредѣленія линій вліянія можно также примѣнять и къ тому случаю, когда вмѣсто дѣйствительныхъ шарнировъ A , B , G ввести *воображаемые шарниры*. Мы рекомендуемъ изслѣдовать этотъ случай на основаніи выводовъ § 46.

Также рекомендуется изслѣдовать, на основаніи теоріи трехшарнирныхъ арокъ, ферму съ *наклонной подвижной опорой*, фиг. 389, а также стропильную ферму, показанную на фиг. 390, которая имѣеть въ A неподвижный шарниръ, а въ точкѣ B поддерживается струной, могущей вращаться въ точкѣ C .

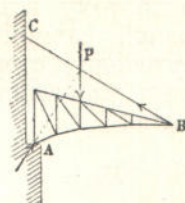
Теорія линій вліянія имѣетьтъ также тогда большое значение, когда требуется показать нагляднымъ образомъ самое невыгодное распределеніе нагрузки. Достаточно для этого бываетъ дать только знакъ напряженія S' (лучше всего примѣняя способъ



Фиг. 388.



Фиг. 389.



Фиг. 390.

^{*)} Тамъ же показано и опредѣленіе нулевой точки прямой L_1L_2 .

Риттера для состоянія $A' = 1$) и тогда, проведя нѣсколько прямыхъ, быстро рѣшаємъ вопросъ. Такъ напр., если разсматриваемъ, фиг. 383, напряженіе S діагонали, подымающейся влѣво, то сейчасъ же узнаемъ, что вицѣшня сила $A' = 1$, вращающаяся вправо вокругъ точки C , должна находиться въ равновѣсіи только съ напряженіемъ S' , дѣйствующимъ на лѣвый отрѣзокъ фермы и вращающимъ его влѣво; поэтому S должно быть направлено отъ F_1 къ T_2 , т. е. должно быть положительно, а этимъ уже опредѣленъ знакъ отдѣльной части площади вліянія. Находимъ, что въ данномъ случаѣ будетъ $\max S_p$, если нагружены узлы между tt и вертикалью точки E ; $\min S_p$ будетъ происходить при нагрузкѣ всѣхъ прочихъ узловъ. Само собой понятно, что для получения этого результата, вполнѣ достаточно сдѣлать эскизъ линіи вліянія отъ руки *).

Мы можемъ рекомендовать читателю изслѣдовывать напряженіе діагонали, подымающейся влѣво, при слѣдующихъ предположеніяхъ:

- 1) Точка C лежитъ правѣ сѣченія tt , но ниже прямой BG . (Всѣ грузы лѣвѣ E вызываютъ растяженіе, всѣ грузы правѣ E —сжатіе).
- 2) С лежитъ лѣвѣ A и выше прямой GA . (Грузы лѣвѣ tt вызываютъ сжатіе, правѣ tt —растяженіе).

197. Упрощенія для особенно важнаго случая параболической арочной фермы. Если промежуточные стержни состоять изъ вертикалей и наклонныхъ діагоналей, фиг. 391, а узлы нижняго пояса, содержащаго средній шарниръ, лежать на параболѣ съ вертикальною осью, то веревочный многоугольникъ, проведенный черезъ три шарнира A, G, B , при *полнѣй распределенной нагрузкѣ* совпадаетъ вполнѣ съ нижнимъ поясомъ, потому что узловыя точки этого веревочного многоугольника принадлежать параболѣ, ось которой вертикальна и положеніе которой опредѣлено тѣми же тремя точками A, G, B .

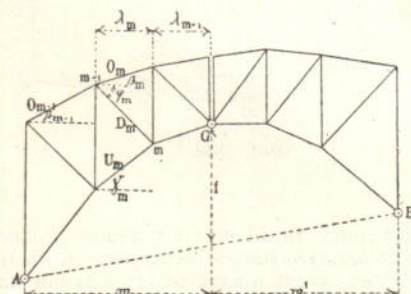
Отсюда слѣдуетъ, что моменты M_m для всѣхъ узловъ нижняго пояса равны нулю, а значитъ и всѣ напряженія O равны нулю; а такъ какъ для каждого верхняго узла должно быть удовлетворено равенство

$$D_m \cos \gamma_m = O_{m-1} \cos \beta_{m-1} - O_m \cos \beta_m.$$

то поэтому всѣ напряженія $D = 0$. Такимъ образомъ, вслѣдствіе полной равномѣрно распределенной нагрузкѣ напряжены только вертикали и стержни нижняго пояса. Вертикали сжаты соотвѣтствующими узловыми грузами, стержень же нижняго пояса получаетъ сжатіе:

$$U_m = -\frac{H}{\cos \gamma_m}, \text{ где } \gamma_m — \text{уголъ между рассматриваемымъ стер-}$$

* Мы предполагаемъ, что въ случаѣ равномѣрно-распределенной нагрузкѣ въ узлахъ будутъ приложены равныя силы (по № 60, фиг. 92. Выпускъ II); а въ такомъ случаѣ нѣть надобности въ определеніи точнаго положенія раздѣла нагрузкѣ въ панели F_1F_2 .



Фиг. 391.

жнемъ и горизонтомъ, H —горизонтальный распоръ. Если постоянная равнотрено распределенная нагрузка есть $g = g_0 + g_u$, то она вызываетъ напряженія:

$$(1) \quad V_{mg} = -\frac{I}{2} g_0 (\lambda_m + \lambda_{m+1}) \text{ и } U_{mg} = -\frac{gww'}{2f} \cdot \frac{I}{\cos \gamma_m}; \quad *)$$

полная же равнотрено распределенная временная нагрузка вызываетъ напряженія:

$$(2) \quad V_{n,p} = -\frac{I}{2} p (\lambda_m + \lambda_{m+1}) \text{ и } U_{np} = -\frac{pww'}{2f} \cdot \frac{I}{\cos \gamma_m}.$$

Но такъ какъ для каждого напряженія S въ любой фермѣ существуетъ уравненіе

$$(3) \quad S_p = \max S_p + \min S_p,$$

гдѣ S_p —напряженію отъ полной нагрузки p , а $\max S_p$ и $\min S_p$ означаютъ вліяніе нагрузки p , лежащей на положительномъ или отрицательномъ участкѣ, то для случая параболической арки (фиг. 391) получаемъ слѣдующія важныя равенства:

$$(4) \quad \begin{cases} \max V_{pm} + \min V_{pm} = -\frac{I}{2} p (\lambda_m + \lambda_{m+1}); \\ \max U_{pm} + \min U_{pm} = U_p = -\frac{pww'}{2f} \cdot \frac{I}{\cos \gamma_m}; \\ \max O_m + \min O_m = 0; \\ \max D_m + \min D_m = 0; \end{cases}$$

два послѣднія равенства не содержать указателя p , такъ какъ напряженія O и D отъ постоянной нагрузки = 0. Слѣдовательно, достаточно опредѣлить только одно изъ двухъ значеній V , U , O , D , зависящихъ отъ p ; другое значеніе опредѣлится по уравн. (4). Чтобы воспользоваться линіями вліянія достаточно будетъ прочертить только нѣкоторыя части ихъ. Такъ напримѣръ, для опредѣленія напряженія въ стержнѣ верхняго пояса (фиг. 388) достаточно ограничиться проведениемъ прямыхъ $J'G'$ и $G'B'$ помощью S' и N , такъ какъ этими прямыми вполнѣ опредѣлена положительная часть $NG'B'$ площади вліянія; слѣдовательно $\max S$ найдено; $\min S$ получаемъ изъ уравненія

$$\min S = -\max S.$$

Вместо линій вліянія можно воспользоваться и другимъ способомъ, также нагляднымъ и быстро ведущимъ къ цѣли. Этотъ способъ описанъ въ слѣдующемъ численномъ примѣрѣ.

198. Расчетъ пѣшеходнаго моста съ параболической аркой. Мостъ, показанный на фиг. 392, состоять изъ двухъ главныхъ фермъ; ширина моста 3,8 м. Верхній поясъ горизонталенъ; узлы нижняго пояса лежать на параболѣ. Пролетъ $l = 30$ м. $\lambda = 3$ м.; $f = 4$ м.; $h_0 = 5,25$ м. Собственный вѣсъ принятъ въ 194 кг. на

*) См. № 105; обѣ опредѣленіи H (Выпускъ II).

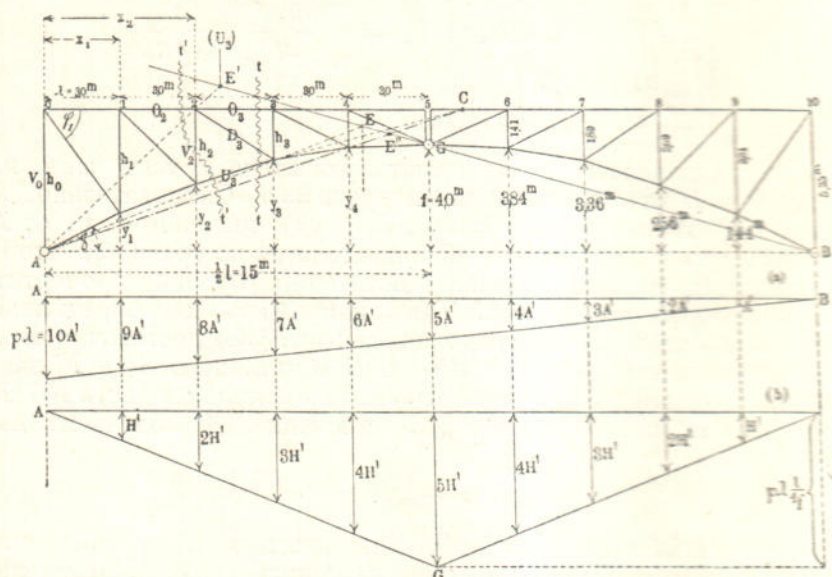
кв. метръ полотна *), постоянная нагрузка (толпа людей) въ 350 кг. на кв. м. **); следовательно, $g = 0,194 \cdot \frac{3,8}{2} = 0,37\text{т.}$; $p = 0,350 \cdot \frac{3,8}{2} = 0,665$ и $q = g + p = 1,035$ т. Подвижная нагрузка на одну панель: $\rho\lambda = 0,665 \cdot 3 = 2,0$ т. Раздѣленіе g на g_0 и g_u излишне.

Начнемъ съ опредѣленія опорныхъ сопротивлений A и H , которые вызываетъ грузъ $\rho\lambda$, приложенный по порядку къ узламъ 1, 2, 3 Если грузъ лежитъ надъ 9, то $A = A'$ и $H = H'$. Значенія A и H , соотвѣтствующія остальнымъ узламъ, опредѣляются линіей вліянія, фиг. 392, *a* и *b*. Въ данномъ примѣрѣ $A' = \frac{1}{10} \rho\lambda = 0,2$ т. и $H' = \frac{1}{5} \rho\lambda \frac{l}{4f} = \frac{1}{5} \cdot 2,0 \cdot \frac{30}{4 \cdot 4,0} = 0,75$ т.. (такъ какъ грузъ $P = \rho\lambda$, приложенный въ вершинѣ, вызываетъ распоръ $H = \frac{Pl}{4f} = \frac{\rho\lambda l}{4f}$).

Теперь составимъ по способу Кремона двѣ диаграммы напряженій (фиг. 393 и 394, листъ 6), вызываемыхъ дѣйствиемъ наиболѣшихъ силъ A' и H' , и опредѣлимъ въ то же время вліяніе постоянной нагрузки и подвижной нагрузки p , распределенной по всей фермѣ. На фиг. 393 длина горизонтали \overline{BC}_0 равна величинѣ горизонтального распора при дѣйствіи постоянной нагрузки:

$$H_g = \frac{gl^2}{8f} = \frac{0,37 \cdot 30^2}{8 \cdot 4} = 10,4 \text{ т.} \quad (\text{по масштабу силъ II})$$

на вертикали,



Фиг. 392.

*) Предполагается, что полотно состоять изъ досчатаго настила на жѣлѣзныхъ попечерныхъ фермахъ. По Heinzerling'у постоянная нагрузка на кв. метръ, полотна = 1,36/м. + 153 кг.; для данного примѣра: 1,36 · 30 + 153 = 194 кг. См. Heinzerling, Die Brücken der Gegenwart, Abth. I, Heft 5, стр. 22.

**) Для мостовъ съ небольшимъ движениемъ 350 кг., съ большимъ движениемъ до 450 кг.

проходящей черезъ точку C_0 , нанесены величины грузовъ $\frac{1}{2} g\lambda$, $g\lambda$, $g\lambda \dots$ и точки дѣленія C_4 , $C_5 \dots$ соединены съ точкой B .

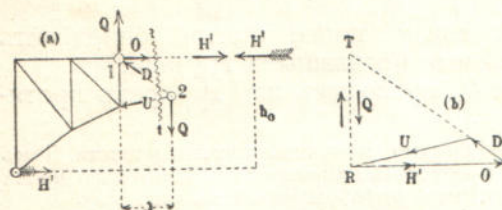
Такъ какъ мы можемъ разсматривать нижній поясъ, какъ ве-ревочный многоугольникъ для полной нагрузки, то получимъ:

$$\begin{array}{l|l} \text{отрѣзокъ } \overline{BC_1} = U_{1g} = -11,5 \text{ т.;} & \overline{BC_2} = U_{2g} = -11,1 \text{ т.;} \\ \overline{BC_3} = U_{3g} = -10,8 \text{ т.;} & \overline{BC_4} = U_{4g} = -10,5 \text{ т.;} \\ \overline{BC_5} = U_{5g} = -10,4 \text{ т.} & \end{array}$$

Подобнымъ же путемъ, зная, что $\overline{BE}_o = H_p = \frac{pl^2}{8f} = \frac{10\lambda \cdot l}{8f} = \frac{10 \cdot 2.0 \cdot 30}{8 \cdot 4} = 18,75$ т. (масштабъ силъ $10^{cm} = 20$ т.), найдемъ значения: $U_{1p} = -20,8$ т.; $U_{2p} = -20,0$ т.; $U_{3p} = -19,4$ т.; $U_{4p} = -18,9$ т.; $U_{5p} = -18,8$ т. *).

Діаграмма напряженій для $A' = 0,2$ т. (масштабъ I) не требуетъ разъясненій; надо обратить вниманіе на то, что (по № 160—Выпускъ IV) продолженія напряженій D , отсѣкали на вертикали, про-веденной черезъ точку B , отрѣзки A' .

Подобнымъ же путемъ провѣряется и діаграмма напряженій для состоянія нагрузки $H' = 0,75$ т., фиг. 394 (масштабъ I). При равныхъ панеляхъ продолженія всѣхъ D должны пересѣчься въ одной точкѣ T на вертикали, проходящей черезъ R , (на это впервые указалъ Mohr). Это получается изъ слѣдующихъ разсужденій.



Фиг. 395.

Приложимъ въ узлѣ 1, фиг. 395 а, двѣ взаимно-уничтожающіяся силы H' , такъ что лѣвѣ съченія tt будетъ дѣйствовать пара силъ, моментъ которой $= H'h_o$, и сила H' , приложенная къ узлу 1. Пару силъ можно замѣнить двумя вертикальными силами Q , равными и прямо

противоположно направленными, приложенными къ узламъ 1 и 2, моментъ которыхъ $Q\lambda$ равенъ моменту $H'h_o$, но противоположенъ по знаку. Составимъ теперь многоугольникъ силъ для узловъ 1 и 2, получимъ фиг. 395 б, которая представляетъ собой часть фигуры 394

*.) При этомъ способѣ получаемъ одновременно и величину, и направление напряженій U . Проводить линіи, параллельныя короткимъ стержнямъ рѣшетки, не рекомендуется. Округляя $g\lambda$ и H_g , не получимъ никакой ошибки, но при этомъ надо замѣтить (если $l = n\lambda$), что должно существовать отношеніе: $\overline{C_1C_0} : \overline{C_0B} = \frac{n-1}{2} g\lambda : \frac{gl^2}{8f} = \frac{(n-1)}{n^2} \frac{4f}{l}$. Въ данномъ случаѣ получаемъ: $\overline{C_1C_0} : \overline{C_0B} = \frac{9-1}{10^2} \frac{4}{3} = 0,48$. На фиг. 393 откладываемъ отрѣзокъ $\overline{BN} = 12,5^{cm}$, вертикальный отрѣзокъ $\overline{NL} = 0,48 \cdot 12,5 = 6,0^{cm}$, потомъ дѣлимъ NL на 9 равныхъ частей и изъ точекъ дѣленія проводимъ пучекъ лучей — напряженій U . Конечно, отрѣзки BN и NL не должны быть очень малыми.

и изъ которой узнаемъ, что продолженіе D отрѣзаетъ на вертикальной линіи, проходящей черезъ R , отрѣзокъ $Q = \frac{H'h_0}{\lambda} = \frac{0,75 \cdot 5,25}{3} = 1,3125$ т., одинаковый въ данномъ случаѣ для всѣхъ діагоналей.

Для напряженій, вызываемыхъ силами A' и H' , получимъ слѣдующія значенія *):

Стержни	Напряженія отъ		Стержни	Напряженія отъ	
	$A' = 0,2$	$H' = 0,75$		$A' = 0,2$	$H' = 0,75$
O_4	— 1,702	+ 2,043	U_5	+ 1,705	— 2,797
O_3	— 0,952	+ 1,333	U_4	+ 0,965	— 2,110
O_2	— 0,446	+ 0,714	U_3	+ 0,462	— 1,515
O_1	— 0,157	+ 0,283	U_2	+ 0,168	— 1,103
D_1	+ 0,255	— 0,458	V_0	— 0,200	+ 0,360
D_2	+ 0,388	— 0,578	V_1	— 0,259	+ 0,386
D_3	+ 0,598	— 0,732	V_2	— 0,319	+ 0,390
D_4	+ 0,828	— 0,784	V_3	— 0,352	+ 0,333
D_5	+ 0,756	— 0,387	V_4	— 0,291	+ 0,149

Помощью этихъ значеній можно также быстро опредѣлить предѣльныя напряженія, вызываемыя подвижными грузами.

Такъ напр., для отысканія O_3 проводимъ изъ A черезъ прости-

*). Эти значенія можно также быстро получить путемъ расчета. Такъ напр., для первого случая (вліяніе A) находимъ напряженія для верхняго пояса при помоши уравненій моментовъ по Риттеру (обозначенія на фиг. 392):

$$O_1 = -\frac{A'x_1}{h_1}; O_2 = -\frac{A'x_2}{h_2} \text{ и т. д.}$$

$$\text{потомъ: } U_1 = 0; U_2 = -\frac{O_1}{\cos\gamma_2}; U_3 = -\frac{O_2}{\cos\gamma_3}; \dots$$

$$\text{затѣмъ: } D_1 = \frac{(O_1 - O_2)}{\cos\gamma_1}; D_2 = \frac{(O_2 - O_3)}{\cos\gamma_2}; \dots$$

$$\text{и наконецъ: } V_0 = -D_1 \sin \varphi_1; V_1 = -D_2 \sin \varphi_2; \dots$$

Подобнымъ же путемъ можемъ расчитать и напряженія, вызванныя силой H' . Такимъ образомъ получимъ:

$$U_1 = -\frac{H'}{\cos\gamma_1}; U_2 = -\frac{H'h_0}{h_1 \cos\gamma_2}; U_3 = -\frac{H'h_0}{h_2 \cos\gamma_3}; \dots$$

$$O_1 = +\frac{H'h_0}{h_1} - H'; O_2 = +\frac{H'h_0}{h_2} - H'; \dots$$

а отсюда уже, какъ и раньше, можно опредѣлить значенія D и V . При неравныхъ панеляхъ вмѣсто состоянія нагрузки $A = A'$ и $H = H'$ надо изслѣдоватъ состоянія $A = 1$ и $H = 1$.

волжацій узель прямую и находимъ точку пересѣченія ея E съ прямой BG , фиг. 392.

Вертикаль, проведенная черезъ точку E , служить раздѣломъ нагрузки; всѣ грузы правѣе E вызываютъ положительное напряженіе O , всѣ грузы лѣвѣе E —отрицательное.

При нагрузкѣ узловъ 5, 6, 7, 8, 9 грузами $p\lambda$ *) получается $\max O_3$. Лѣвѣе E дѣйствуютъ только вѣшніи силы A и H ; первая равняется: $A = A' + 2A' + 3A' + 4A' + 5A' = 15A'$, послѣдня: $H = 15H'$. Такъ какъ сила A' вызываетъ напряженіе $O_3 = -0,952$, а сила H' —напряженіе $O_3 = +1,333$, то получимъ:

$$\max O_3 = -0,952 \cdot 15 + 1,333 \cdot 15 = +5,7 \text{ т.}$$

постоянная нагрузка не оказываетъ вліянія на напряженія O . Чтобы опредѣлить предѣльное значеніе U_{3p} , надо найти сначала точку пересѣченія E' (фиг. 392) прямой, проведенной изъ A черезъ верхній узель 2, съ прямой BG . Нагрузка правѣе E вызываетъ $\min U_{3p}$. Получимъ:

$$A = A'(1 + 2 + 3 + 4 + 5 + 6 + 7) = 28A' \text{ и}$$

$$H = H'(1 + 2 + 3 + 4 + 5 + 4 + 3) = 22H', \text{ а слѣдовательно:}$$

$$\min U_{3p} = +0,462 \cdot 28 - 1,515 \cdot 22 = -20,4 \text{ т. } **).$$

Если узель, противолежацій стержню U , лежитъ выше прямой BG , то напряженіе U , при полной нагрузкѣ фермы, будетъ наибольшимъ, какъ это видно изъ формы линии вліянія ***). Такимъ образомъ, принимая во вниманіе вліяніе постоянной нагрузки, получимъ, напр., для U_5 :

$$\min U_5 = U_{5p} + U_{5g} = -18,8 - 10,4 = -29,2 \text{ т.}$$

Точно также напряженіе U_1 получить наибольшее отрицательное значеніе при полной нагрузкѣ, такъ какъ для каждого состоянія нагрузки $U_1 = -\frac{H}{\cos \gamma_1}$.

Получимъ:

$$\min U_1 = -20,8 - 11,5 = -32,3 \text{ т.}$$

Для отысканія предѣльного значенія напряженія D_3 (независимаго отъ g) проводимъ изъ A черезъ точку пересѣченія C стержней O_3 и U_3 прямую, которая пересѣкаетъ прямую BG въ точкѣ E'' . Если точка E'' лежитъ, какъ показано на фиг. 392, выше G , то вертикаль точки E'' будетъ линіей раздѣла нагрузки; если E'' лежитъ лѣвѣе C , то сѣченіе, проведенное черезъ панель $\overline{2-3}$, будетъ служить также раздѣломъ нагрузки. $\max D$ получится тогда при нагрузкѣ только узловъ между tt и E'' ; въ данномъ случаѣ, будуть нагружены только узлы 3 и 4. Найдемъ: $A = (7 + 6)A' = 13A'$; $H = (3 + 4)H' = 7H'$ и

$$\max D_3 = +0,598 \cdot 13 - 0,732 \cdot 7 = +2,7 \text{ т.}$$

*) Мы разсчитываемъ по № 60 (Выпускъ II) при постоянныхъ значеніяхъ узловой нагрузки.

**) Рекомендуется всѣ линіи раздѣла нагрузкокъ нанести на отдельномъ чертежѣ (вычерченномъ не въ очень маломъ масштабѣ) и затѣмъ на этой же фигуру надписать—въ скобкахъ—соответствующія напряженія, какъ это сдѣлано напр. на фиг. 392 для U_3 .

***) На листахъ чертежей 6 и 7 построены линіи вліянія для всѣхъ напряженій рассматриваемой фермы.

Точка E , соотвѣтствующая стержнямъ D_1 и D_2 , лежить точно также выше G и лѣвѣе точки C . Стержнямъ же D_4 и D_5 соотвѣтствуетъ точка E , которая лежить ниже G . Для получения $\max D$ надо нагрузить всѣ узлы правѣе разсматриваемаго сѣченія. Если бы E лежала выше G , но правѣе C , что можетъ случиться, когда C находится ниже прямой BG , то линіей раздѣла нагрузки была бы вертикаль, проведенная черезъ E , (но не сѣченіе tt'). Тогда слѣдовало бы для опредѣленія $\min D$ нагрузить всѣ узлы правѣе E *).

Чтобъ получить предѣльное значеніе V_{2p} , проводимъ сѣченіе $t't'$ и соединяемъ точку пересѣченія O_2 и U_3 съ точкой A . Относительно взаимнаго положенія точекъ E , C , G надо различать тѣ же случаи, что и при опредѣленіи D . Въ данномъ примѣрѣ наибольшее сжатіе въ V_2 будетъ при нагрузкѣ узловъ 2, 3, 4 между tt' и E'' . Получимъ: $A = (8 + 7 + 6) A' = 21 A'$; $H = (2 + 3 + 4) H' = 9 H'$ и

$$\min V_{2p} = -0,319 \cdot 21 + 0,390 \cdot 9 = -3,2 \text{ т.}$$

Подобнымъ образомъ опредѣлимъ для каждого напряженія два предѣльныхъ значенія, зависящихъ отъ подвижной нагрузки, и составимъ слѣдующую таблицу:

	Нагружаемые узлы.	$\frac{A}{A'} =$	$\frac{H}{H'} =$	Напряженія въ тоннахъ.
$\max O_4$	5, 6, 7, 8, 9	15	15	$\max O_4 = +5,1$
$\max O_3$	5, 6, 7, 8, 9	15	15	$\max O_3 = +5,7$
$\max O_2$	4, 5, 6, 7, 8, 9	21	19	$\max O_2 = +4,2$
$\max O_1$	4, 5, 6, 7, 8, 9	21	19	$\max O_1 = +2,1$
$\min U_4$	4, 5, 6, 7, 8, 9	21	19	$\min U_4 = -19,8$
$\min U_3$	3, 4, 5, 6, 7, 8, 9	28	22	$\min U_3 = -20,4$
$\min U_2$	2, 3, 4, 5, 6, 7, 8, 9	36	24	$\min U_2 = -20,4$
$\max D_1$	1, 2, 3	24	6	$\max D_1 = +3,4$
$\max D_2$	2, 3, 4	21	9	$\max D_2 = +2,9$
$\max D_3$	3, 4	13	7	$\max D_3 = +2,7$
$\max D_4$	4, 5, 6, 7, 8, 9	21	9	$\max D_4 = +2,5$
$\max D_5$	5, 6, 7, 8, 9	15	15	$\max D_5 = +5,5$
$\min V_0$	0, 1, 2, 3 **)	29	6	$\min V_0 = -3,6$
$\min V_1$	1, 2, 3, 4	30	10	$\min V_1 = -3,9$
$\min V_2$	2, 3, 4	21	9	$\min V_2 = -3,2$
$\min V_3$	3, 4, 5, 6, 7, 8, 9	28	22	$\min V_3 = -2,5$
$\min V_4$	4, 5, 6, 7, 8, 9	21	19	$\min V_4 = -3,3$

*) Читателю рекомендуется прочертить самому эти линіи вліянія.

**) На узель O приходится $\frac{1}{2} p\lambda$, поэтому $A = \left(\frac{10}{2} + 9 + 8 + 7\right) A' = 29 A'$.

По уравненіямъ (4) получаемъ для всѣхъ напряженій O и U значенія:

$$\begin{aligned} \text{затѣмъ } & \max O = -\max O \text{ и } \min D = -\max D, \\ & \max U_{mp} = -\min U_{pm} + U_{pm}, \text{ слѣдовательно} \\ & \max U_{2p} = +20,4 - 20,0 = +0,4 \text{ т.} \\ & \max U_{p_3} = +20,4 - 19,4 = +1,0 \text{ т.} \\ & \max U_{p_4} = +19,8 - 18,9 = +0,9 \text{ т.} \\ & \text{и } \max V_{pm} = -\min V_{pm} - p\lambda, \text{ т. е.} \end{aligned}$$

$$\begin{array}{l|l} \max V_{p_1} = +3,9 - 2,0 = +1,9 \text{ т.} & \max V_{p_3} = +2,5 - 2,0 = +0,5 \text{ т.} \\ \max V_{p_2} = +3,2 - 2,0 = +1,2 \text{ т.} & \max V_{p_4} = +3,3 - 2,0 = +1,3 \text{ т.} \end{array}$$

Для крайнихъ вертикалей надо вставить $\frac{1}{2} p\lambda$ вместо $p\lambda$, почему получимъ:

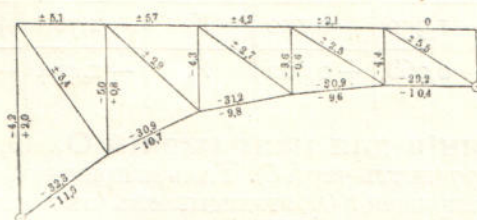
$$\max V_{0p} = +3,6 - 1,0 = +2,6 \text{ т.}$$

Если къ предѣльнымъ значеніямъ U_p и V_p прибавить еще напряженія U и V_g , зависящія отъ постоянной нагрузки, то получимъ окончательно: ($g\lambda = 1,1$ т.).

$$\begin{array}{l|l} \min U_2 = -19,8 - 11,1 = -30,9 \text{ т.} & \max U_2 = +0,4 - 11,1 = -10,7 \text{ т.} \\ \min U_3 = -20,4 - 10,8 = -31,2 \text{ т.} & \max U_3 = +1,0 - 10,8 = -9,8 \text{ т.} \\ \min U_4 = -20,4 - 10,5 = -30,9 \text{ т.} & \max U_4 = +0,9 - 10,5 = -9,6 \text{ т.} \\ \hline \min V_0 = -3,6 - \frac{1}{2} \cdot 1,1 = -4,2 \text{ т.} & \max V_0 = +2,6 - \frac{1}{2} \cdot 1,1 = +2,0 \text{ т.} \\ \min V_1 = -3,9 - 1,1 = -5,0 \text{ т.} & \max V_1 = +1,9 - 1,1 = +0,8 \text{ т.} \\ \min V_2 = -3,2 - 1,1 = -4,3 \text{ т.} & \max V_2 = +1,2 - 1,1 = 0 \text{ (приблизител.).} \\ \min V_3 = -2,5 - 1,1 = -3,6 \text{ т.} & \max V_3 = +0,5 - 1,1 = -0,6 \text{ т.} \\ \min V_4 = -3,2 - 1,1 = -4,4 \text{ т.} & \max V_4 = +1,3 - 1,1 = 0 \text{ (приблизител.).} \end{array}$$

Каждая изъ двухъ вертикалей около средняго шарнира сжимается силой $\frac{1}{2} q\lambda = 1,6$ т.

На слѣдующей фигурѣ ради наглядности всѣ напряженія вписаны на схемѣ моста.



Фиг. 396.

§ 49.

Численный примѣръ. Линіи вліянія для арочной фермы пролетомъ въ 30 метровъ.

Построимъ линіи вліянія для арочной фермы, фиг. 392, и воспользуемся ими для определенія напряженій при различнаго рода нагрузкѣ.

Сначала найдемъ напряженія S' и S_g . Первые, соотвѣтствующія состоянію нагрузки $A' = 1$, получаются изъ діаграммы напряженій фиг. 393, (листъ черт. 6). Если предположимъ, что $A' = 1$, то надо пользоваться масштабомъ II. Результаты видны изъ слѣдующей таблицы. Для полученія напряженій S_g отъ дѣйствія груза 1, приложенного къ вершинѣ, разложимъ опорное сопротивление на $A' = \frac{1}{2}$ и $H' = 1 - \frac{l}{4f} = 1 - \frac{30}{4 \cdot 4} = 1,875$ и опредѣлимъ вліяніе A' и H' отдельно. Долю напряженій S_g , зависящихъ отъ H' , получимъ изъ діаграммы напряженій, фиг. 394 (масштабъ III); если эту долю напряженій обозначить черезъ S_H , то получимъ: $S_g = \frac{1}{2} S' + S_H$.

Такимъ образомъ найдемъ:

Стержни.	S'	S_H	S_g	Стержни	S'	S_H	S_g
O_1	-0,787	+0,709	+0,315	U_2	+0,840	-2,758	-2,338
O_2	-2,230	+1,784	+0,669	U_3	+2,308	-3,787	-2,633
O_3	-4,762	+3,333	+0,952	U_4	+4,822	-5,275	-2,864
O_4	-8,511	+5,106	+0,851	U_5	+8,523	-6,991	-2,730
D_1	+1,273	-1,145	-0,509	V_0	-1,000	+0,900	+0,400
D_2	+1,938	-1,445	-0,476	V_1	-1,294	+0,965	+0,318
D_3	+2,992	-1,831	-0,335	V_2	-1,595	+0,976	+0,179
D_4	+4,142	-1,959	+0,112	V_3	-1,762	+0,833	-0,048
D_5	+3,780	-0,968	+0,922	V_4	-1,454	+0,372	-0,355

Линіи вліянія для напряженій O_1 , O_2 , O_3 , O_4 представлены на фиг. 397 (листъ черт. 6). Такъ напримѣръ, чтобы получить линію вліянія для напряженія O_2 , откладываемъ (въ масштабѣ 3,0=5 см.) отрѣзки: $\overline{A_2 J_2} = S' = -2,230$ и $\overline{G G'} = S_g = +0,669$ *), а затѣмъ уже проводимъ прямая I, II, III. Если не желаемъ опредѣлять S_g , то

*.) Достаточно ограничиться двумя десятичными знаками. Численные значения, выведенныя раньше, привѣрены авторомъ.

прямую I проводимъ послѣ опредѣленія точки J_2 помощью нулевой точки N_2 , лежащей подъ точкой E_2 . E_2 есть точка пересѣченія прямой, проходящей черезъ точку A и нижній узель 2, съ прямой $\bar{B}G$. Если же ни S_6 , ни S' не даются, то опредѣляемъ отрѣзокъ $\bar{R}\bar{T}=O''_2$, который отрѣзается пряммыми I и III на вертикали узла 1, при разложеніи силы = 1 по направленіямъ O_2 и D_2 , фиг. 397, f. Затѣмъ даемъ прямой I произвольное положеніе, фиг. 397, e, откладываемъ $\bar{R}\bar{T}=O''_2$; проводимъ прямую III, а по опредѣленіи нулевой точки N_2 проводимъ прямые A_2B_2 и II.

Послѣдній способъ цѣлесообразнѣе другихъ, но требуетъ очень точнаго чертежа, а именно точнаго опредѣленія точки N . Вообще же при опредѣленіи S' и SG получимъ достаточно точные чертежи, правильность которыхъ легко проверить, если опредѣлимъ точку N помощью точки E и отрѣзка $\bar{R}\bar{T}=O''$, получаемаго при разложеніи силы = 1.

Линіи вліянія для напряженій U_2 , U_5 , U_4 , U_5^{}**) построены на фиг. 398. При данныхъ значеніяхъ S' и S_6 прямая I линіи вліянія, напр., для напряженія U_3 опредѣлится помощью ординатъ $A_3J_3=S'=+2,308$ и $GG'=S_6=-2,633$. Вместо S_6 можно воспользоваться также нулевой точкой N_3 . Наконецъ можно опредѣлить отрѣзокъ $\bar{R}\bar{T}=U_3'''$, лежащий на вертикали узла 3, разлагая грузъ 1 по направленіямъ D_3 и U_3 , фиг. 398, e, и затѣмъ уже строимъ линію вліянія для U_3 помощью U_3''' и точки N_3 .

Точки E_5 и N_5 , соответствующія стержню U_5 , находятся лѣвѣ узла 4 верхняго пояса, который лежитъ выше линіи пересѣченія опорныхъ сопротивленій. Вслѣдствіе этого всѣ ординаты линіи вліянія для U_5 будутъ отрицательны.

Линіи вліянія для напряженій D и V въ промежуточныхъ стержняхъ построены на листѣ 7 чертежей. Опишемъ построеніе линіи вліянія для D_3 , фиг. 399, c. Откладываемъ $A_3\bar{J}_3=S'=+2,992$, $GG'=S_6=-0,335$ и проводимъ прямую I, которая пересѣкаетъ вертикаль, проведенную черезъ C_3 — точку пересѣченія стержней O_3 и U_3 , въ точкѣ C'_3 ; а этой точкой опредѣлится положеніе прямой II **). Теперь проводимъ прямые III и IV. Прямую I можно также провести при помощи точекъ J_3 и N_3 ; N_3 лежитъ на вертикали подъ E_3 — точкой пересѣченія прямыхъ $\bar{B}G$ и AC_3 . Кромѣ того легко получить отрѣзокъ $\bar{R}\bar{T}=D_3'''$, который отрѣзываютъ прямые I и II на вертикали, проведенной черезъ узель 3. Необходимо будетъ только разложить грузъ 1 по направленіямъ D_3 и O_3 , фиг. 399, f.

Но быстрѣе всего получимъ линію вліянія, если построимъ ее съ помощью отрѣзка D''' и точекъ E и C . Для этого прямую I про-

^{)} $U_1=-\frac{H}{\cos\gamma_1}$ для всякаго состоянія нагрузкы (если имѣемъ въ виду только вертикальную нагрузкы), а потому предѣльныя значенія U получаются изъ значеній H . О линіи вліянія для H говорилось уже въ № 103 (Выпускъ II). Предѣльныя напряженія H необходимы для расчета опоръ.

**) Цѣлесообразнѣе будетъ опредѣлить точку C расчетомъ. Растояніе точки C_3 отъ вертикали узла 2

$$=\lambda \frac{h_2}{h_2-h_3}=3,0 \frac{2,69}{2,69-1,89}=10,0875$$

водимъ произвольно, откладываемъ отрѣзокъ $\overline{R T} = D'''$, проводимъ прямую III, опредѣляемъ на прямой I точки C' и N , проводимъ черезъ C' и T прямую II и черезъ A и N прямую AB . Наконецъ проводимъ прямую IV. Но при этомъ способѣ мы предполагаемъ, что точки E и C имѣютъ удачное положеніе; въ разматриваемомъ примѣрѣ это условіе удовлетворено для всѣхъ промежуточныхъ стержней.

Для сравненія можно сослаться на примѣчаніе въ концѣ описанія линій вліянія для O^*).

Для построенія линіи вліянія для V_2 (фиг. 400, с) надо опредѣлить положеніе прямой I помошью значеній: $\overline{A_2 J_2} = S' = -1,595$ и $GG' = S_g = +0,179$ или посредствомъ S' и нулевой точки N , которая соотвѣтствуетъ въ данномъ случаѣ нулевой точкѣ N_3 на фиг. 399, с, потому что O_2 и U_3 пересѣкаются въ той же точкѣ C_3 , что и O_3 и U_3 . Затѣмъ проводимъ вертикаль черезъ точку C_3 до пересѣченія въ точкѣ C'_3 съ прямой I, потомъ проводимъ прямую II и наконецъ III и IV. Можно также опредѣлить отрѣзокъ $\overline{R T} = V_2'''$, отсѣкаемый пряммыми I и II на вертикалѣ узла 2, разлагая грузъ = 1 по направленіямъ O_2 и V_2 . Получаемъ $V_2''' = 1$.

Покажемъ теперь на нѣкоторыхъ примѣрахъ, какъ надо пользоваться построеннымъ линіями вліянія.

Вліяніе равномѣрно распределенной нагрузки. Отыщемъ предѣльныя значенія напряженій U_3 , предполагая, что $g = 0,37$ т., $p = 0,665$ т. и $q = g + p = 1,035$ т.

Если F_1 —есть величина отрицательной части площиади вліянія и F_2 —величина положительной части, то по правиламъ, выведеннымъ въ № 60 (уравн. 5 и 6—Выпускъ II), получимъ:

$$\max U_3 = qF_2 - gF_1 = qa \left(\frac{F_2}{a} - \frac{g}{q} \frac{F_1}{a} \right)$$

$$\min U_3 = gF_2 - qF_1 = qa \left(\frac{g}{q} \frac{F_2}{a} - \frac{F_1}{a} \right),$$

гдѣ a —означаетъ длину произвольного участка. Если обратить площиади F_1 и F_2 въ треугольники, основаніе которыхъ = a , и обозначить высоты этихъ треугольниковъ черезъ h_H и h_L , то получимъ:

$$(1) \quad \max U_3 = \frac{qa}{2} \left(h_H - \frac{g}{q} h_L \right); \quad \min U_3 = \frac{qa}{2} \left(\frac{g}{q} h_H - h_L \right).$$

Длину a надо такъ выбратьъ, чтобы величина $\frac{1}{2} qa$ выражалась удобнымъ числомъ **). Напримѣръ, если въ данномъ случаѣ вы-

*) Точка N_1 на фиг. 399, а имѣть то же положеніе, что и точка N_1 на фиг. 397, а.

**) Относительно выбора длины a надо также поставить условіемъ, чтобы при превращеніи площиадей не получались острыя пересѣченія. Иногда удобнѣе будетъ превратить очень маленькую площиадь въ треугольникъ съ основаніемъ $\frac{1}{n} a$, а затѣмъ уже придется раздѣлить высоту этого треугольника на n , гдѣ n произвольное цѣлое число.

брать $a = 19,324$ м. то получимъ $\frac{I}{2} qa = 10,000$ т. Построеніемъ находимъ величины $h_H = 0,12$; $h_L = 3,14$ и затѣмъ получимъ:

$$\max U_3 = 10 \left(0,12 - \frac{0,37}{1,035} \cdot 3,14 \right) = -10 \text{ т. (округляя).}$$

$$\min U_3 = 10 \left(\frac{0,37}{1,085} 0,12 - 3,14 \right) = -31 \text{ т. *}).$$

На фиг. 398 *b* показаны вспомогательные линії для определенія h_L : $B_3K = a$, затѣмъ $G'S$ проведено горизонтально, $N_3H \parallel KS$ и наконецъ $B_3H = h_L$.

Чтобы избѣгнуть умноженія на $\frac{I}{2} qa$, можно замѣнить при вычерчиваніи линій вліянія грузъ g , передвигающійся по фермѣ, грузомъ $\frac{I}{2} qa$. Тогда для какого нибудь напряженія S получимъ предѣльныя значенія:

$$\max S = h_H - \frac{g}{q} h_L \text{ и } \min S = \frac{g}{p} h_H - h_L.$$

Покажемъ другой способъ отысканія предѣльныхъ напряженій V_2 ; этотъ способъ быть примѣненъ въ № 60 (Выпускъ II) для случая равныхъ панелей. Чтобы получить $\max V_2$, нагружаютъ каждый узель положительного участка грузомъ $g\lambda = 1,035 \cdot 3,0 = 3,11$ т., а каждый узель отрицательного участка грузомъ $g\lambda = 0,37 \cdot 3,0 = 1,11$ т. Сумма ординатъ, соответствующая первымъ узламъ, по фиг. 400 с, равняется: $\Sigma_2 = \eta_1 + \eta_5 + \eta_6 + \eta_7 + \eta_8 + \eta_9 = 0,59$, а сумма ординатъ подъ остальными узлами равна: $\Sigma_1 = \eta_2 + \eta_3 + \eta_4 = 1,59$, откуда (по уравн. 7 въ № 60 — Выпускъ II).

$$\max V_2 = 3,11 \cdot 0,59 - 1,11 \cdot 1,59 = +0,1 \text{ т.},$$

а перемѣнивъ грузъ $g\lambda$ на $g\lambda$:

$$\min V_2 = 1,11 \cdot 0,59 - 3,11 \cdot 1,59 = -4,3 \text{ т. **}).$$

Если подвижная нагрузка состоитъ изъ ряда колесъ поѣзда, а постоянная нагрузка равнотѣрно распределена, то вліяніе послѣдней можно представить вышеописаннымъ способомъ въ формѣ $\frac{I}{2} ga (h_H - h_L)$ или $g\lambda [\Sigma_2 - \Sigma_1]$. При превращеніи площадей основаніе a надо такъ выбратьъ, чтобы получился удобный множитель $\frac{I}{2} ga$.

*) См. численный примѣръ въ № 198.

**) Для данной параболической арки, при полной нагрузкѣ p , должно получиться: $V_p = -p\lambda$. Въ дѣйствительности имѣемъ: $V_p = p\lambda [\Sigma_2 - \Sigma_1] = -p\lambda$. Напряженія O и D при полной нагрузкѣ должны быть $= 0$, такъ напримѣръ, для фиг. 399 с должно быть: $\eta_1 + \eta_2 + \eta_5 + \eta_6 + \eta_7 + \eta_8 + \eta_9 = \eta_3 + \eta_4$.

Вліяніе сосредоточенныхъ грузовъ. Разстоянія между осями и нагрузка на ось указаны въ № 61 (Выпускъ II). Мостъ предполагается въ одинъ путь съ двумя главными фермами. На мосту умѣщаются только паровозъ и тендеръ. Давленіе на колесо $L = \frac{1}{2} 13$ т., (паровозъ) и $T = \frac{1}{2} 9$ т. (тендеръ).

Отыщемъ предѣльные значения U_4 , фиг. 398, с — листъ 6. Для получения $\min U_4$ надо поставить поѣздъ на отрицательномъ участкѣ такъ, чтобы самые тяжелые грузы стояли вблизи G , а одинъ изъ тяжелыхъ грузовъ надъ G . Затѣмъ вычислимъ значение $\max U_{4p} = L\Sigma\eta_L + T\Sigma\eta_T$. Самое опасное положеніе поѣзда находимъ попытками. Если линія вліянія для какого нибудь участка — прямая линія, то грузы, лежащіе на протяженіи этого участка, могутъ быть соединены въ одну равнодѣйствующую. На чертежѣ показано самое опасное положеніе поѣзда; сумма соотвѣтствующихъ грузамъ L пяти ординатъ (измѣренныхъ циркулемъ) = 8,33. Ордината подъ среднею осью тендера $\eta = 1,55$; эту ось считаемъ въ 27 т. Такимъ образомъ получаемъ:

$$\min U_{4p} = -\frac{1}{2} [13 \cdot 8,33 + 27 \cdot 1,55] = -75,1 \text{ т.}$$

Подобнымъ же образомъ находимъ при загрузкѣ положительного участка:

$$\max U_{4p} = +\frac{1}{2} \cdot 39 \cdot 0,18 + \frac{1}{2} \cdot 9 \cdot 0,07 = +3,8 \text{ т.}$$

Надо еще отыскать предѣльные значения D_2 . Положительный участокъ здѣсь настолько коротокъ, что, при установкѣ локомотива съ тендеромъ, большая часть послѣдняго лежить по другой сторону точки раздѣла нагрузки. Для положенія поѣзда, показанного на фиг. 399 b, имѣемъ:

$$\max D_3 = \frac{1}{2} \cdot 13 \cdot 2,22 - \frac{1}{2} \cdot 27 \cdot 0,14 = +14,43 - 1,89 = +12,6 \text{ т.}$$

Если не принимать во вниманіе тендера, то получимъ $\max D_3 = +14,4$ т. Не смотря на то, что это напряженіе соотвѣтствуетъ не вѣроятному положенію нагрузки, однако рекомендуется рассматриваемой диагонали дать нѣсколько большее сѣченіе. Во всякомъ случаѣ на значеніе $\max D_3 = +12,6$ т. надо смотрѣть какъ на наименьшее, если только мы не принимаемъ во вниманіе дѣйствіе болѣе короткихъ поѣздовъ. Очень можетъ случиться, что танкъ-паровозъ можетъ вызвать большее напряженіе *).

Отрицательный участокъ линіи вліянія для D_2 состоить изъ двухъ частей. Предположимъ, что нагруженъ только одинъ участокъ **), фиг. 399 b, тогда получимъ:

$$\min D_2 = -\frac{1}{2} (39 \cdot 0,43 + 27 \cdot 0,21 + 13 \cdot 0,04) = -11,5 \text{ т.}$$

*) См. № 89 — Выпускъ II.

**) По постановленію нашего Министерства Путей Сообщенія можно дѣлать разрывы въ поѣздахъ (пустые вагоны).

ОТДѢЛЪ XII.

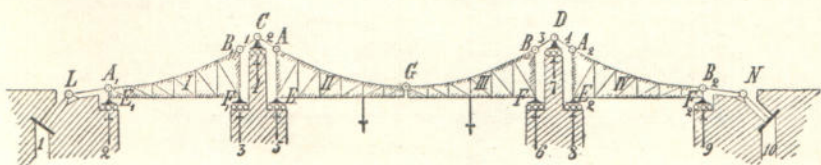
Статически опредѣльмые висячіе мосты и шарнирныя арки, усиленные балкой.

§ 50.

Висячіе мосты съ простыми рѣшетчатыми фермами.

а) Изслѣдованіе висячаго моста, представленнаго на Фиг. 401.

199. Разсматриваемая ферма состоитъ изъ 4-хъ подвижныхъ рѣшетчатыхъ частей I, II, III и IV, лежащихъ на подвижныхъ опорахъ. Эти рѣшетки соединены между собой стержнями B_1C , CA , BD и DA_2 . Опорныя точки C и D лежать на одной горизонтали. Въ точкахъ A_1 и B_2 прикреплены удерживающія цѣпи A_1L и B_2N , напряженія которыхъ причисляются къ сопротивленіямъ опоръ. Ферма удовлетворяетъ условіямъ статической опредѣлимости и жесткости, (см. № 150, Выпускъ III).



Фиг. 401.

Это условіе выражается уравненіемъ

$$(1) \quad 2(g' + 2g'' + 3g''' + \dots + ng^n) + r + a = 3s + 2k,$$

гдѣ:

$a = 10$, число неизвѣстныхъ опорныхъ сопротивлений
(6 опоръ + 2 на башняхъ + 2 удержив. цѣпи),

$r = 4$, число стержней (у вершинъ башенъ),

$s = 4$, число жесткихъ частей (I, II, III, IV),

$k = 2$, число узловыхъ точекъ на башняхъ,

$g' = 1$, число среднихъ шарнировъ.

Сложныхъ шарнировъ нѣтъ, поэтому получаемъ:

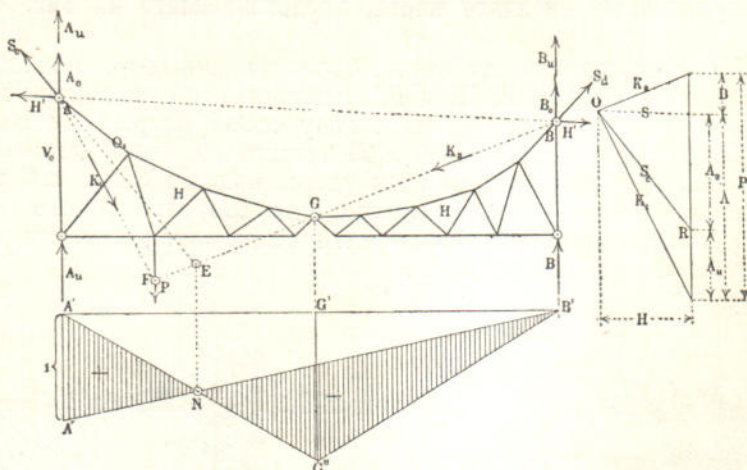
$$2g' + r + a = \frac{2 + 4 + 10}{16} = \frac{3s + 2k}{16} = \frac{3 \cdot 4 + 2 \cdot 2}{16}$$

т. е. ферма статически опредѣлена.

Дальнѣйшее изслѣдованіе покажетъ, что дѣйствительно можно опредѣлить всѣ неизвѣстныя сопротивленія.

Предположимъ, что всѣ стержни жестки и всѣ подвижны опоры скрѣплены съ башнями. Это необходимо на тотъ случай, если, напримѣръ на часть II дѣйствуетъ горизонтальная сила, направленная влѣво; тогда стержни AC , CB_1 и A_1L сжаты и при C вызывается отрицательное сопротивленіе опоры (сверху внизъ). Въ дѣйствительности же всѣ эти стержни дѣлаются какъ растянуты, а опоры на башняхъ не укрѣпляются, но это потому, что растяженія въ упомянутыхъ стержняхъ и положительные сопротивленія опоръ значительно больше другихъ, вслѣдствіе того, что собственный вѣсъ сильнѣе вліяетъ, чѣмъ другія внѣшнія силы.

200. Изслѣдованіе средняго пролета. Выяснимъ только дѣйствіе вертикальныхъ грузовъ и изслѣдуемъ вліяніе со средоточенного груза P , дѣйствующаго на средний пролѣтъ. При



Фиг. 402.

этомъ разсмотримъ общий случай, когда точки A и B лежать на разныхъ высотахъ, фиг. 402. Напряженія S_e и S_d *) въ точкахъ A

*) Ради краткости обозначимъ напряженія въ стержняхъ LA_1 , B_1C , CA , BD — по порядку S_a , S_b , S_c , S_d .

и B разложимъ на вертикальныя составляющія A_o и B_o и на составляющія, по направлению замыкающей стороны AB , равная и прямо противоположная H' . Вертикальныя сопротивленія опоръ частей II и III — A_u и B_u перенесемъ въ точки A и B ; тогда получимъ:

$$\begin{aligned} A &= A_o + A_u \\ \text{и } B &= B_o + B_u. \end{aligned}$$

Теперь часть фермы AGB можно рассматривать какъ перевернутую рѣшетчатую трехшарнирную арку. Всѣ напряженія опредѣляются какъ для трехшарнирной арки, перемѣнивъ во всѣхъ напряженіяхъ знаки; а потому здѣсь примѣнимы всѣ выводы и результаты § 24 — отдельъ X. Только при расчетѣ напряженія V_o въ конечной вертикали силу A_u переносить нельзя. Напряженіе S_e опредѣлится, зная, что горизонтальная проекція этой силы равняется H ; строимъ для узла A многоугольникъ силъ, тогда и получимъ величину V . Если S_e совпадаетъ съ направлениемъ O_1 (фиг. 403), то $V_o = 0$. Крайнюю вертикалъ тогда можно выпустить *).

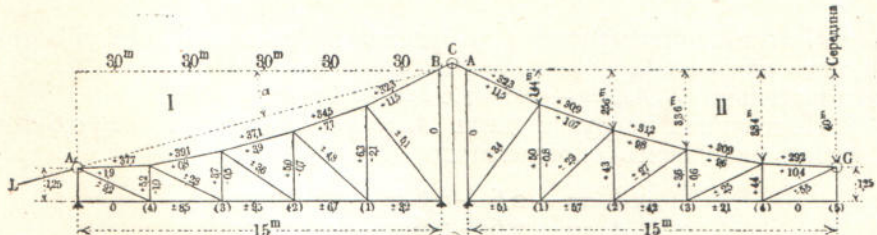
Если средній пролетъ не будетъ нагруженъ, то всѣ напряженія его частей исчезаютъ. Грузы, дѣйствующіе на части I и IV (фиг. 401), не оказываютъ никакого влиянія на напряженія части фермы AGB ; они не вызываютъ также никакихъ напряженій въ стержняхъ CA , BD , B_1C , DA_2 , LA_1 , A_2N , а потому эти части I и IV могутъ рассматриваться какъ простыя фермы.

Численный примѣръ.

Фиг. 403 представляетъ половину главной фермы пѣшеходнаго моста. Данныя нагрузки взяты изъ предыдущаго примѣра (№ 198).

$$\left. \begin{array}{l} g = 0,37 \text{ тон.} \\ p = 0,665 \text{ "} \\ q = 1,035 \text{ "} \end{array} \right\} \text{на пог. метръ.}$$

Средній пролетъ имѣеть тѣ же размѣры, что и арочная ферма на фиг. 392. Напряженія въ частяхъ средняго пролета опредѣлены



Фиг. 403.

*.) Если рассматривать часть фермы AGB какъ перевернутую трехшарнирную арку, то въ фиг. 401 надо удалить опоры частей II и III, а среднюю линию между конечными вертикалями частей II и I надо провести черезъ C ; эти стержни можно помѣстить въ пустотахъ башенъ. Опора C попрежнему двигается въ горизонтальномъ направлении.

какъ для перевернутой арки, фиг. 39б, причемъ перемѣнены всѣ знаки и V_o положено равнымъ о. Для отысканія предѣльныхъ значеній сопротивленія опоры A_u (фиг. 402) строимъ линію вліянія для A_u .

$A_u = A - A_o$, гдѣ A сопротивленіе опоры простой балки AB , а A_o — также какъ и напряженіе S_c — пропорционально горизонтальному напряженію H . Линія вліянія для A_o состоить (также какъ и линія для H) изъ двухъ прямыхъ $A'G''$ и $G''B'$, точка пересеченія которыхъ G'' соотвѣтствуетъ шарниру, а потому заштрихованная площадь фиг. 402, (гдѣ прямая $B'A''$ означаетъ линію вліянія для A), есть искомая площадь вліянія для A_u ; она опредѣлится легко, если только будетъ дано положеніе нулевой точки N (точка раздѣла нагрузки). Чтобъ опредѣлить положеніе точки N , выяснимъ вліяніе груза P , дѣйствующаго лѣвѣ G , фиг. 402. Прямая BG пересѣкаетъ направлениѳ груза въ точкѣ F . Разложимъ P на $K_2 \parallel BG$ и на $K_1 \parallel AF$ и проведемъ въ многоугольникѣ силъ лучъ $S \parallel AB$; затѣмъ разложимъ P на A и B . Если проведемъ еще лучъ $OR \parallel S_c$, то прямая OR дастъ величину напряженія для S_c , а точка R раздѣлить A на A_o и A_u . Если прямая AF совпадаетъ съ направленіемъ S_c , и значитъ направление груза P проходитъ черезъ точку пересеченія линій S_c и BG , то получимъ $A_u = 0$; а отсюда слѣдуетъ, что нулевая точка N лежитъ на вертикали точки E . Въ настоящемъ примѣрѣ точка E лежитъ въ четвертой панели. Опредѣлимъ теперь $\max A_u$ и $\min A_u$, принимая во вниманіе законы, выведенные для параболической арки и ссылаясь на расчеты, произведенныѳ въ № 198. Для полученія $\min A_{up}$ (отъ подвижной нагрузки — знакъ p) надо нагрузить правую часть, т. е. узлы 4 до 9, на каждый узель по $p\lambda$.

Тогда получимъ (по № 198):

$$\begin{aligned} A &= 21 \quad A' = 21 \cdot 0,2 = 4,2 \text{ т.} \\ H &= 19 \quad H' = 19 \cdot 0,75 = 14,75 \text{ т.} \end{aligned}$$

Но $A_o = Htg\gamma$, и $A_u = A - A_o = A - Htg\gamma_1$ (гдѣ γ_1 — уголъ наклоненія части CA), поэтому имѣемъ:

$$\min A_{up} = 4,2 - 14,75 \cdot \frac{1,44}{3,00} = -2,6 \text{ тоннъ.}$$

При полной нагрузкѣ p ^{*)} будемъ имѣть $A_{up} = \frac{1}{2} p\lambda = 1,0$ тон.; но такъ какъ $\max A_{up} + \min A_{up} = A_{up}$, слѣдовательно $\max A_{up} = +2,6 + 1,0 = +3,6$ тон.

Постоянная нагрузка даетъ $A_{ug} = \frac{1}{2} g\lambda = \frac{1}{2} \cdot 0,37 \cdot 3,0 = 0,6$ тон., и затѣмъ получаемъ окончательно;

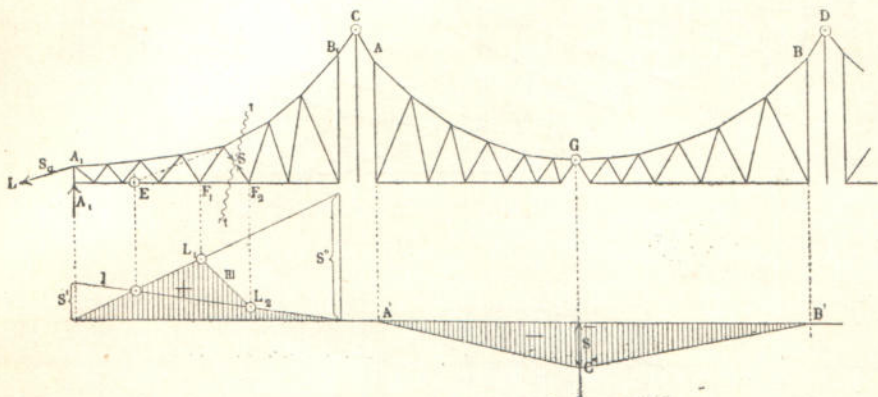
$$\begin{aligned} \min A_u &= -2,6 + 0,6 = -2,0 \text{ тонны.} \\ \text{и } \max A_u &= +3,6 + 0,6 = +4,2 \text{ тон. } **). \end{aligned}$$

Такъ какъ $\min A_u$ отрицательно, то рассматриваемая опора должна быть прикреплена къ быку.

^{*)} Веревочный многоугольникъ совпадаетъ съ верхнимъ поясомъ.

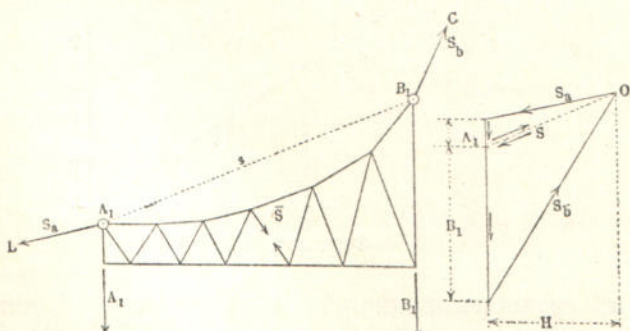
^{**)} Для арки (фиг. 39б) получаются тѣ же самыя значения для конечныхъ вертикалей, но только съ другими знаками.

201. Изслѣдованіе бокового пролета. Если грузы дѣйствуютъ только между A_1 и B_1 , то часть фермы A_1B_1 разсматривается, какъ простая балка, и линіи вліянія для нея строятся по общимъ правиламъ (§ 37—Выпускъ IV). Для построенія линіи вліянія для напряженія S (фиг. 404) опредѣляютъ сначала напряженіе S' для случая, когда $A_1 = 1$, находя точку пересѣченія E двухъ другихъ стержней данного съченія tt (См. № 169—Выпускъ IV). Линія вліянія для этого случая состоитъ изъ трехъ прямыхъ. Если E находится лѣвѣ A_1 , то раздѣль нагружки получается въ данной панели. Если E лежитъ между A_1 и B_1 , то всѣ грузы, находящіеся



Фиг. 404.

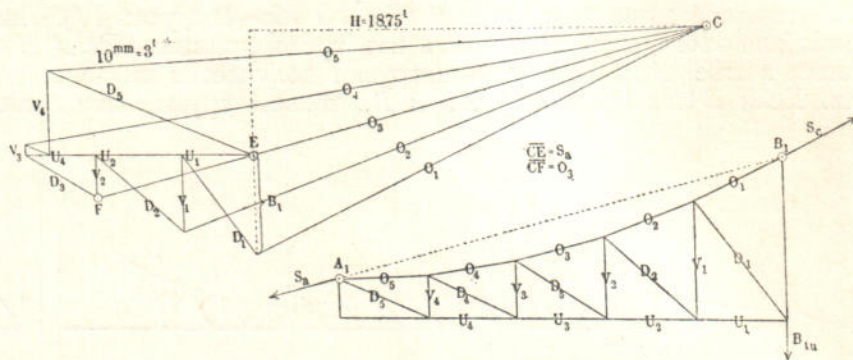
между A_1 и B_1 , дѣйствуютъ на рассматриваемый стержень въ одномъ и томъ же направленіи. Какъ поступать въ случаѣ неблагоприятнаго положенія точки E и какъ получить болѣе точное построеніе, было сказано раньше въ № 187. Опредѣлимъ еще вліяніе неподвижной нагрузки, находящейся на среднемъ пролѣтѣ. Опредѣливъ горизонтальное напряженіе H , вызываемое этой нагрузкой, найдемъ напряженія S_b и S_a (фиг. 405) на основаніи того условія, что для равновѣсія горизонтальная проекція каждой изъ этихъ силъ должна равняться H .



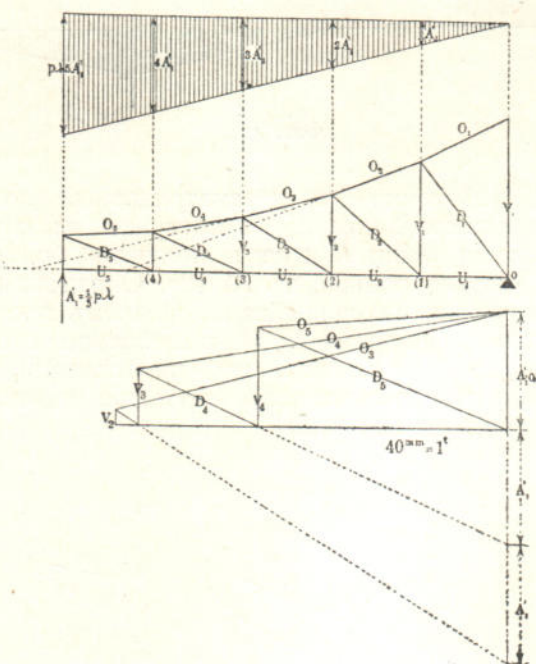
Фиг. 405.

Если разсматривать LA_1B_1C какъ веревочный многоугольникъ при полюсномъ разстояніи H , и въ многоугольникѣ силъ про-

вести черезъ O линію s , параллельную A_1B_1 , то получимъ для фиг. 405—величину и направление силъ A_1 и B_1 . Если направление S_a со-впадаетъ съ прямой A_1B_1 , какъ показано на фиг. 403, то получаемъ $A_1 = o$. Предположимъ, что сила H , на фиг. 405, представляетъ горизонтальное напряженіе, происходящее отъ груза=1, при-



Фиг. 406.



Фиг. 407.

ложеннаго въ среднемъ шарнирѣ, а въ стержнѣ S , для котораго ищемъ линію вліянія, появляется напряженіе \bar{S} , происходящее отъ дѣйствующихъ на часть I силъ S_a , S_b , A_1 , B_1 (которыя всѣ пропорциональны H). Тогда треугольникъ $A'C''B'$ (фиг. 404), вершина котораго соотвѣтствуетъ шарниру G , а высота равняется $GG' = \bar{S}$, представляетъ искомую часть площади вліянія, лежащую вправо

отъ B_1 . Теперь уже легко найти предѣльныя значенія искомаго напряженія *). Описанный способъ годится и для поясовъ, и для промежуточныхъ стержней. Напряженія \bar{S}' и S цѣлесообразнѣе опредѣлять по способу Cremona.

Численный примѣръ.

Возьмемъ ту же самую ферму, фиг. 403, при тѣхъ же условіяхъ нагрузки, ($g = 0,37^T$, $p = 0,665^T$). Причемъ нѣкоторыя вычислениія можно упростить, такъ какъ узлы верхняго пояса частей I и II лежать на параболахъ, вертикальныя оси которыхъ проходятъ черезъ точки A и G . Раньше всего опредѣлимъ тѣ напряженія S_M , которыя происходятъ въ стержняхъ бокового пролета при нагрузкѣ всего средняго пролета p единицами на пог. метръ. Въ лѣвомъ концѣ фермы дѣйствуетъ одна вѣнчанская сила S_a , направленная отъ B_1 къ A , фиг. 406, горизонтальная проекція которой $H_p = \frac{pl^2}{8f} = 18,75$ тонн. По способу Cremona строимъ діаграмму напряженій S_M , фиг. 406. Эти напряженія выписываемъ въ таблицу. Въ эту же самую таблицу впишемъ напряженія S_A , измѣренныя по діаграммѣ, фиг. 407, для того случая, когда на лѣвомъ концѣ дѣйствуетъ только сопротивленіе опоры $A' = \frac{1}{5} p\lambda = \frac{1}{5} \cdot 2,0 = 0,4$ тонны, производимое грузомъ $p\lambda$,—дѣйствующимъ въ узлѣ I **).

Стержни	S_M	S_A	Стержни	S_M	S_A
O_1	20,8	—	U_1	—3,2	—
O_2	23,4	—	U_2	—6,7	—
O_3	26,3	—	U_3	—9,5	—
O_4	28,6	—	U_4	—8,5	—
O_5	27,3	—	U_5	0	—
D_1	+ 5,1	—	V_1	—3,2	—
D_2	+ 4,8	—	V_2	—1,8	—0,04
D_3	+ 3,35	+ 0,08	V_3	Растяжение	—0,20
D_4	Сжатіе	+ 0,47	V_4	Растяжение	—0,35
D_5	Сжатіе	+ 0,92	—	—	—
въ тоннахъ.			въ тоннахъ.		

*) Для случая на фиг. 404 даны — S' — положительно, \bar{S} — отрицательно. Грузы, дѣйствующіе на часть IV (фиг. 404), не оказываютъ никакого вліянія на часть I.

**) Для діагоналей измѣряемъ только положительныя значенія напряженій S_M , а для вертикалей — только отрицательныя. Напряженія S_A опредѣляютъ только для тѣхъ стержней, для которыхъ соответствующая точка E (фиг. 404) лежитъ лѣвѣе точки A_1 . Такъ какъ O_2 и U_2 , а также O_1 и U_1 пересѣкаются

При полной нагрузкѣ средняго и боковыхъ пролетовъ стержни нижняго пояса и діагонали не испытываютъ напряженій, потому что многоугольникъ силъ совпадаетъ съ верхнимъ поясомъ, въ частяхъ котораго произойдутъ слѣдующія напряженія:

$$\begin{aligned} O_{1p} &= +20,8 \text{ тон.} \\ O_{2p} &= +20,0 \quad " \\ O_{3p} &= +19,4 \quad " \\ O_{4p} &= +18,9 \quad " \\ O_{5p} &= +18,8 \quad ", \quad *) \end{aligned}$$

въ вертикаляхъ напряженія будуть равны:

$$\begin{aligned} V_{0p} &= 0 \\ V_{1p} = V_{2p} = V_{3p} = V_{4p} &= p\lambda = 2,0 \text{ тонны} \\ V_{5p} &= -A_{1p}. \end{aligned}$$

Постоянная нагрузка вызываетъ напряженія:

$$O_{mg} = \frac{H_g}{\cos \beta_m}, \quad (\text{ср. значения } U_g \text{ по } \text{№ 198}).$$

Поэтому имѣемъ:

$$\begin{aligned} O_{1g} &= +11,5 \text{ тоннъ} \\ O_{2g} &= +11,1 \quad " \\ O_{3g} &= +10,8 \quad " \\ O_{4g} &= +10,5 \quad " \\ O_{5g} &= +10,4 \quad " \end{aligned}$$

$$V_{0g} = 0; \quad V_{1g} = V_{2g} = V_{3g} = V_{4g} = g\lambda; \quad V_{5g} = -A_{1g}.$$

Постоянная нагрузка не влияетъ на напряженія D и U . Теперь перейдемъ къ отысканию предѣльныхъ значений напряженій.

1. Нижній поясъ. Въ произвольномъ стержнѣ U будетъ наибольшее сжатіе или наибольшее растяженіе, смотря по тому, нагруженъ средний или разматриваемый боковой пролетъ.

Такъ какъ $U_g = 0$, то будемъ имѣть:

$$\max U = -\min U.$$

Напряженіе $\min U$ равно напряженію S_A , опредѣленному при нагрузкѣ средняго пролета (см. таблицу).

правѣе точки A_1 , то S_A опредѣляемъ только для стержней $D_5, D_4, D_3, V_4, V_3, V_2$. При неравныхъ панеляхъ изслѣдуется только положеніе $A_1 = 1$; положеніе же $A_1 = A'_1$ изслѣдоватъ нѣтъ надобности.

*) $O_{mp} = \frac{H_p}{\cos \beta_m}$, гдѣ β_m уголъ наклоненія O_m . O_{mp} имѣеть значение равное, но противоположное по знаку съ U_{mp} , опредѣленному въ № 198.

Слѣдовательно получимъ:

$$\begin{array}{ll} \max_{\min} \left\{ \begin{array}{l} U_1 = \pm 3,2 \text{ тонны}; \\ U_2 = \pm 6,7 \quad " \end{array} \right. & \max_{\min} \left\{ \begin{array}{l} U_3 = \pm 9,5 \text{ тонны} \\ U_4 = \pm 8,5 \quad " \end{array} \right. \\ \text{и } U_5 = 0. \end{array}$$

2. Верхній поясъ. Если нагрузить средній пролетъ p единицами, то получимъ

$$\max O_p = S_g;$$

если же эту нагрузку p распределить на боковомъ пролетѣ, то получимъ $\min O_p$. Слѣдовательно, при полной нагрузкѣ обоихъ пролетовъ получимъ

$$\begin{aligned} \min O_p + \max O_p &= O_p, \text{ откуда} \\ \min O_p &= -S_g + O_p. \end{aligned}$$

Если же принять во вниманіе дѣйствіе постоянной нагрузки, то получимъ

$$\max O_p = S_g + O_g \text{ и } \min O_p = -S_g + O_p + O_g.$$

Такимъ образомъ найдемъ значенія:

$$\begin{array}{ll} \max O_1 = +20,8 + 11,5 = +32,3 \text{ тонны} \\ \max O_2 = +23,4 + 11,1 = +34,5 \quad " \\ \max O_3 = +26,3 + 10,8 = +37,1 \quad " \\ \max O_4 = +28,6 + 10,5 = +39,1 \quad " \\ \max O_5 = +27,3 + 10,4 = +37,7 \quad " \\ \min O_1 = -20,8 + 20,8 + 11,5 = +11,5 \text{ тонны} \\ \min O_2 = -23,4 + 20,0 + 11,1 = +7,7 \quad " \\ \min O_3 = -26,3 + 19,4 + 10,8 = +3,9 \quad " \\ \min O_4 = -28,6 + 18,9 + 10,5 = +0,8 \quad " \\ \min O_5 = -27,3 + 18,8 + 10,4 = +1,9 \quad " \end{array}$$

Верхній поясъ растянуть, слѣдовательно, онъ можетъ быть сдѣланъ изъ полость. Для удерживающей цѣпи $A_1 L$ (фиг. 403), наклоненной къ горизонту подъ угломъ $= \alpha$, получимъ:

$$\max S_a = \left(\frac{H_g + H_p}{\cos \alpha} \right) = (10,4 + 18,75) 1,035 = +30,2 \text{ тон.}$$

$$\min S_a = \frac{H_g}{\cos \alpha} = 10,4 \cdot 1,035 = +10,8 \text{ тон.}$$

3. Діагонали. Такъ какъ точка пересѣченія O_1 и U_1 , а также O_2 и U_2 , лежитъ правѣе A_1 , то грузы, лежащіе на боковомъ пролетѣ, вызываютъ въ діагоналяхъ D_1 и D_2 напряженія одного и

того же знака. Нагрузка одного средняго пролета вызываетъ напряженія (такъ какъ $D_g = 0$):

$$\max D_1 = S_M = +5,1 \text{ тон. и } \max D_2 = +4,8 \text{ тон.}$$

Нагрузка же бокового пролета даетъ (такъ какъ $\min D = -\max D$):

$$\min D_1 = -5,1 \text{ тон. и } \min D_2 = -4,8 \text{ тоннъ.}$$

Въ остальныхъ диагоналяхъ грузы, лежащіе на боковомъ пролетѣ, вызываютъ растяженіе или сжатіе, смотря по тому, где находится нагрузка — правѣе или лѣвѣе разсматриваемой диагонали. Такъ какъ значение S_M для диагонали D_3 положительно, то $\max D_3$ получится, если въ каждомъ изъ узловъ 2 и 1 находится нагрузка p и кромѣ того будетъ нагруженъ весь средній пролетъ. Грузы p въ узлахъ 2 и 1 даютъ:

$$A_1 = A_1' + 2A_1' = 3A_1' \text{ (см. фиг. 407)} \\ \text{и } D_3 = 3S_A = 3 \cdot 0,08 = 0,24 \text{ тонны.}$$

Отсюда имѣемъ

$$\max D_3 = 0,24 + S_M = 0,24 + 3,35 = +3,6 \text{ тон.} = -\min D_3.$$

Въ D_3 и D_5 нагрузка средняго пролета вызываетъ сжатіе. Чтобы получить $\max D_4$ нагружаютъ только узлы 1, 2, 3, а чтобы получить $\max D_5$ нагружаютъ только узлы 1, 2, 3, 4. Въ первомъ случаѣ имѣемъ:

$$A_1 = A_1' (1+2+3) = 6A_1'; \\ \max D_4 = 6 \cdot 0,47 = 2,8 \text{ тон.} = -\min D_4.$$

Во второмъ случаѣ найдемъ:

$$A_1 = A_1' (1+2+3+4) = 10A_1'; \\ \max D_5 = 10 \cdot 0,920 = +9,2 \text{ тон.} = -\min D_5.$$

4. Вертикали. Каждый грузъ, находящійся на боковомъ пролетѣ вызываетъ въ вертинали V_1 растяженіе, такъ какъ точка пересеченія O_2 и U_1 лежить правѣе A_1 . Слѣдовательно, если нагружить только средній пролетъ p тоннами на пог. метръ, то получимъ

$$\min V_{1p} = S_M;$$

если же нагрузка p будетъ только на боковомъ пролетѣ, то получимъ

$$\max V_{1p} = -S_M + V_p \text{ *)}.$$

Такъ какъ $V_g = g\lambda = 1,11$, то получимъ:

$$\min V_1 = S_M + g\lambda = -3,2 + 1,1 = -2,1 \text{ тон.}; \\ \max V_1 = -S_M + p\lambda + g\lambda = +3,2 + 2,0 + 1,1 = +6,3 \text{ тон.}$$

*) $\max V_p + \min V_p$ равно напряженію V_p , происходящему при полной нагрузкѣ обоихъ пролетовъ.

Нагрузка узловъ 2, 3, 4 вызываетъ въ вертикали V_2 растяжение, такъ какъ точка пересѣченія O_3 и U_2 лежитъ лѣвѣ A_1 .

Чтобъ получить $\min V_{2p}$, надо, такъ какъ S_M отрицательно, расположить нагрузку p на всемъ среднемъ пролетѣ и кромѣ того въ узлѣ 1 помѣстить $p\lambda$. Послѣдняя нагрузка вызываетъ $A_1 = A'_1$, а такъ какъ

$$\begin{aligned} V_{2p} &= S_A = -0,04, \text{ то получимъ} \\ \min V_{2p} &= S_M + S_A = -1,8 - 0,04 = -1,84 \text{ тон.} \end{aligned}$$

Затѣмъ имѣемъ:

$$\begin{aligned} \min V_2 &= -1,84 + g\lambda = -1,84 + 1,11 = -0,7 \text{ тон.} \\ \max V_2 &= +1,84 + p\lambda + g\lambda = +1,84 + 2,0 + 1,11 = +5,0 \text{ тон.} \end{aligned}$$

Въ вертикаляхъ V_2 и V_4 при нагрузкѣ средняго пролета проходятъ растяженія.

Найдемъ $\min V_{p_3}$ и V_{p_4} , нагрузивъ сначала по $p\lambda$ узлы 1, 2, а затѣмъ 1, 2 и 3. Въ первомъ случаѣ получаемъ:

$$\begin{aligned} A_1 &= A'_1 (1+2) = 3A'_1; \\ \min V_{p_3} &= 3S_A = -3 \cdot 0,20 = -0,60 \text{ тон.} \\ \min V_3 &= -0,60 + g\lambda = +0,5 \text{ тон.} \\ \max V_3 &= +0,60 + p\lambda + g\lambda = +3,7 \text{ тон.}; \end{aligned}$$

во второмъ случаѣ находимъ:

$$\begin{aligned} A_1 &= A'_1 (1+2+3) = 6A'_1; \quad \min V_{p_4} = 6S_A = -6 \cdot 0,35 = -2,10 \text{ тон.} \\ \min V_4 &= 2,10 + g\lambda = -1,0 \text{ тон.} \\ \max V_4 &= +2,10 + p\lambda + g\lambda = +5,2 \text{ тон.} \end{aligned}$$

Полученные напряженія вписаны въ фиг. 403. Найдемъ еще предѣльныя значенія сопротивленій опоръ B_1 и A_1 бокового пролета. При полной нагрузкѣ бокового пролета, $p = 0,665$ т. на ног. метръ, (средний пролетъ оставляемъ ненагруженнымъ), получимъ:

$$\max B_{1p} = \frac{1}{2} \cdot 0,665 \cdot 15 = 4,99 \text{ тон.}$$

Полная же нагрузка одного средняго пролета даетъ $\min B_{1p}$ — наибольшее отрицательное сопротивленіе (что опредѣлено раньше диаграммой на фиг. 406). Опредѣлимъ $\min B_{1p}$ уравненіемъ:

$$\min B_{1p} + \max B_{1p} = p \frac{\lambda}{2} = 1,0 \text{ тон.}$$

Теперь найдемъ:

$$\min B_{1p} = -4,99 + 1,00 = -3,99 \text{ тон.}$$

Постоянная нагрузка даетъ:

$$B_{1g} = \frac{1}{2} g\lambda = \frac{1}{2} \cdot 1,11 = 0,56 \text{ тон.};$$

Выпускъ V.

наконецъ получимъ:

$$\max B_1 = 4,99 + 0,56 = + 5,5 \text{ тон.}; \quad \min B_1 = - 3,99 + 0,56 = - 3,4 \text{ тон.}$$

Такъ какъ $\min B_1$ отрицательно, то при B_1 надо устроить отрицательную опору, т. е. укрѣпить ее съ быкомъ.

Въ опорѣ A_1 при полной нагрузкѣ бокового пролета ($p = 0,665$ т.) получается сопротивленіе $A_{1p} = \frac{1}{2} \cdot 0,665 \cdot 15 = 4,99$ тон.; полная же нагрузка средняго пролета даетъ $A_1 = 0$. Постоянная нагрузка $g = 0,37$ тон. даетъ

$$A_{1g} = \frac{1}{2} \cdot 0,57 \cdot 15 = 2,77 \text{ тон.};$$

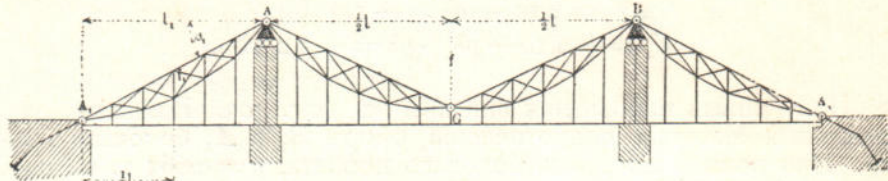
окончательно получимъ:

$$A_1 = 4,99 + 2,77 = + 7,8 \text{ тонн.}$$

Сопротивленіе опоры A_1 всегда положительно.

b) Висячія фермы съ жесткой цѣпью и со среднимъ шарниромъ, фиг. 408 *).

202. Висячая ферма съ жесткой цѣпью (въ формѣ рыбовидныхъ фермъ) и со среднимъ шарниромъ, фиг. 408, имѣть опорные шарниры A и B на горизонтальной линіи; она можетъ быть изслѣдована тѣмъ же способомъ, какъ и раньше изслѣдованная ферма, представленная на фиг. 401. Средняя часть есть ничто иное, какъ перевернутая трехшарнирная арка, а боко-



Фиг. 408.

вые пролеты, при дѣйствіи проходящихъ по нимъ грузовъ, могутъ разсматриваться, какъ простыя балки, напряженныя кромѣ того, вслѣдствіе нагрузкѣ средняго пролета, силами, приложенными въ точкахъ A_1 и A и направленными по линіи AA_1 . Такъ какъ верхній поясъ прямой, то можно ввести нѣкоторыя упрощенія.

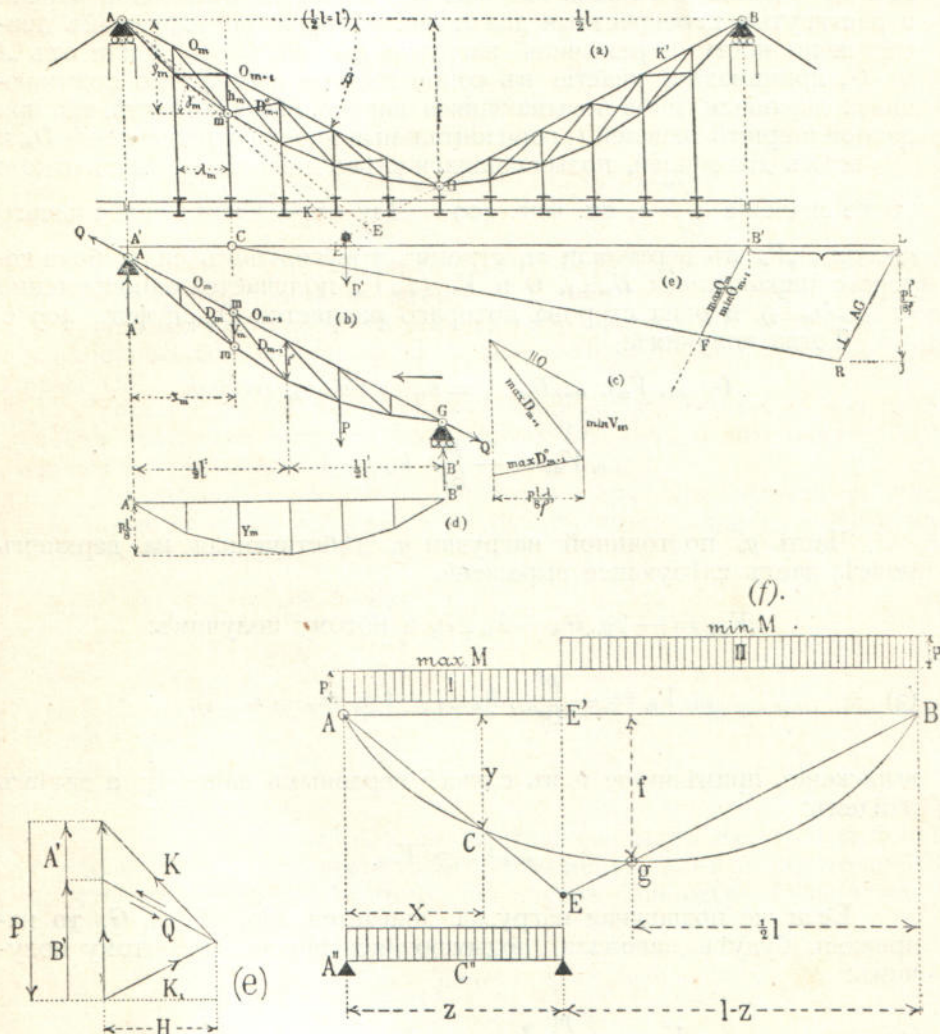
Сопротивленія въ точкахъ A и G можно разложить на силы A' , B' и Q , фиг. 409 b, по способу, изложенному въ № 196.

Для этого проводимъ прямую k' черезъ точки BG до пересѣченія съ направленіемъ силы P' и соединяемъ точку E' съ A . Затѣмъ строимъ многоугольникъ силъ, фиг. 409 e, разлагая P' на два направленія k и k' ; наконецъ проводимъ въ многоугольникъ силъ прямую параллельную AG ; получимъ величины A' , B' и Q . Теперь

*) Подобное очертаніе имѣть висячій мостъ черезъ Monongahela около Pittsburgh'a; только въ немъ вмѣсто боковыхъ рыбовидныхъ фермъ проведены прямолинейныя удерживающія цѣпи.

опредѣлимъ напряженія частей U , D и V по способу Риттера, моментами, и увидимъ, что всѣ эти напряженія не зависятъ отъ Q , такъ какъ всѣ точки вращенія лежать на прямой AG . Слѣдовательно, при опредѣленіи напряженій U , D и V часть фермы AG можетъ быть разсматриваема, какъ простая балка.

Поэтому, если постоянная и перемѣнная нагрузка распределены равномѣрно, а узлы нижняго пояса лежать на параболѣ съ вертикальной осью, то при принятыхъ на фиг. 409 a , b , обозначеніяхъ имѣемъ:



Фиг. 409 a, b, c, d, e, f *).

$$y_m = \frac{4fx_m(l - x_m)}{l^2} \text{ и } h_m = \frac{4f'x_m(l' - x_m)}{l'^2}; f' = \frac{1}{4}f^{**}$$

* Фиг. 409, e и f добавлены переводчиками.

**) Если при $x = \frac{1}{2}l'$ неѣть вертикали, то f' означаетъ вертикальную ординату описанной параболы, см. также фиг. 277 (Выпускъ IV).

Затѣмъ получимъ:

$$(1) \quad \max U_m = \frac{q l'^2}{8 f' \cos \gamma_m} = \frac{q l^2}{8 f' \cos \gamma_m} \text{ **).}$$

$$(2) \quad \max D_m = \frac{p l'}{8 f'} d_m, \text{ **).}$$

гдѣ d_m — длина діагонали. На фиг. 409 показаны въ каждой панели 2 растянутыя перекрестныя діагонали. Смотря по тому, какъ движется по мосту перемѣнная нагрузка (p) оть G къ A или оть A къ G , принимаютъ участіе въ сопротивлениі либо влѣво подымающіяся діагонали, либо подымающіяся вправо. Надо замѣтить, что при равной ширинѣ панелей λ , горизонтальная проекція напряженій D_m и D^0_m вѣхъ діагоналей, подымающихся влѣво и вправо, имѣютъ одно и то же значеніе $\frac{p l'}{8 f'} \lambda$, см. фиг. 409 с. Для опредѣленія наибольшаго сжатія $\min V_m$ въ вертикали m , строимъ треугольникъ силъ, бока которого параллельны D_{m+1} , O и V_m ($\min V_m$ получается одновременно съ $\max D_{m+1}$), и одна сторона которого равняется D_{m+1} ; фиг. 409 с.

Тогда получимъ:

$$(-\min V_m): \max D_{m+1} = h_{m+1} : d_{m+1}, \text{ откуда}$$

$$\min V_{mp} = -\frac{p l'}{8 f'} h_{m+1}.$$

Часть g_o постоянной нагрузки g , дѣйствующая на верхнемъ поясе, даетъ слѣдующее выраженіе

$$V_{mg} = -\frac{1}{2} g_o (\lambda_m + \lambda_{m+1}), \text{ а потому получимъ:}$$

$$(3) \quad \min V_m = -\frac{p l'}{8 f'} \cdot h_{m+1} = \frac{1}{2} g_o (\lambda_m + \lambda_{m+1}),$$

выраженіе, примѣнимое и въ случаѣ неравныхъ панелей; а затѣмъ найдемъ:

$$\max V_m = V_{mg}.$$

Если же подвижная нагрузка движется оть A къ G , то напряженія будутъ діагонали, подымающіяся вправо, а потому получимъ:

$$(4) \quad \min V_m = -\frac{p l'}{8 f'} h_{m+1} = \frac{1}{2} g_o (\lambda_m + \lambda_{m+1}).$$

Изъ двухъ значеній (3) и (4) надо выбратьъ большее. Итакъ для вертикалей лѣвѣе f' имѣетъ значеніе уравненіе (3), а для другихъ —

**) Для нижняго пояса $\frac{\min U}{\max U} = \frac{g}{q}$; см. § 39 (Выпускъ IV).

**) Выраженія (1) и (2) получаются по способу Риттера.

уравнение (4). Если начертимъ многоугольникъ *), вершины которого лежать на параболѣ со стрѣлкой $\frac{pl'}{8}$ (фиг. 409 d), а узловыя точки отвѣчаютъ узловымъ точкамъ фермы AG , то ордината Y_m этого многоугольника будетъ равняться $= \frac{pl'}{8f} h_m$, и, слѣдовательно, для вертикали, лежащей лѣвѣе l' , будемъ имѣть выраженіе:

$$(5) \quad \min V_m = - Y_{m+1} - \frac{l}{2} g_o (\lambda_m + \lambda_{m+1}),$$

а для діагонали, лежащей правѣе f' ,

$$(6) \quad \min V_m = - Y_{m-1} - \frac{l}{2} g_o (\lambda_m + \lambda_{m-1}).$$

Уравненія (1) до (6) можно примѣнить также и для боковыхъ пролетовъ, подставивъ въ нихъ l_1 и f_1 вмѣсто l' и f' , фиг. 408 **).

Перейдемъ теперь къ опредѣленію напряженій O въ случаѣ параболического нижняго пояса и, раньше всего, разсмотримъ средній пролетъ.

Точка E , въ которой прямая, проходящая черезъ A и черезъ нижній узель m , встрѣчаетъ прямую BG , есть точка раздѣла нагрузки для момента M_m .

Опредѣлимъ $\min M_m$ ***). Для этого обратимся сначала къ фиг. 409 f. Когда точка E раздѣла нагрузки опредѣлена, то получаемъ слѣдующія отношенія:

$$\frac{z}{x} = \frac{EE'}{y}; \quad \frac{EE'}{l-z} = \frac{2f}{l}, \text{ а отсюда слѣдуетъ:}$$

$$z = \frac{l^2}{3l - 2x}, \text{ замѣнивъ, конечно, } y \text{ равнымъ ему выраженіемъ: } y = \frac{4fx(l-x)}{l^2}.$$

Если нагружена только положительная часть AE , то для точки C параболы мы получимъ такой же моментъ, какъ и для точки C'' простой балки $A''E''$; поэтому для случая равномѣрной нагрузки p имѣемъ:

$$\max M = \frac{px(z-x)}{2} = \frac{px(l^2 - 3lx + 2x^2)}{2(3l - 2x)} = - \min M.$$

*) Многоугольникъ на фиг. 409 d можно рассматривать какъ веревочный многоугольникъ, который начертенъ для узловыхъ грузовъ равномѣрно нагруженной балки $A''B''$ при полусномъ разстояніи l' .

**) f_1 — есть высота рыбовидной фермы при $x = \frac{l}{2} l_1$. Если въ этомъ мѣстѣ неѣтъ узла, то высота f_1 берется до описанной параболы.

***) Принимаемъ во вниманіе уравн. (9), см. № 114 (Выпускъ II).

Теперь перейдемъ къ фиг. 409 а, б, с и на основаніи этого уравненія напишемъ, что подвижная нагрузка отъ B до E дастъ:

$$(7) \quad \min M_m = -\frac{px_m(l^2 - 3lx_m + 2x_m^2)}{2(3l - 2x_m)}.$$

Такъ какъ теперь напряжены діагонали, подымающіяся влѣво, то получимъ:

$$\max O_m = -\frac{M_m}{h_m} \cdot \frac{1}{\cos\beta} = +\frac{px_m(l^2 - 3lx_m + 2x_m^2)}{2(3l - 2x_m)h_m} \cdot \frac{1}{\cos\beta}.$$

Если въ этомъ выраженіи замѣнить

$$h_m = \frac{4f'x_m(l' - x_m)}{l'^2} = \frac{2fx_m(l - 2x_m)}{l^2},$$

то получимъ:

$$(8) \quad \max O_m = \frac{pl^2}{8f} \cdot \frac{1}{\cos\beta} \cdot \frac{l - x_m}{1,5 l - x_m}.$$

Теперь легко построить $\max O_m$. Откладываемъ по горизонтальной прямой $A'B'$ отрѣзокъ $B'L = \frac{1}{2}l$ *), по вертикали B отрѣзокъ $LJ = \frac{pl^2}{8f}$, проводимъ $JR \parallel A'B'$ и $LR \perp AG$ и сразу получаемъ $LR = \frac{pl^2}{8f} \cdot \frac{1}{\cos\beta}$. Если теперь точку C , находящуюся подъ точкой m , соединить съ R прямой CR , то эта прямая отрѣжетъ на линіи, проведенной изъ B' параллельно LR , отрѣзокъ $B'F = LR \cdot \frac{l - x_m}{1,5 l - x_m} = \max O_m$.

Если временная нагрузка p находится на положительномъ участкѣ AE , то получаемъ $\max M_m$, который отличается отъ опредѣленного уравненіемъ (7) $\min M_m$ только знакомъ, потому что полная нагрузка средняго пролета даетъ $M_m = 0$. Въ этомъ случаѣ напряжены діагонали, подымающіяся вправо, а потому имѣемъ:

$$\min O_{m+1} = -\frac{M_m}{h_m} \cdot \frac{1}{\cos\beta} = -\max O_m.$$

Въ первой панели (а также и въ сосѣдней съ точкой G) имѣемъ $\min O_1 = -\max O_1$.

При отыскываніи напряженія O для бокового пролета будемъ помнить, что полная нагрузка одного бокового пролета вызываетъ въ верхнемъ поясѣ наибольшее сжатіе, тогда какъ полная нагрузка средняго пролета вызываетъ наибольшія растяженія.

*) На фиг. 409 начерчено $B'L$ меньше $\frac{1}{2}l$, за недостаткомъ места.

Въ первомъ случаѣ получимъ въ каждомъ стержнѣ пояса A_1A , фиг. 408:

$$(9) \quad \min O_p = -\frac{pl_1^2}{8f_1} \cdot \frac{1}{\cos\beta_1} \text{ (по § 39, Выпускъ IV),}$$

а во второмъ случаѣ:

$$(10) \quad \max O_p = +\frac{pl^2}{8f} \cdot \frac{1}{\cos\beta_1} \left(\text{Потому что } H_p = \frac{pl^2}{8f} \right).$$

Постоянная нагрузка вызываетъ напряженія

$$(11) \quad O_g = \frac{g}{8 \cos\beta_1} \left(\frac{l^2}{f} - \frac{l_1^2}{f_1} \right).$$

Если взято $f_1 = f \cdot \frac{l_1^2}{l^2}$ (напр., если $l_1 = l' = \frac{1}{2} l$, и $f_1 = \frac{1}{4} f = f'$), то получимъ:

$$O_g = 0 \text{ и}$$

$$(12) \quad \max O = \frac{pl^2}{8f} \cdot \frac{1}{\cos\beta_1} = -\min O^*.$$

§ 51.

Цѣпь, усиленная балкой.

а) Однопролетный висячій мостъ съ жесткой шарнирной балкой ***).

203. Введеніе. Цѣпь, состоящая изъ прямыхъ стержней соединенныхъ шарнирами, въ узлахъ которой приложены силы Z_1, Z_2, Z_3, \dots , принимаетъ форму веревочного многоугольника, построенного для этихъ силъ. Если величина и положеніе всѣхъ силъ Z даны, то для построенія веревочного многоугольника необходимо еще задать три точки его (обыкновенно задаются двѣ опорныя точки R и T и одна точка W вблизи вершины, фиг. 411), потому что чрезъ три точки можно провести только одинъ веревочный многоугольникъ ***).

*) Условіе $f_1 : f = l_1^2 : l^2$ должно быть удовлетворено также и для верхнихъ, описанныхъ по параболѣ, поясовъ висячей фермы, фиг. 403, если, въ случаѣ неравенства частей I и II, всѣ напряженія U и D , при полной нагрузкѣ, должны быть равны нулю.

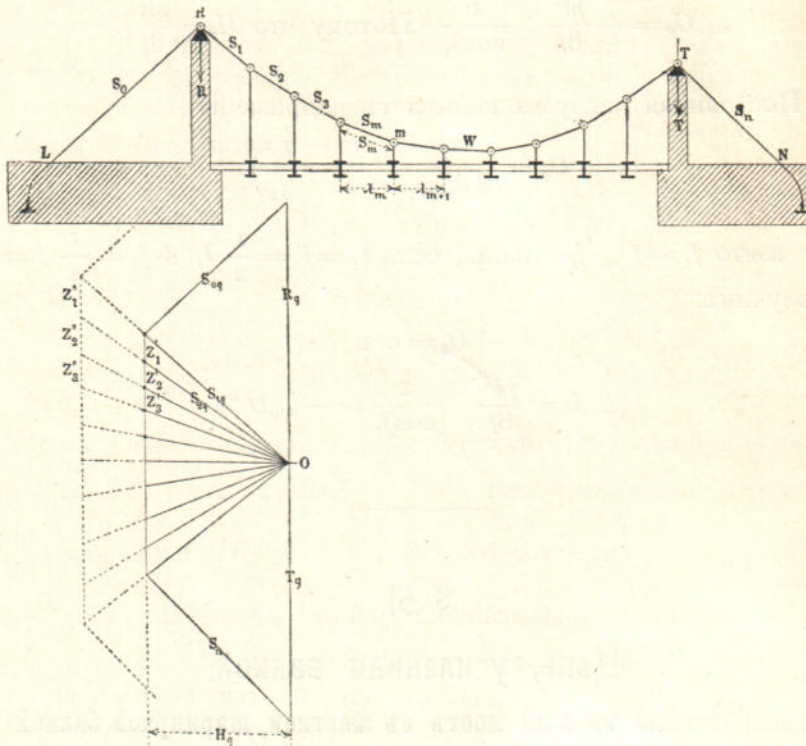
**) Подробные изслѣдованія однопролетного висячаго моста съ жесткой балкой, усиленной по серединѣ см. Г. Г. Кривошеинъ и А. А. Саткевичъ, "Висячій мостъ со среднимъ шарниромъ, статически опредѣлимая система". Отдѣльный оттискъ Инженернаго журнала за 1895 г. № 1—4. СПБ.

Примѣчаніе переводчиковъ.

***) Задача о проведениіи веревочного многоугольника для данныхъ силъ черезъ 3 точки решена въ № 98 (Выпускъ II); см. также № 129 (Выпускъ III).

Съ перемѣнной нагрузки мѣняется вообще и форма цѣпи.

Изслѣдуемъ цѣпной мостъ, изображеный на фиг. 410. *RWT* есть главная цѣпь, *RL* и *TN*—удерживающая цѣпь; на вершинахъ башень *R* и *T* помѣщены горизонтальные катки съ цѣлью, чтобы нагрузка на башняхъ была вертикальна. (Фиг. 411). Вертикальные стержни несутъ поперечные фермы, между которыми расположены продольные фермы, а сверху полотно.



Фиг. 410.

Положимъ, что подвижной нагрузки нѣтъ. Тогда напряженіе въ m -омъ подвѣсномъ стержнѣ будетъ:

$$Z_{mg} = \frac{1}{2} g_f (\lambda_m + \lambda_{m+1}) + G_{mh},$$

гдѣ g_f —вѣсь единицы длины полотна (вмѣстѣ съ продольными и поперечными фермами), а G_{mh} —вѣсь m -аго подвѣсного стержня; въ узлѣ же m цѣпи будетъ нагрузка

$$Z'_{m} = Z_{mg} + G_{mk},$$

если буквой G_{mk} названъ вѣсь половины стержней s_m и s_{m+1} . Вѣса G_{mh} и G_{mk} зависятъ отъ неизвѣстной пока формы цѣпи; чтобы определить эту форму быстро и точно, предполагаютъ сначала, что вся постоянная нагрузка распределена равномерно по горизонтальной проекціи моста, и тогда, при помощи полученной цѣпной линіи,

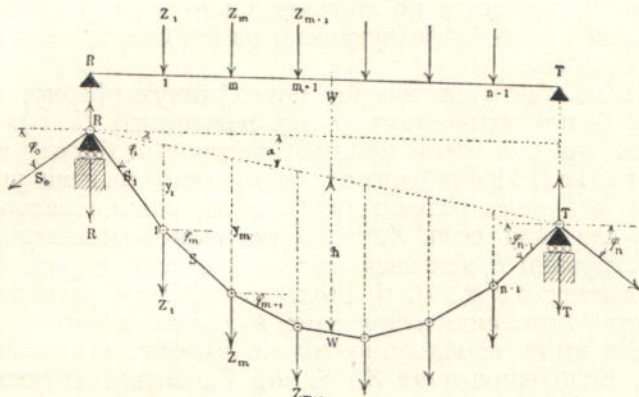
узлы которой лежать на параболѣ, расчитываются вѣсъ G_{mh} и G_{mk} . Какъ велика должна быть при этомъ постоянная нагрузка, совершенно безразлично, потому что парабола, проходящая черезъ три данные точки, останется безъ измѣненія.

Если же теперь вычертить настоящую цѣпную линію, то она будетъ такъ мало отличаться отъ параболы, что новаго расчета величинъ G_{mh} и G_{mk} не потребуется.

Одновременно съ формой цѣпи находимъ и напряженія въ ея звеньяхъ и въ удерживающихъ цѣпяхъ, которыя обозначимъ

$$S_{0g}, S_{1g}, S_{2g} \dots S_{(n-1)g}, S_{ng}$$

(фиг. 410 б), затѣмъ давленія на башняхъ обозначимъ R , и T_g и горизонтальное напряженіе H_g .



Фиг. 411.

Ординаты y_1, y_2, y_3, \dots , взятые отъ замыкающей линіи RT цѣпной линіи, находящейся подъ дѣйствіемъ вертикальныхъ силъ Z_1, Z_2, Z_3, \dots и проходящей черезъ точки R, W, T (фиг. 411), можно опредѣлить слѣдующимъ расчетомъ. Опредѣляемъ изгибающіе моменты M_1, M_2, M_3, \dots для поперечныхъ сѣченій пристой балки $T-1, 2, 3, \dots$, соответствующихъ узламъ цѣпи, а также моментъ M_w для сѣченія балки W , соответствующаго точкѣ W цѣпи, принимая для балки тѣ же самые грузы Z_1, Z_2, Z_3, \dots что и для цѣпи. Тогда изъ уравненія

$$M_w = Hh, \text{ гдѣ } h \text{ есть}$$

ордината точки W , опредѣляемъ горизонтальное напряженіе H , а изъ уравненій $M_1 = Hy_1, M_2 = Hy_2, \dots$ опредѣлимъ ординаты y_1, y_2, \dots

Напряженія $S_0, S_1, S_2, \dots, S_n$ опредѣляются по формулѣ

$$(1) \quad S_m = \frac{H}{\cos \varphi_m}, \text{ гдѣ } \varphi_m$$

означаетъ уголъ между стержнемъ цѣпи и горизонтальной линіей; для давленія на башняхъ находимъ:

$$(2) \quad R = H(tg \varphi_0 + tg \varphi_1); T = H(tg \varphi_{n-1} + tg \varphi_n)^\circ.$$

Если форма цѣпи и горизонтальное напряженіе H даны, то получимъ:

$$(3) \quad Z_m = H(tg \varphi_m - tg \varphi_{m+1}).$$

*) φ_{n-1} = острый уголъ между стержнемъ и горизонтальной линіей

Если грузы Z'_m (фиг. 410 б) замѣнить грузами Z''_m , но такъ чтобы между ними оставалось отношеніе:

$$Z''_1 : Z''_2 : Z''_3 : \dots = Z'_1 : Z'_2 : Z'_3 : \dots,$$

то форма цѣпи не измѣнится, перемѣняться только величина горизонтального напряженія и силы S , R и T ; отсюда слѣдуетъ, что равномѣрно распределенная по всему пролету подвижная нагрузка производить лишь незначительная перемѣщенія узловъ цѣпи. Если же на мосту будетъ находиться односторонняя нагрузка, то произойдетъ недопустимая деформація, которая будутъ тѣмъ больше, чѣмъ меньше постоянная нагрузка въ сравненіи съ подвижной. Чтобы предупредить волнистыя колебанія полотна, можно сдѣлать цѣпь жесткой, расположивъ, напримѣръ, жесткую балку AB (въсъ ея включено въ значеніе g_p), причемъ одна опора A неподвижная, другая B можетъ двигаться по горизонтальному направленію, фиг. 412. Определеніемъ силъ, дѣйствующихъ на эту балку, займемся въ слѣдующихъ главахъ.

Чтобъ получить статически опредѣлимую ферму, необходимо расчленить балку шарниромъ G (ср. результаты № 150 — Выпускъ III). Будемъ предполагать полную жесткость балки, подвѣсныхъ стержней и цѣпи. Пренебрежемъ безконечно малыми упругими деформаціями и будемъ разматривать цѣпь, какъ веревочный многоугольникъ для тѣхъ силъ Z_p , которая вызываются въ подвѣсныхъ стержняхъ грузами P ,двигающимися по жесткой фермѣ.

Напряженія Z_p , S_p , R_p и T будутъ извѣстны, если только опредѣлится горизонтальное напряженіе H_p , зависящее отъ подвижныхъ грузовъ; для этого необходимо только въ фиг. 410 б — H_g замѣнить черезъ H_p . Если напряженія Z_p , S_p , R_p , T_p , соответствующія наибольшему значенію H_p , прибавить къ значеніямъ, полученнымъ до существованія жесткой балки, то получимъ наибольшія напряженія для подвѣсныхъ стержней, для цѣпи и для башенъ. (Онѣ получаются, если въ фиг. 410 H_g замѣнить черезъ $H_g + H_p$). Переидемъ теперь къ определенію H_p и напряженій жесткой балки, причемъ при расчетѣ этихъ напряженій необходимо принимать, что узлы цѣпи лежать на параболѣ съ вертикальной осью, соответствующей постоянной равномѣрно распределенной нагрузкѣ g . Точное определеніе формы цѣпи имѣть значеніе главнымъ образомъ при установкѣ моста, когда принимаютъ во вниманіе удлиненіе упругой цѣпи (см. Томъ II — Выпускъ IX).

204. Общее изслѣдованіе жесткой балки.

Обозначимъ:

M_p — моментъ для какого нибудь сѣченія C балки AB , подвѣшенной къ цѣпи,

M_{op} — изгибающій моментъ, вызываемый грузами P , для поперечнаго сѣченія C простой балки AB , подпертой только въ точкахъ A и B (но не подвѣшенной къ цѣпи),

y — вертикальная ордината точки цѣпи C' , соответствующей сѣченію C , взятая до прямой, соединяющей точки A' и B' въ которыхъ вертикали A и B пересекаются цѣпь, фиг. 412.

Теперь напишемъ:

(4)

$$M_p = M_{op} - H_p y.$$

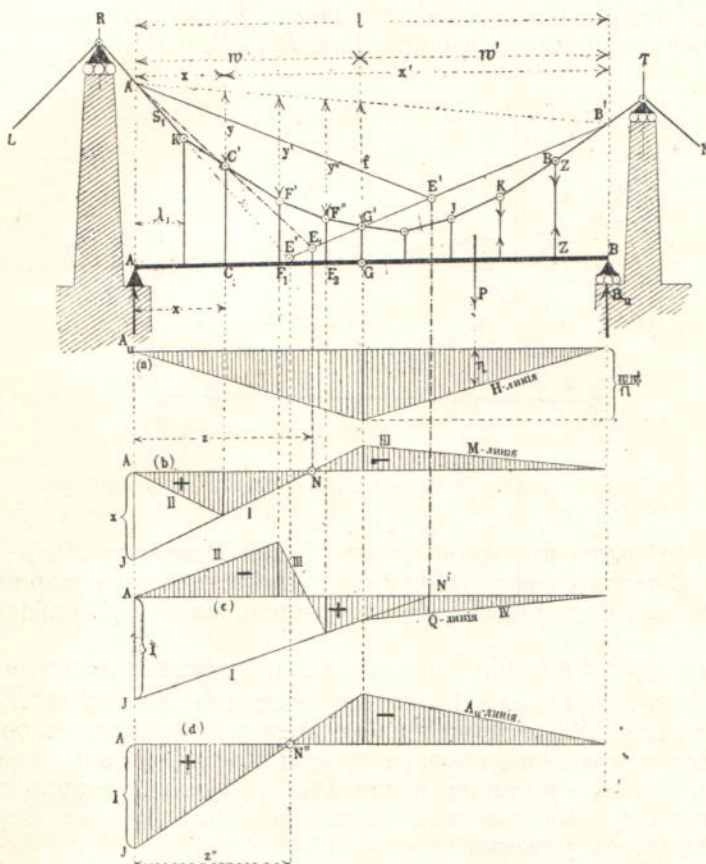
Второй членъ этого уравненія выражаетъ вліяніе сильъ Z_p ; его можно получить, принимая площадь между замыкающей линіей $A'B'$ и цѣпью $A'G'B'$ за площадь моментовъ (Кульмана), соотвѣтствующую силамъ Z_p (по № 64—Выпускъ II).

Для средняго шарнира G получаемъ:

$$M_G = M_{oG} - H_p f;$$

но такъ какъ M_G должно равняться нулю, то

$$(5) \quad H_p = \frac{M_{oG}}{f}.$$



Фиг. 412.

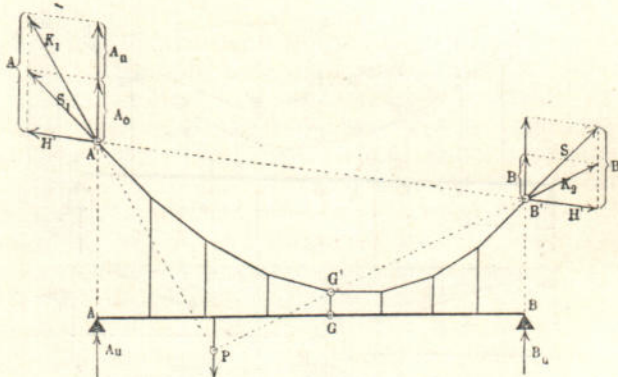
Если средняго шарнира нѣть, то опредѣлить H_p только при помоши условій равновѣсія невозможно; ферма тогда статически неопредѣлена. Уравненія (1) и (2) были выведены раньше для трехшарнирной арки, а потому всѣ способы опредѣленія M и H (см. § 24—Выпускъ II) для трехшарнирной арки, примѣняются и къ настоящему случаю.

1) Линія вління для H_p есть треугольникъ, вершина котораго соотвѣтствуетъ среднему шарниру, а высота равняется $\frac{w \cdot w'}{lf}$, (см. фиг. 412 a). Сосредоточенный грузъ P даетъ: $H_p = P_l$.

2) Если разложить напряженія S_{1p} и S_{np} крайнихъ стержней цѣпи въ точкахъ A' и B' на вертикальныя силы A_{op} и B_{op} и на силы H'_p , равныя и прямо противоположно направленныя по замыкающей линіи, (фиг. 413) *), затѣмъ сложить A_{op} и B_{op} съ сопротивленіями опоръ балки A_{up} и B_{up} :

$$A_p = A_{op} + A_{up} \text{ и } B_p = B_{op} + B_{up},$$

то величины A_p и B_p получать тѣ же самыя значенія, какъ и сопротивленія опоръ простой, не подвѣшенной къ цѣпи балки. Если на ферму дѣйствуетъ только одинъ грузъ P , то направленія силъ K_1 и K_2 (равнодѣйствующія силы A_p и H'_p , B_p и H'_p) и направленіе



Фиг. 413.

силы P пересѣкутся въ одной точкѣ. Если P лежить лѣвѣе G , то K_2 пройдетъ черезъ точку цѣпи G' , соотвѣтствующую шарниру G ; если же P находится правѣе G , то направленіе K_1 пройдетъ чрезъ G' .

3) Для сопротивленія опоры A_{up} получаемъ линію вління, изображенную на фиг. 412 d; она опредѣляется величиной $\overline{AJ} = 1$ и нулевой точкой N'' , лежащей на вертикали точки E'' , въ которой пересѣкается направленіе первого стержня цѣпи (S_1) съ прямой $B'G'$. Такъ какъ для A_{up} , (а также и для B_{up}) получаются положительныя и отрицательныя значенія, то необходимо опорные шарниры балки укрѣпить съ устоями.

Постоянная нагрузка вызываетъ въ опорѣ A сопротивленіе A_{ug} , которое равно половинѣ вѣса панели λ_1 . Если g_1 обозначаетъ постоянную нагрузку на единицу длины (кромѣ вѣса цѣпи и подвѣсокъ) то $A_{ug} = \frac{1}{2} g_1 \lambda_1$. Точно также опредѣлится и B_{ug} . Если подвижная нагрузка равномѣрно распределена (p на единицу длины балки AB), то при полной нагрузкѣ получимъ: $A_{up} = \frac{1}{2} p \lambda_1$ и затѣмъ:

$$\max A_{up} + \min A_{up} = + \frac{1}{2} p \lambda_1.$$

*) На этой фигурѣ пропущены значки .

4) Линія вліяння для момента M_p , взятого для съченія балки C , состоить изъ прямыхъ I, II, III (фиг. 412 b) и опредѣляется величиной $\overline{AJ} = x$ и положенiemъ нулевой точки N , лежащей на верти-кали, которая проходитъ черезъ точку E пересѣченія прямыхъ $A'C'$ и $B'G'$. Постоянная нагрузка даетъ $M_o = 0$. Опредѣлимъ теперь сумму силъ (перерѣзывающую силу) Q_p для панели $F_1F_2 = \lambda$, на основаніи выводовъ § 24.

$$(6) \quad Q_p = \frac{M_{2p} - M_{1p}}{\lambda} \quad *),$$

гдѣ M_{2p} и M_{1p} означаютъ моменты для съченій F_2 и F_1 . Кромѣ того можно написать:

$$\begin{aligned} M_{2p} &= M_{2 \cdot 0} - Hy'' \\ \text{и } M_{1p} &= M_{1 \cdot 0} - Hy'; \end{aligned}$$

подставляя эти величины въ уравненіе для Q_p , получимъ:

$$Q_p = \frac{M_{2 \cdot 0} - M_{1 \cdot 0}}{\lambda} - H_p \frac{y'' - y'}{\lambda} \quad (\text{см. фиг. 412});$$

но $\frac{M_{2 \cdot 0} - M_{1 \cdot 0}}{\lambda} = Q_o$ = суммѣ силъ въ панели F_1F_2 для простой балки, не подвѣшенной къ цѣпи, поэтому получимъ:

$$Q_p = Q_o - H_p \frac{y'' - y'}{\lambda}.$$

Если обозначить уголъ наклоненія прямыхъ $F'F''$ и $A'B'$ къ горизонту — φ и α (фиг. 411), получимъ

$$\frac{y'' - y'}{\lambda} = tg\varphi - tg\alpha = \frac{\sin(\varphi - \alpha)}{\cos\varphi \cos\alpha},$$

$H_p = H'_p \cos\alpha$ и затѣмъ

$$(8) \quad Q_p = Q_o - \frac{H'_p \sin(\varphi - \alpha)}{\cos\varphi} = \frac{I}{\cos\varphi} [Q_o \cos\varphi - H'_p \sin(\varphi - \alpha)].$$

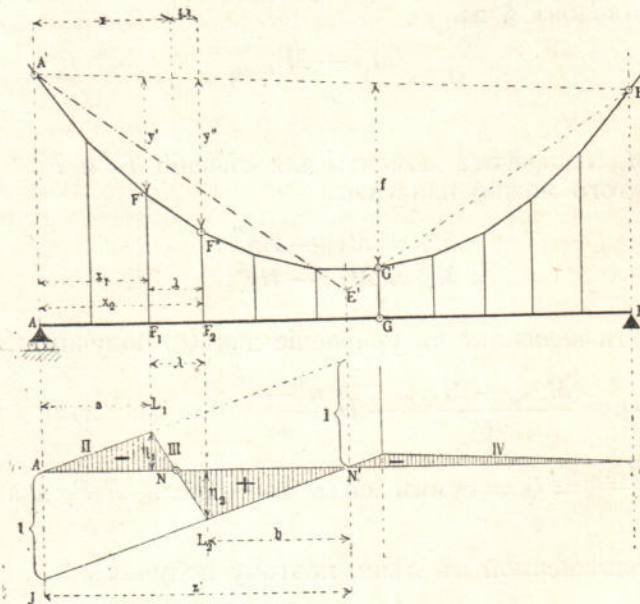
Величина въ скобкахъ представляетъ сумму силъ для панели $F'F''$ жесткой арки $A'G'B'$ (см. уравн. 5 въ № 102 — Выпускъ II); обозначимъ ее черезъ \overline{Q} , тогда получимъ:

$$(9) \quad Q = \overline{Q} \cdot \frac{I}{\cos\varphi},$$

а отсюда, пользуясь результатами, выведенными въ № 110 (Выпускъ II), переходимъ къ построению на фиг. 412 c и 414 линій вліяння для Q ; эта линія вліяння опредѣлится отрѣзкомъ $\overline{AJ} = I$ и по-

* См. № 102 (Выпускъ II).

ложениемъ нулевой точки N' прямой I. N' лежитъ на вертикали точки E' , въ которой пересѣкаются прямая $B'G'$ и прямая, проведенная черезъ точку A' параллельно стержню цѣпи $F'F''$. Если E' лежить лѣвѣе G , то точка E' будетъ точкой раздѣла нагрузки, фиг. 414.



Фиг. 414.

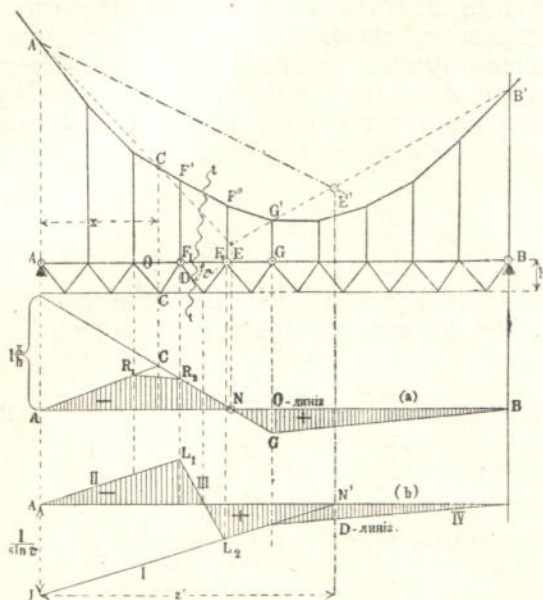
Съ помощью построенныхъ линій вліянія уже легко опредѣлить наибольшія и наименьшія значенія M_p, Q_p, A_{up}, B_{up} и H_p на основаніи общихъ изслѣдований линій вліянія (см. § 15 — Выпускъ II).

205. Цѣпь съ рѣшетчатой жесткой балкой. Линіи вліянія, построенная на фиг. 412 для H_p и A_{up} , можно примѣнить также и къ балкѣ, состоящей изъ двухъ рѣшетчатыхъ частей. Линіи же вліянія для напряженій въ поясахъ получаются изъ линій вліяній для моментовъ. Такъ напр., заштрихованная площадь, на фиг. 415 а, представляется площадью вліянія для напряженія O въ стержнѣ верхняго пояса, лежащаго противъ узла C ; она опредѣлится нулевой точкой N и отрѣзкомъ $\overline{AJ} = 1 \cdot \frac{x}{h}$ (вмѣсто отрѣзка $\overline{AJ}=x$ на фиг. 412 б); h — означаетъ разстояніе стержня до точки вращенія C . Прямая $A'E$, слу-
жашая для определенія точки раздѣла нагрузки, проходитъ черезъ точку C' цѣпи, соотвѣтствующую точкѣ C . Нагрузка предполагалась дѣйствующей въ узлахъ верхняго пояса балки.

Описанный способъ годится для балокъ любой формы. Заштрихованная площадь на фиг. 415 б представляетъ площадь вліянія для напряженія D_p въ діагонали, подымающейся влѣво, для балки съ горизонтальными поясами. Эту линію вліянія получаемъ на основаніи уравненія $D_p \sin \tau = Q_p$ *), где τ — уголъ наклоненія діагонали къ горизонту;

*). Для діагонали, подымающейся вправо, будетъ $D_p \sin \varphi = -Q_p$.

теперь воспользуемся изслѣдованіями предыдущаго № 204 относительно Q_p . Сначала проводимъ прямую I съ помощью нулевой точки N' и ординаты $\overline{AJ} = \frac{I}{\sin \tau}$ (которая здѣсь откладывается вмѣсто ординаты $\overline{AJ} = 1$ на фиг. 414); причемъ нужно наблюдать, чтобы прямая $A'E'$ была параллельна тому участку цѣпи $F'F''$, черезъ



Фиг. 415.

который проходитъ сѣченіе tt (пересѣкающее кромѣ того диагональ D и два пояса, въ общемъ 4 стержня). Затѣмъ проводимъ $II \parallel I$ и наконецъ III и IV. Для фиг. 415 b нагрузка предполагалась на верхнемъ поясѣ.

Вляніе постоянной нагрузки на напряженія O , U , D равно нулю. При произвольной формѣ поясовъ напряженія въ промежуточныхъ поясахъ можно опредѣлить на основаніи законовъ построенія линій влянія для трехшарнирныхъ рушетчатыхъ арокъ. Мы совѣтуемъ читателю построить эти линіи влянія помощью напряженій S' , S'' , S_0 , S''_0 .

Легко также опредѣлить линіи влянія и для случая жесткой балки съ воображаемымъ среднимъ шарниромъ; это представляетъ поучительный примѣръ для самостоятельного построения линій влянія. Если линіи влянія для O и для U (напряженія въ поясахъ) построены, то для опредѣленія линій влянія для промежуточныхъ стержней можно воспользоваться способомъ, описаннымъ въ № 170 (Выпускъ IV).

206. Моменты и суммы силъ при равномѣрно распределенной нагрузкѣ. При равномѣрно распределенной по длине балки AB постоянной нагрузкѣ (g) принимаются всегда, что узловые точки цѣпи лежать на параболѣ съ верти-

кальной осью, какъ это было указано въ концѣ № 205. Если подважная нагрузка (p) также равномерно распределена по пролету, то при полной нагрузкѣ пролета въ частяхъ решетчатой балки не будетъ никакихъ напряженій, а поэтому слѣдуетъ, что

$$\min M_p = -\max M_p; \quad \min Q_p = -\max Q_p.$$

Поэтому всегда достаточно будетъ определить только одно изъ двухъ предельныхъ значений. Можно также очень быстро определить эти значения путемъ расчета, примѣняя формулы, которые получаются изъ изученія линій влиянія. Такъ напр., умноживъ положительную площадь влиянія на p (фиг. 412 b), можно найти моментъ $\max M_p$ для данного узла:

$$(10) \quad \max M = + p \cdot \frac{x(z-x)}{2}.$$

Если c означаетъ вертикальное разстояніе точки E отъ замыкающей линіи $A'B'$, то изъ подобія треугольниковъ получимъ:

$$c = y \frac{z}{x} \text{ и } c = f \frac{l-z}{w'},$$

а отсюда

$$yzw' = fx(l-z) \text{ и } z = \frac{flx}{yw'+fx}.$$

Если замѣнить y значеніемъ, выведеннымъ изъ уравненія параболы

$$(11) \quad y = f \frac{xx'}{ww'}, \text{ то найдемъ}$$

$$(12) \quad z = \frac{wl}{w+x'}, \text{ и, подставляя}$$

въ выраженіе (10), получимъ окончательно:

$$(13) \quad \max M = \frac{pxx'(w-x)}{2(w+x')} = -\min M^{***} \text{ (такъ какъ } M_g = 0).$$

Достаточно определить моменты только для узловыхъ точекъ балки. Когда они найдены, величины ихъ откладываютъ, какъ ординаты, въ узловыхъ точкахъ и концы ординатъ соединяютъ прямыми (это было сдѣлано при изслѣдованіи простой балки — на фиг. 112, листъ черт. I). Ординаты этихъ прямыхъ дадутъ довольно точно наибольшіе моменты для сѣченій между узловыми точками.

^{*}) Онъ равняется моменту для сѣченія x простой балки длиной z . См. также изслѣдованіе № 107 (Выпускъ II).

^{**}) При $w = \frac{1}{2}l$ получимъ ур. 9 въ № 114 (Выпускъ II).

^{***}) Выпускъ II.

Чтобъ получить простое выражение для суммы силь Q_p въ какой нибудь панели F_1F_2 , разсмотримъ фиг. 414. Изъ подобія треугольниковъ имѣемъ:

$$\overline{AN} : \overline{NN'} = a : b.$$

Но такъ какъ $\overline{AN} + \overline{NN'} = z'$ и $a + b = z' - \lambda$, то получимъ:

$$\overline{AN} = a \frac{z'}{z' - \lambda}; \quad \overline{NN'} = b \frac{z'}{z' - \lambda}.$$

Площади треугольниковъ NL_2N' и AL_1N равны соотвѣтственно:

$$\mathfrak{F}_2 = \frac{1}{2} \eta_2 \overline{NN'} = \frac{1}{2} \cdot 1 \cdot \frac{b}{z'} \cdot \overline{NN'} = \frac{1}{2} \frac{b^2}{z' - \lambda},$$

$$\text{и } \mathfrak{F}_1 = \frac{1}{2} \frac{a^2}{z' - \lambda} \text{ **}).$$

Если точка E' лежить лѣвѣе средняго шарнира, то положительная часть площади вліянія будетъ состоять только изъ треугольника NL_2N' и тогда получимъ: (такъ какъ $Q_g = 0$).

$$(14) \quad \max Q = + \frac{pl^2}{2(z' - \lambda)} = - \min Q.$$

Если E' находится правѣе C (фиг. 412 с), то отрицательная часть площади вліянія состоитъ только изъ одного треугольника, именно треугольника A_1LN (фиг. 414), и тогда найдемъ:

$$(15) \quad \min Q = - \frac{pa^2}{2(z' - \lambda)} = - \max Q.$$

Выраженія (14) и (15) имѣютъ значеніе также и при неравныхъ панеляхъ.

Для z' находимъ легко выраженіе:

$$(16) \quad z' = \frac{lw}{l - 2x + w},$$

гдѣ x есть разстояніе середины стержня цѣпи $F'F''$ до вертикали точки A , фиг. 414 **).

*) Площадь вліянія, лежащая лѣвѣе N' , согласуется съ площадью вліянія для суммы силь Q простой балки длиной z' ; ср. фиг. 103 (Выпускъ II).

**) Выраженіе (16) получается изъ уравненія $(y'' - y') \frac{z'}{\lambda} = f \frac{l - z'}{w'}$ подстановкой въ уравненіе параболы:

$$y'' - y' = \frac{f}{ww} \left[x_2(l - x_2) - x_1(l - x_1) \right] = \frac{f(x_2 - x_1)}{ww} \left[l - (x_1 + x_2) \right] = \frac{f\lambda}{ww} (l - 2x)$$

Наибольшее горизонтальное напряжение равняется:

$$(17) \quad \max H = q \frac{ww'}{2f},$$

а наибольшее напряжение въ *m-ой* подвѣскѣ:

$$(18) \quad \max Z_m = \frac{1}{2} (p + g') (\lambda_m + \lambda_{m+1}), \text{ гдѣ}$$

g' означаетъ постоянную нагрузку отъ вѣса подвѣски и цѣпи.

Чтобъ получить предѣльное значение сопротивленія опоры *A_u*, опредѣлимъ сперва (см. фиг. 412 d) по уравненію (16):

$$(19) \quad z'' = \frac{lw}{l - \lambda_1 + w}, \text{ а затѣмъ найдемъ:}$$

$$\max A_{up} = \frac{pz''}{2}; \min A_{up} + \max A_{up} = \frac{p\lambda_1}{2}; A_{ug} = \frac{g'\lambda_1}{2}$$

и наконецъ:

$$(20) \quad \max A_u = \frac{pz'' + g'\lambda_1}{2}; \min A_u = -\frac{pz'' - (p + g')\lambda_1}{2}.$$

Точно такимъ же образомъ найдемъ и предѣльныя значенія *B*.

Съ помощью уравнений 14, 15, 16, можно также определить и напряженія въ промежуточныхъ диагоналяхъ жесткой балки съ параллельными поясами, такъ какъ по № 205 эти напряженія пропорциональны суммамъ силъ *Q*.

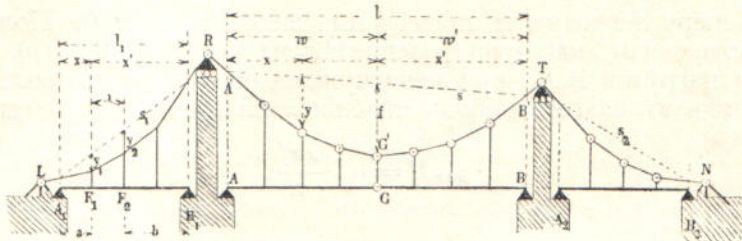
b) Многопролетные висячіе мосты съ жесткой шарнирной фермой.

207. Цѣпной мостъ въ три пролета съ жесткой балкой, фиг. 416. Если для средняго пролета даны три точки *R*, *G'* и *T*, то форма цѣпи опредѣлится по способу, описанному въ № 205. Горизонтальное напряженіе цѣпи отъ постоянной нагрузки назовемъ *H_g*. Форма цѣпи боковыхъ пролетовъ найдется, если разрѣшимъ слѣдующую простую задачу: требуется провести для данныхъ вертикальныхъ силъ веревочный многоугольникъ, который проходитъ черезъ двѣ данные точки (*R* и *L*, а также *T* и *N*), и полусное разстояніе котораго *H_g* известно. При изслѣдованіи напряженій въ частяхъ моста всегда можно расчитывать на равномѣрно распределенную нагрузку *g* и принимать, что узлы цѣпи лежать на изработѣ съ вертикальной осью. Для средняго пролета можно примѣнить уравненіе

$$(1) \quad y = f \cdot \frac{xx'}{ww'},$$

а для бокового пролета A_1B_1 уравнение

$$y = f_1 \frac{xx'}{w_1 w_1'},$$



Фиг. 416.

гдѣ f_1 ордината параболы при $x = w_1$ и $x' = l - w_1 = w_1'$. Ординаты для балокъ AB и A_1B_1 отсчитываются отъ соотвѣтствующихъ замыкающихъ линий.

Съ одной стороны мы имѣемъ:

$$H_g = \frac{gww'}{2f}, \text{ съ другой же стороны}$$

$$H_g = \frac{gw_1w_1'}{2f_1}; \text{ поэтому отсюда получимъ:}$$

$$\frac{w_1w_1'}{2f_1} = \frac{ww'}{2f} \text{ и } f_1 = f \frac{w_1w_1'}{ww'}; *)$$

такимъ образомъ для бокового пролета найдемъ уравненіе

$$(1) \quad y = f \cdot \frac{xx'}{ww'}.$$

Жесткая балка AB средняго пролета расчитывается точно также какъ и для цѣпнаго моста съ однимъ пролетомъ, а потому всѣ правила, выведенныя въ № 204—206, примѣняются и для даннаго случая. Если AB не нагружена, то $H_p = 0$. Грузъ, лежащій на боковомъ пролетѣ, не имѣетъ никакого вліянія на H_p . Балки A_1B_1 и A_2B_2 (изъ которыхъ каждая, также какъ и AB , имѣть одну неподвижную опору, другую подвижную въ горизонтальномъ направлениі) подъ дѣйствиемъ такихъ грузовъ должны разсматриваться, какъ простыя балки, неподвѣшенныя къ цѣпямъ. Грузы средняго пролета вызываютъ (по правиламъ № 204) горизонтальное напря-

^{*)} Если $w = w' = \frac{1}{2}l$ и $w_1 = w_1' = \frac{1}{2}l_1$, то получимъ (какъ и раньше въ № 202) $f_1 = f \frac{l_1^2}{l^2}$.

женіе H_p , такъ что будемъ имѣть въ сѣченіи F_1 балки A_1B_1 изгибающій моментъ $M = -H_p y_1$, и сумму силъ въ панели F_1F_2 :

$$= -H_p \frac{(y_1 - y_2)}{\lambda}.$$

Теперь легко найти предѣльные значения M и Q . Положимъ, что подвижная нагрузка распределена равнотрено (p). Тогда полная нагрузка A_1B_1 , при ненагруженномъ среднемъ пролетѣ AB , вызываетъ въ какомъ нибудь сѣченіи x балки A_1B_1 моментъ

$$(2) \quad \max M = p \cdot \frac{xx'}{2}.$$

Полная же нагрузка средняго пролета даетъ:

$$(3) \quad \min M = -H_p y = -p \cdot \frac{ww'}{2f} \cdot f \cdot \frac{xx'}{ww'} = -p \frac{xx'}{2};$$

такимъ образомъ получаемъ:

$$\max M = -\min M.$$

При отыскываніи предѣльныхъ значений Q для панели F_1F_2 балки A_1B_1 надо различать два случая, когда $y_2 > y_1$ и $y_1 > y_2$.

Если $y_2 > y_1$, то нагрузка средняго пролета даетъ отрицательное значение Q . Чтобы получить $\max Q$, нужно оставить средний пролетъ ненагруженнымъ, а балку A_1B_1 надо нагрузить только между B_1 и точкой раздѣла нагрузки, лежащей въ панели F_1F_2 . Тогда балка A_1B_1 рассматривается какъ простая балка.

Такимъ образомъ, на основаніи законовъ построенія линій вліяній для простой балки (см. фиг. 103 — Выпускъ II) и примѣнія выводы, сдѣланніе въ концѣ № 206, получимъ:

$$(4) \quad \max Q = + \frac{pb^2}{2(l_1 - \lambda)} = -\min Q,$$

гдѣ b — означаетъ разстояніе поперечной балки F_2 отъ опоры B (фиг. 416).

Если $y_2 < y_1$, то нагрузка средняго пролета даетъ положительное Q ; $\min Q$ опредѣлится, если нагрузить A_1B_1 только на длину между A_1 и точкой раздѣла нагрузки, лежащей въ панели F_1F_2 . Такимъ образомъ получимъ:

$$(5) \quad \min Q = - \frac{pa^2}{2(l_1 - \lambda)} = -\max Q^{**}.$$

^{**) $\max Q$ и $\min Q$ можно опредѣлить также графически по способу, данному въ № 71 (Выпускъ II), такъ какъ въ обоихъ случаяхъ $(y_2 \leq y_1)$ мы имѣемъ дѣло съ простой балкой A_1B_1 .}

Въ № 114 (Выпускъ II) было выведено уравнение

$$\max M = \frac{px(l^2 - 3lx + 2x^2)}{2(3l - 2x)}.$$

Это выражение получаетъ наибольшее значение при $x = 0,234l$; оно равняется тогда

$$M = 0,019 pl^2.$$

Такимъ образомъ для балки AB , въ случаѣ $w = w' = \frac{l}{2}l$, будемъ имѣть наибольшій моментъ равный

$$M = 0,019 pl^2; \text{ а для балки } A_1B_1 \text{ получимъ } M_1 = \frac{pl^2}{8}.$$

Если же оба момента должны быть равновелики, то необходимо соблюсти условіе

$$l_1^2 = 8 \cdot 0,019 l^2 \text{ или}$$

$$\underline{l_1 = 0,39l}.$$

208. Многопролетный цѣпной мостъ съ жесткой балкой. Если на одномъ изъ пролетовъ даны три точки цѣпи, то форма цѣпи опредѣлена и легко найти величину H_g (по № 203). Форма боковыхъ цѣпей опредѣлится также легко, прочертить веревочный многоугольникъ, проходящій черезъ 2 точки (точки подвѣшиванія цѣпей) для вертикальныхъ грузовъ при прежнемъ полюсномъ разстояніи. Всегда можно допустить для расчета постоянную нагрузку равномѣрно распределенной. Ординаты вычисляются по способу, приведенному въ № 207. Для цѣпей моста, представлена на фиг. 417, надо провести сначала слѣдующія замыкающія линіи— $s_1' s_2' s_3'$. Въ непрерывной жесткой балкѣ A, B, C находится столько шарнировъ, сколько пролетовъ. Причемъ шарниры распределены такъ, что при отсутствіи одного изъ нихъ получится балка Гербера (консольная), подвѣшенная къ цѣпи. Опоры, за исключениемъ одной неподвижной, всѣ подвижныя.

Для болѣе быстраго отысканія моментовъ и суммы силъ для жесткой балки предполагаютъ одинъ средній шарниръ устраниеннымъ; тогда получимъ балку Гербера, на которую дѣйствуютъ кромѣ подвижныхъ грузовъ P еще напряженія Z_p подвѣсныхъ стержней. Вліяніе P и Z_p опредѣляютъ отдельно и задача разрѣшается на основаніи способа, описанного въ № 82 (фиг. 122, Выпускъ II). Моментъ, зависящій отъ силъ Z_p , опредѣлится тогда въ формѣ $(-H_p y)$, гдѣ y —означаетъ ординату цѣпи, взятую до замыкающихъ линій, соотвѣтствующихъ балкѣ Гербера.

Такимъ образомъ, если, на фиг. 417 a, G_2 устраниенный шарниръ, то для балки Гербера $ABCD$ получаемъ замыкающую линію $s_1 s_2 s_3$, углы которой лежать на вертикаляхъ точекъ B и C и которая проходитъ черезъ точки цѣпи, соотвѣтствующія шарнирамъ G_1 и G_3 . Если обозначить для какого нибудь сѣченія F_1 панели $F_1 F_2$ (все равно въ какомъ пролетѣ) черезъ M_o и Q_o —моментъ и сумму силъ, которые получаются при дѣйствіи на балку Гербера только силь P , то можемъ написать такія выраженія

$$M_p = M_o - H_p y_1$$

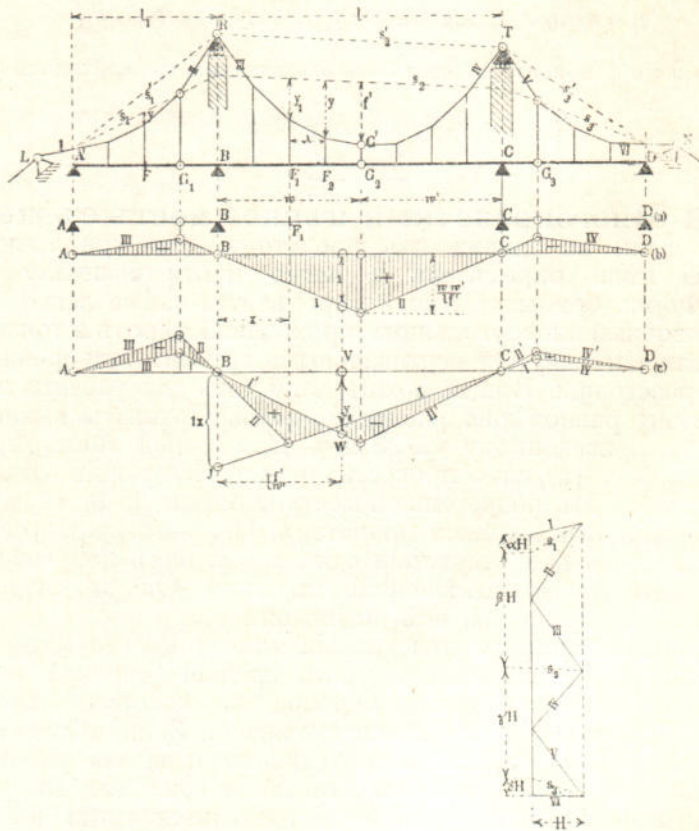
$$Q_p = Q_o - H_p \frac{y_2 - y_1}{l}.$$

Если цѣль лежить выше замыкающей линії, то y будетъ отрицательно. Для съченія G_2 получаемъ:

$$M_g = M_{oG} - H_p f; \text{ а такъ какъ}$$

это́тъ моментъ долженъ равняться нулю, то найдемъ:

$$H_p = \frac{M_{oG}}{f'}.$$



Фиг. 417 а, б, в, д.

Поэтому линія влінія для горизонтального напряженія H_p получится, построивъ линію влінія для момента въ поперечномъ съченіи G_2 балки Гербера $ABCD$ и раздѣливъ ординаты на f' . Такимъ путемъ получается линія влінія для H_p , представленная на фиг. 417 *b*; эта линія для точки G_2 дастъ ординату $\frac{ww'}{lf'}$, а на разстояніи $\frac{l}{w} f'$ отъ опоры B — ординату = 1.

Для получения линіи влінія для изгибающаго момента $M_p = M_o - H_p y$ сначала строимъ, по правиламъ № 87 (Выпускъ II), линію

вліянія для M_o и изъ ея ординатъ вычитаемъ ординаты линіи H_p , умноженные на y .

Такимъ образомъ заштрихованная площасть фиг. 417 с означаетъ площасть вліянія для момента M_p въ поперечномъ сѣченіи F_1 . Для этого сначала балка $ABCD$ рассматривалась какъ балка Гербера, неподвѣшенная къ цѣпи, и для нея была построена линія вліянія для M_o ; эта линія состоитъ изъ прямыхъ I, II, III, IV и опредѣляется ординатой $BJ=1.x$. Затѣмъ проводимъ линіи I', II', III', IV', принадлежащія линіи вліянія для H_{y_1} , откладывая ординату $\bar{V}W=1.y_1$ на разстояніи $l \frac{f'}{w}$, отъ опоры B , такъ какъ въ этомъ мѣстѣ линія для H имѣеть ординату равную 1.

Подобнымъ же путемъ опредѣляется и линія вліянія для суммы силъ Q_p въ любой панели. Сначала считаютъ, что балка не висить на цѣпи, и для нея, какъ для балки Гербера, строятъ, по правиламъ № 84 (Выпускъ II), линію вліянія для Q_o и затѣмъ вычитаютъ изъ ея ординаты ординаты линіи вліянія для H_p . $\frac{y_2 - y_1}{\lambda}$. Послѣдняя линія на разстояніи отъ опоры B , равномъ $\frac{lf'}{w'}$, имѣеть ординату $1 \cdot \frac{y_2 - y_1}{\lambda}$, легко опредѣляемую чертежемъ.

Описанный пріемъ примѣняется къ цѣпнымъ мостамъ съ любымъ числомъ пролетовъ; задача по этому способу разрѣшаются всегда быстро.

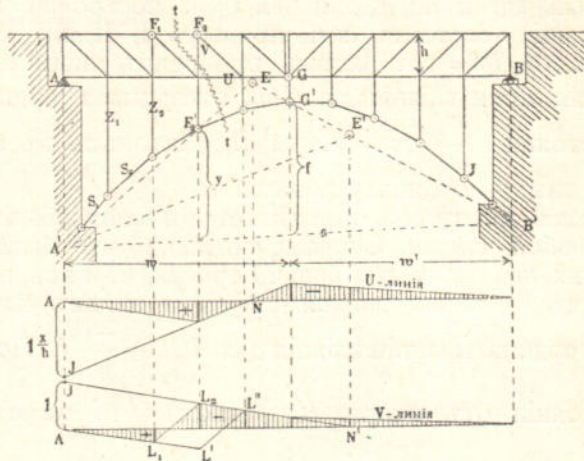
Напримѣръ, этимъ способомъ можно воспользоваться для определенія сопротивленій опоръ жесткой балки A, B, C, D, \dots . Эти сопротивленія можно представить въ формѣ слѣдующихъ выражений: $A = A - \alpha H, B = B_o - \beta H, C = C_o - \gamma H, D = D_o - \delta H, \dots$ гдѣ $A_o, B_o, C_o, D_o, \dots$ означаютъ сопротивленія опоръ балки, неподвѣшенной къ цѣпи, а $\alpha, \beta, \gamma, \delta, \dots$ постоянные коэффиціенты. Напримѣръ, фиг. 417, для любого горизонтального напряженія H значенія $\alpha H, \beta H, \gamma H, \delta H$ легко найдутся, построивъ фиг. 417 d, гдѣ прямые I, II, III, ..., s_1, s_2, s_3, \dots параллельны звеньямъ цѣпи и замыкающими линіями; этотъ чертежъ сдѣланъ на основаніи объясненій, данныхъ въ № 82 и согласно фиг. 122 b (Выпускъ II). Если эту фигуру вычертить при $H=1$, то найдемъ постоянные коэффиціенты $\alpha, \beta, \gamma, \delta, \dots$.

§ 52.

Шарнирные арки съ жесткой балкой.

209. Шарнирная арка съ жесткой балкой, лежащей сверху. Арка, состоящая изъ прямыхъ стержней, соединенныхъ между собой шарнирами, связана вертикальными стойками съ балкой, которая имѣеть одну неподвижную, другую подвижную опору; среднимъ шарниромъ G балка дѣлится на двѣ жесткія части, фиг. 418. Ферма эта есть ничто иное, какъ перевернутая цѣпь съ

жесткой балкой, а потому всѣ правила и законы, выведенные въ № 203—206, вполнѣ примѣнимы и для настоящаго случая. Напряженія Z и S будутъ только другаго знака, чѣмъ въ висячей фермѣ, т. е. будутъ отрицательны (сжатіе).



Фиг. 418.

Кромѣ того конечныя точки A' и B' замыкающей линіи s должны лежать подъ опорами на продолженныхъ линіяхъ крайнихъ стержней арки, если пролетъ (какъ на фиг. 418) балки большие пролета арки. На фиг. 418, для примѣра, построены линіи вліянія для напряженій U и V .

Линія вліянія для U опредѣлится точкой раздѣла нагрузки E и отрѣзкомъ $A\bar{J}=1 \cdot \frac{x}{h}$. Прямая $A'E$ проходитъ черезъ точку F_2 арки, соотвѣтствующую узлу F_2 , который лежитъ противъ пояса U .

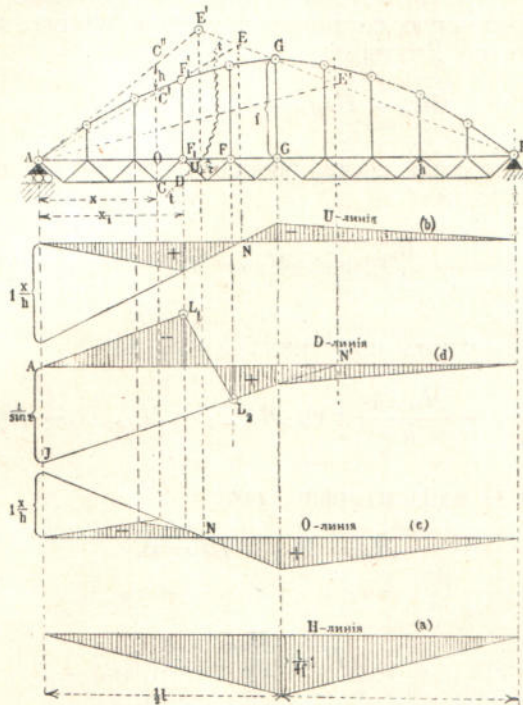
Линія вліянія для V (такъ какъ $V=-Q$) опредѣлится отрѣзкомъ $\bar{A}J=-1$ и точкой E' . Прямую $A'E'$ надо приэтомъ провести параллельно тому стержню арки, который пересѣкается съченіемъ tt .

На фиг. 418 предположено, что нагрузка дѣйствуетъ на верхнемъ поясѣ. Если же грузы будутъ приложены къ нижнему поясу, то вмѣсто прямой L_1L_2 надо провести прямую $L'L''$.

Если арка такъ построена, что ея ось соотвѣтствуетъ веревочному многоугольнику, проведенному черезъ точки A' , G' и B' при дѣйствіи только постоянной нагрузки, то тогда вертикали жесткой балки будутъ находиться только подъ дѣйствіемъ постоянной нагрузки. Вертикаль V_m , раздѣляющая панели λ_m и λ_{m+1} , получить напряженіе $V_{mg} = -\frac{1}{2}g_o(\lambda_m + \lambda_{m+1})$, где g_o есть постоянная нагрузка, дѣйствующая на верхнемъ поясѣ. Напряженія O , U , D будутъ зависѣть только отъ подвижной нагрузки, и тогда имѣемъ слѣдующія уравненія:

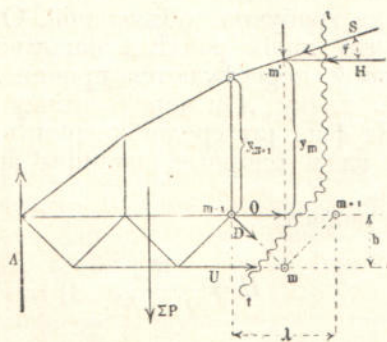
$$\max O + \min O = 0; \quad \max U + \min U = 0; \quad \max D + \min D = 0.$$

210. Шарнирная арка съ жесткой балкой въ видѣ затяжки. Такая ферма показана на фиг. 419. На одномъ концѣ находится неподвижная опора, на другомъ подвижная, такъ что при вертикальной нагрузкѣ сопротивленія опоръ также вертикальны и одинаковы съ сопротивленіями, какъ и для простой балки



Фиг. 419.

AB. Жесткая балка состоитъ изъ двухъ жесткихъ частей, связанныхъ между собой шарниромъ. Арка связана съ балкой вертикальными подвѣсками.



Фиг. 420.

Проведемъ сѣченіе tt , встрѣчающее четыре стержня (U_{m-1} , D_m , O_m , N), и разсмотримъ лѣвую часть фермы, фиг. 420. Равнодѣй-

ствующая външнихъ силъ ($= \Sigma P$) вмѣстѣ съ сопротивленіемъ опоры A , вызываетъ моменты M_{om} и $M_{o(m-1)}$ относительно узловъ m и $m-1$, которые имѣютъ ту же величину, какъ и моменты относительно тѣхъ же узловъ простой балки AB , неподвѣшенной къ аркѣ.

Если разложить напряженіе N (сжатіе), происходящее въ стержнѣ арки, черезъ который проведено сѣченіе tt , на горизонтальную и вертикальную составляющія, то получимъ, составляя уравненіе моментовъ по Риттеру:

$$M_{om} - H(y_m + h) + O_m h = 0,$$

гдѣ H —горизонтальная составляющая (горизонтальное напряженіе).

Отсюда получимъ:

$$O_m = -\frac{M_m}{h}, \text{ гдѣ } M_m = M_{om} - H(y_m + h).$$

Такимъ же путемъ получимъ:

$$U_{m-1} = +\frac{M_{m-1}}{h}, \text{ гдѣ } M_{m-1} = M_{o(m-1)} - Hy_{m-1}.$$

Для точки G найдемъ (фиг. 419):

$$M_6 = M_{o6} - Hf = 0,$$

откуда

$$H = \frac{M_{o6}}{f}.$$

Выраженія, найденные для M и H , согласуются съ выраженіями для жесткой балки, подвѣшенной къ цѣпи (§ 51). Только вмѣсто y_m здѣсь входитъ $y_m + h$, если разматриваемый узель принадлежить нижнему поясу балки. Для горизонтального напряженія H и для напряженій U и O построены линіи вліянія (фиг. 419 а, б, с), причемъ предположено, что нагрузка дѣйствуетъ въ узлахъ верхняго пояса.

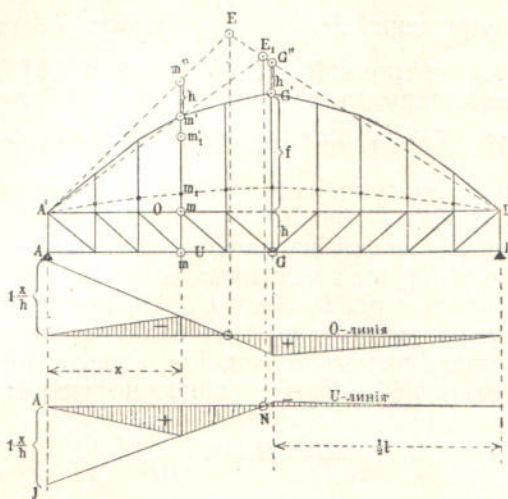
Фиг. (а) и (б) не требуютъ объясненій. Относительно фигуры (с) надо замѣтить, что линія раздѣла нагрузки проходитъ черезъ точку E' , въ которой пересѣкаются прямая BG' , и прямая AE' , проведенная черезъ точку A и черезъ точку C'' , лежащую выше C' на величину h . На фиг. 421 средній шарниръ лежитъ на нижнемъ поясѣ балки, тогда какъ опорные шарниры арки, какъ и раньше, лежать на верхнемъ.

Теперь можно написать:

$$H = \frac{M_{o6}}{f+h}.$$

Высота треугольника—площади вліянія для H теперь равняется не $\frac{l}{4f}$, а $= \frac{l}{4(f+h)}$ и прямая $B'G'$ замѣняется прямой $B'C''$, причемъ G'' лежитъ выше G' на величину h .

Мы ограничимся разсмотрѣніемъ двухъ случаевъ, представленныхъ на фиг. 419 и 421. Для другихъ подобныхъ фермъ **при любой**



Фиг. 421.

формѣ поясовъ балки будуть имѣть значеніе уравненія:

$$M_m = M_{om} - Hy'_{m'} \text{ и } I = \frac{M_{og}}{f'},$$

гдѣ $y'_{m'}$ — разстояніе узла m отъ оси арки,

f' — разстояніе шарнира G отъ оси арки,

оба разстоянія взяты по вертикальному направлению.

Если, напримѣръ, на фиг. 421, замѣнить верхній прямой поясъ $A'B'$ ломаннымъ $A'm_1B'$ (показано пунктиромъ), то получимъ:

$$U = + \frac{M_m}{r_m} \text{ и } M_m = M_{om} - I(y_m - \overline{mm_1}), \text{ гдѣ}$$

r_m означаетъ величину перпендикуляра, опущенного изъ m_1 на U .

Вместо $\overline{AJ} = 1 \cdot \frac{x}{h}$ надо отложить $\overline{AJ} = 1 \cdot \frac{x}{r_m}$; прямая $A'E$, опредѣляющая раздѣль грузовъ N , должна теперь проходить че-резъ точку m'_1 , причемъ разстояніе $m'm'_1 = mm_1$. Такъ какъ m_1 лежитъ выше $A'B'$, то m'_1 должно лежать ниже m' .

Если такимъ путемъ будутъ получены линіи вліянія для всѣхъ напряженій O и U , то для построенія линій вліянія для напряженій въ промежуточныхъ стержняхъ можно прибѣгнуть къ способу, описанному въ № 170 (Выпускъ IV).

Если $A - \Sigma P = Q_o$ есть сумма силъ для сѣченія tt простой балки, то сумма силъ для фермы на фиг. 420 въ сѣченіи tt будетъ равняться:

$$Q = Q_o - H y^2_{m'} = Q_o - H \frac{y_{m+1} - y_m}{\lambda_m};$$

въ такомъ же видѣ была представлена и сумма силъ для цѣпи съ жесткой балкой, а потому опредѣлить ее возможно на основаніи правилъ, изложенныхъ въ № 203—206. На фиг. 419 д построена линія вліянія для напряженія $D = +\frac{Q}{\sin \varphi}$. Точка E' , опредѣляющая точку N' , лежитъ на прямой $B'G'$; прямая AE' параллельна стержню арки, лежащему въ сѣченіи tt . Линія AL_1 параллельна JL_2 .

Если сдѣлать $\overline{AJ} = 1$, вмѣсто $\overline{AJ} = \frac{1}{\sin \varphi}$, то получимъ линію вліянія для суммы силъ Q въ панели F_1F_2 . Для случая, представленнаго на фиг. 421, точка E' лежить на прямой $B'G''$.

Если постоянная нагрузка равномѣрно распредѣлена и узлы арки лежать на параболѣ съ вертикальной осью, то для случая на фиг. 419 имѣемъ напряженія $D_g = 0$ и $U_g = 0$, предполагая, что часть постоянной нагрузки, дѣйствующей на балку, распредѣлена исключительно по верхнимъ узламъ балки, что вполнѣ допустимо.

Для всѣхъ стержней верхняго пояса получаемъ:

$$O = +H_g = +\frac{gl^2}{8f}$$

Если же и подвижная нагрузка ($= p$), равномѣрно распредѣлена, то при полной нагрузкѣ балки грузами p получимъ для верхнихъ поясовъ:

$$O_p = +\frac{pl^2}{8f}, \text{ тогда какъ}$$

D_p и U_p опять равняются нулю.

Такимъ образомъ получимъ:

$$\max U + \min U = 0; \quad \max D + \min D = 0.$$



ПРИБАВЛЕНИЕ.

Нѣкоторыя даннія о нагрузкѣ сооруженій.

I. МОСТЫ.

а) Балочные мосты проѣзжихъ дорогъ *).

1. Мосты проѣзжихъ дорогъ съ двойной досчатой настилкой. Равномѣрно распредѣленная нагрузка (соответствующая повозкамъ въ 10 тоннъ) на 1 кв. м. моста составляетъ (l = пролетъ въ метрахъ):

$$p_1 = \left(360 + \frac{1200}{l_{\text{мтр.}}} \right) \text{ кггр./мтр.}^2.$$

Общий вѣсъ желѣза на 1 кв. м.

$$g_1 = (105 + 2,3 l_{\text{мтр.}} + 0,02 l_{\text{мтр.}}^2) \text{ кггр./мтр.}^2.$$

Вѣсъ досчатаго настила — 110 кг. на кв. м.

Если вѣсъ главныхъ фермъ имѣются еще особые, покрытые досками тротуары, то для этихъ тротуаровъ вѣсъ желѣза на 1 кв. м. ихъ площади (включая и необходимое усиленіе главныхъ фермъ, но безъ вѣса перилъ) будетъ:

$$g_2 = (60 + 2,3 l_{\text{мтр.}}) \text{ кггр./мтр.}^2.$$

2. Шоссированные мосты проѣзжихъ дорогъ. Вѣсъ желѣза на 1 кв. м., исключая желѣзо Зорѣ (или другаго сѣченія):

$$g_1 = (125 + 2,8 l_{\text{мтр.}} + 0,025 l_{\text{мтр.}}^2) \text{ кггр./м.}^2.$$

На желѣзо Зорѣ надо прибавить 65 кггр./м.² и на щебень — 400 кггр./м.²; подвижная нагрузка p и вѣсъ g_2 тротуаровъ, расположенныхъ снаружи, опредѣлится какъ въ 1.

*) По Энгессеру „Zeitschrift fr Baukunde“ 1881. стр. 66.

3. Городские мосты съ двойной досчатой настилкой.

$$p_1 = \left(440 + \frac{1400}{l_{\text{мтр.}}} \right) \text{ кггр./мтр.}^2.$$

$$\begin{aligned} g_1 &= (155 + 2,7 l_{\text{мтр.}} + 0,021 l^2_{\text{мтр.}}) \text{ кггр./мтр.}^2. \\ g_2 &= (80 + 2,7 l_{\text{мтр.}}) \text{ кггр./мтр.}^2. \end{aligned}$$

Вѣсь настила 140 кггр./мтр.².

4. Городские мосты шоссированные.

$$g_1 = (170 + 3,2 l_{\text{мтр.}} + 0,028 l^2_{\text{мтр.}}) \text{ кггр./мтр.}^2.$$

p_1 и g_2 — какъ въ 3.

Вѣсь щебня 480 кггр./мтр.².

Вѣсь желѣза Зорѣ 80 кггр./мтр.².

5. Городские мосты вымощенные.

$$g_1 = (180 + 3,7 l_{\text{мтр.}} + 0,029 l^2_{\text{мтр.}}) \text{ кггр./мтр.}^2.$$

p_1 и g_2 — какъ въ 3.

Вѣсь мостовой 700 кггр./мтр.².

Вѣсь желѣза Зорѣ 80 кггр./мтр.².

Подвижная нагрузка. Часто требуется, чтобы подвижная нагрузка была составлена изъ толпы людей (350 кггр./мтр.² — для мостовъ проѣзжихъ дорогъ и 450 кггр./мтр.² для городскихъ мостовъ) и изъ повозокъ. Для главныхъ балокъ мостовъ, пролетомъ до 20 м., наибольшая нагрузка отъ колесъ дѣйствуетъ менѣе выгодно, чѣмъ нагрузка отъ толпы людей. Въ этомъ случаѣ достаточно, для мостовъ проѣзжихъ дорогъ, принимать повозки съ разстояніемъ между осями 3,0 до 3,5 м. и нагрузкой отъ 3000 до 6000 кггр. на ось (въ зависимости отъ дороги); или предположить на мосту катокъ для укатыванія шоссе (вѣсь 6000 кггр.). Городскіе мосты расчитываются на нагрузку ихъ одной повозкой съ базисомъ 4,5 м. и нагрузкой на ось 10000 до 12000 кггр. Въ особыхъ случаяхъ слѣдуетъ принимать также и нагрузку моста каткомъ (10 тн. на переднее колесо и 13 тн. на заднія колеса); разстояніе въ свѣту между ободами заднихъ колесъ 1,0 м., ширина обода заднихъ колесъ 0,55 м.; разстояніе между осями катка 2,75 м., ширина обода передняго колеса 1,06 м. Остальная проѣзжая часть моста предполагается нагруженную толпой людей или болѣе легкими повозками (съ давленіемъ на ось 4500 до 6000 кггр.).

Главныя балки *большихъ* проѣзжихъ мостовъ расчитываются обыкновенно на нагрузку моста сплошною толпою людей.

в) Городскіе арочные мосты *).

Вѣсь главныхъ фермъ (включая вѣтровыя и поперечныя связи) на 1 пог. метръ пролета для арокъ съ опорными шарнирами, но безъ шарнира въ вершинѣ составляетъ:

$$g = (\gamma b + 35 z) \text{ кггр./мтр.}, \text{ гдѣ}$$

*) По Энгессеру.

b = ширина моста въ метрахъ

z = число главныхъ фермъ

γ = коэффицентъ, который берется изъ слѣдующей таблицы:

Пролетъ въ метрахъ .	10	20	30	40	50	60	70	80	90	100
Полотно подъ шоссе .	32	62	94	129	168	209	255	300	350	410
Полотно съ двойнымъ досчатымъ настиломъ	28	53	80	110	144	180	220	260	305	355

Статический расчетъ моста начинаютъ всегда съ расчета полотна, опредѣляя постепенно въесь полотна, продольныхъ, попечерныхъ фермъ, тротуаровъ, а затѣмъ уже переходить къ изслѣдованию главныхъ фермъ.

Для арочныхъ фермъ съ 3 шарнирами вышеприведенные данные могутъ быть уменьшены на 15%.

Подвижную нагрузку опредѣляютъ по даннымъ въ концѣ п. а.

с) Собственный вѣсъ желѣзнодорожныхъ балочныхъ мостовъ *).

Мостъ предполагается въ одинъ путь; при двухъ путяхъ цифры удваиваются. Данныя для „тяжелыхъ конструкцій“ относятся до главныхъ линий.

1) Сплошныя балки, пъзда поверху.

Нагрузка на пог. метръ пролета въ кггр., и на 1 пог. фут. въ пуд.

l въ		Тяжелой конструкціи.		Легкой конструкціи.	
метр.	фут.	кггр.	пуд.	кггр.	пуд.
2	6,6	610	11,35	610	11,35
3	9,8	510	9,49	450	8,37
4	13,1	570	10,60	500	9,30
5	16,4	620	11,54	550	10,23
6	19,7	630	11,72	560	10,42
8	26,2	660	12,28	600	11,16
10	32,8	790	14,70	700	13,02
12	39,4	930	17,30	840	15,63
14	45,9	1020	18,98	950	17,68
16	52,5	1140	21,21	1060	19,72
18	59,0	1530	28,47	1410	26,23

*) По Seefehlner'у.

2) *Сплошные балки, пьеза по низу.*

Нагрузка на пог. метръ пролета въ клгр., и на 1 пог. фут. въ пуд.

<i>l</i> въ		Тяжелой конструкціи.		Легкой конструкціи.	
метр.	фут.	клгр.	пуд.	клгр.	пуд.
6	19,7	840	15,63	740	13,77
8	26,2	950	17,68	780	14,51
10	32,8	970	18,04	870	16,19
12	39,4	1090	20,28	980	18,23
14	45,9	1150	21,40	1060	19,72
16	52,5	1220	22,70	1100	20,47
18	59,0	1320	24,56	1200	22,33

3) *Фермы параболическая, Шведлера и Паули.*

25	82,0	1220	22,70	1090	20,28
30	98,4	1480	27,54	1320	24,56
40	131,2	1640	30,51	1460	27,16
50	134,0	1760	32,75	1550	28,84
60	196,8	2320	43,17	2080	38,70
70	229,7	2510	46,70	2260	42,05
80	262,5	2730	50,79	2660	49,49
90	295,3	3150	58,61	2830	52,10
100	328,1	3600	66,98	3300	61,40

4) *Фермы полупараболическая и съ параллельными поясами.*

25	82,0	1280	23,82	1140	21,21
30	98,4	1540	28,65	1380	25,68
40	131,2	1740	31,37	1510	28,10
50	164,0	1820	33,86	1600	29,77
60	196,8	2380	44,28	2120	39,44
70	229,7	2560	47,63	2310	42,98
80	262,5	2780	51,72	2710	50,42
90	295,3	3270	60,84	3080	57,31
100	328,1	3760	69,96	3370	62,70

d) Собственный вѣсъ желѣзнодорожныхъ арочныхъ мостовъ *).

Вѣсъ проѣзжей части (шпалы, рельсы, настиль) съ продольными и поперечными фермами опредѣляется предварительно, до расчета главныхъ фермъ. Для главныхъ фермъ, включая вѣтровые и поперечные связи, можно принять:

для $l = 10$	20	30	40	50	60	70	80	90	100 метр.
$g = 450$	750	1050	1350	1650	1950	2250	2560	2890	3280 клгр. на 1 пог. метръ пути.

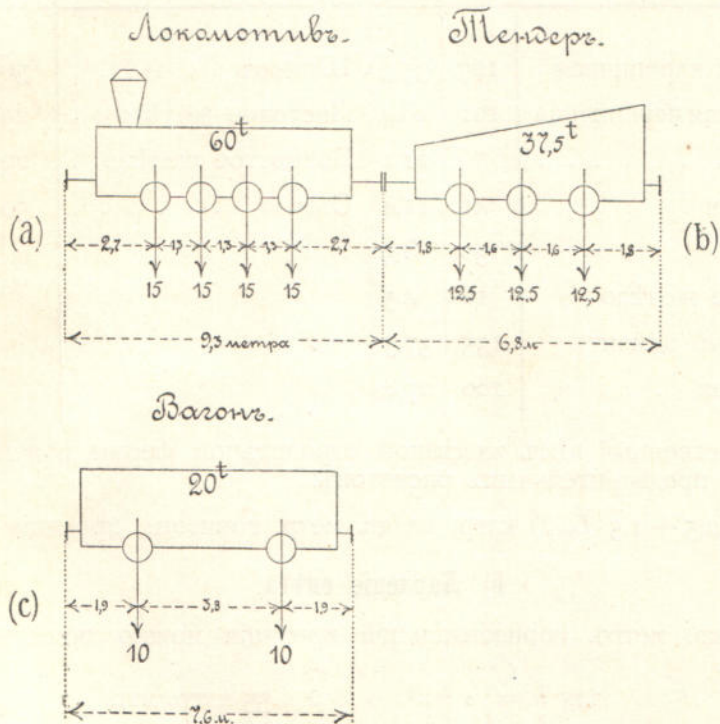
При $l = 10$ м. до $l = 70$ м. приведенные значения соответствуютъ формулѣ:

$$g = (150 + 30 l_{\text{мтр.}}) \text{ клгр./мтр.}$$

Вышеприведенные значения относятся къ аркамъ съ двумя шарнирами; для арокъ съ 3 шарнирами эти цифры уменьшаются на 15%.

e) Подвижная нагрузка для желѣзнодорожныхъ мостовъ **).

Нормальный поѣздъ предполагается составленнымъ изъ двухъ паровозовъ съ тендерами и вагонами, фиг. 422 расположеннымъ невыгоднѣйшимъ образомъ. Паровозы могутъ быть поставлены въ поѣздѣ врозь или рядомъ, съ трубами въ



Фиг. 422

*) По Энгессеру.

**) Для русскихъ мостовъ. Циркуляръ Министерства Путей Сообщенія отъ 15 Января 1896 г. за № 753. (Добавлено переводчиками).

одну сторону или обращенными одна къ другой. Вагоны могутъ стоять впереди и сзади каждого паровоза.

Необходимо имѣть въ виду возможность разрыва нормального поѣзда въ одномъ месте и нахожденіе въ нормальному поѣздѣ порожнихъ вагоновъ (непрѣзывая фермы).

При опредѣлѣніи усилий въ продольныхъ и поперечныхъ балкахъ, а равно въ фермахъ малыхъ пролетовъ необходимо сдѣлать два параллельныхъ расчета: одинъ въ предположеніи загрузки пролета вышеуказаннымъ поѣздомъ, а другой—въ предположеніи прохода отдельной оси съ давленіемъ на нее 20 тоннъ и затѣмъ изъ двухъ предположеній выбрать—невыгоднѣйшее

II. Крыши.

a) Собственный вѣсъ.

Вѣсъ покрытия и обрешетки на 1 кв. метр. (1 кв. саж.) поверхности крыши.

Обрешетка деревянная.	Вѣсъ кв. един.		Обрешетка угловое желѣзо.	Вѣсъ кв. един.	
	клгр.	пуд.		клгр.	пуд.
Двойная черепичная .	127	35,3	Шиферъ	50	13,9
Одиночная черепичная	102	28,4	Листовое желѣзо .	25	7
Шиферъ	76	21,1	Волнистое желѣзо .	22	6,1
Цинковая	41	11,4	Стекло	50	13,9
Толь	30	8,3			
Листовое желѣзо .	16	4,5			
Древесный цементъ .	135	37,5			
Свинцовая	100	27,8			

Собственный вѣсъ желѣзной стропильной фермы можно принять для предварительныхъ расчетовъ:

$$g = (2,5 + 1,5 L_{\text{мпр.}}) \text{ клгр. на кв. метр. горизонт. проекціи}$$

b) Давленіе снѣга.

На кв. метръ горизонтальной проекціи можно принять (см. фиг. 423).

для $h = \frac{1}{2} l$	55	клгр./мпр. ²
" $h = \frac{1}{3} l$	65	"
" $h = \frac{1}{4} l$	70	"
" $h = \frac{1}{5} l$	75	"

Для крышъ съ полигональнымъ очертаніемъ верхняго пояса принимаютъ одно и тоже давленіе снѣга (=75 гк).

Для съверной части Россіи давленіе снѣга принимаютъ въ 100 кггр. на кв. метръ горизонтальной проекціи кровли.

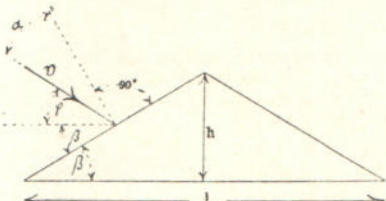
с) Давленіе вѣтра.

Давленіе вѣтра на 1 кв. м. поверхности фермы, нормальной къ направлению вѣтра, принимаютъ въ 120 кггр. (35 пуд. на кв. саж., $1\frac{1}{2}$ пуда на кв. футъ). Обозначая это давленіе F_0 и полагая направление вѣтра подъ угломъ φ къ горизонту, получимъ слагающую давленія вѣтра, нормальную къ поверхности кровли на кв. единицу этой поверхности:

$$F = F_0 \sin^2 (\beta + \varphi).$$

Таблица давленій вѣтра на кровли разныхъ уклоновъ при $F_0 = 120$ гк. (35 пуд./ саж.^2) и $\varphi = 10^0$:

Подъемъ крыши $\frac{h}{l}$	$1/2$	$1/3$	$1/4$	$1/5$	$1/6$	$1/7$	$1/8$	$1/9$	$1/10$
F на кв. м. въ кггр.	80	57	42	33	27	23	20	18	16
F на кв. саж. въ пуд.	22,2	15,8	11,7	9,2	7,5	6,4	5,6	5,0	4,5



Фиг. 423.

Литература.

А. Графическая статика.

- C. Culmann, *Die graphische Statik*. Zürich, I. Auflage 1864; II. Auflage 1875. Изъ 2 изданія появилась половина.
- J. Bauchinger, *Elemente der graphischen Statik*. München 1871.
- K. v. Ott, *Das graphische Rechnen und die graphische Statik*. Prag 1871. IV Auflage 1883.
- Lévy, *La statique graphique et ses applications aux constructions*. Paris 1874. II. Auflage 1886.
- Jay du Bois, *The elements of graphical statics and their application to framed structures*. New-York 1875. II Auflage 1877.
- H. F. Eddy, *Researches in Graphical Statics*. New-York 1876.
- , *Neue Konstruktionen aus der graphischen Statik*. Нѣмецкое издание предыдущаго сочиненія. Leipzig 1880.
- A Favaro, *Lezioni di Statica grafica*. Mailand 1877.
- , *Lecons de Statique graphique*. Переводъ перваго тома предыдущаго сочиненія (P. Terrier).
- J. B. Chalmers, *Graphical determination of forces in engineering structures*. London 1881.
- H. Müller-Breslau et Th. Seyrig, *Eléments de Statique Graphique*. Paris 1886.

Б. Литература къ отдѣламъ II и III *).

- Mohr, *Bietrag zur Theorie der Holz- und Eisenkonstruktionen*. (H. Z. 1870, S. 41 und 1877, S. 51).
- Francke, *Beziehung zwischen der Lage des Spannungsmittelpunktes und der neutralen Achse ebener Figuren*. (H. Z. 1875, S. 329).
- W. Bitter, *Eine neue Festigkeitsformel*. (Civiling. 1876, S. 309).
- Keck, *Excentrische Druckbelastung eines cylindrischen Mauerwerkkörpers ausserhalb des Kerns*. (H. Z. 1882, S. 301).
- , *Excentrische Druckbelastung ausserhalb des Kerns bei Mauerwerkskörperrn von ringförmigem Querschnitte*. (H. Z. 1882, S. 627).
- Mohr, *Ueber die Vertheilung der exsentrischen Druckbelastung einer Mauerwerk körpers*. (H. Z. 1883, S. 163).

*) Сокращенія. H. Z.—Zeitschrift des Architekt. u. Ingen.-Vereins in Hannover
Z. f. Bw.—Zeitschrift für Bauwesen, Berlin.
D. B.—Deutsche Bauzeitung, Berlin.

- Barkhausen, Druckvertheilung im rechteckigen Mauerquerschnitte. (H. Z. 1883, S. 469).
 Hüppner, Zur Ermittelung der Druckvertheilung in Mauerwerksquerschnitten. (Civiling. 1885, S. 39).
 Hildgard, Culmann's Verfahren zur Bestimmung der Trägheitsmomente einer aus zwei einfachen Figuren zusammengesetzten Fläche. (Schw. B. 1883, Juni, S. 143).
 Mohr, Ueber die Bestimmung und die graphische Darstellung von Trägheitsmomenten ebener Flächen. (Civiling. 1887, S. 43)

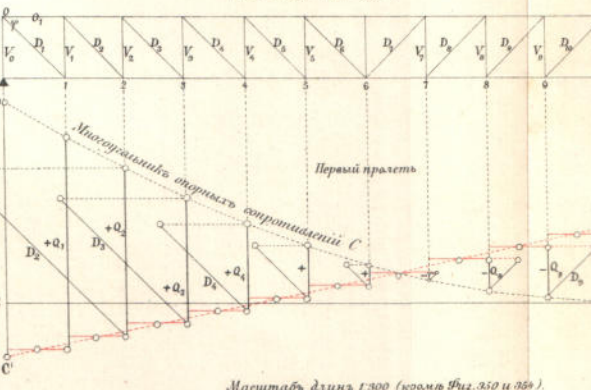
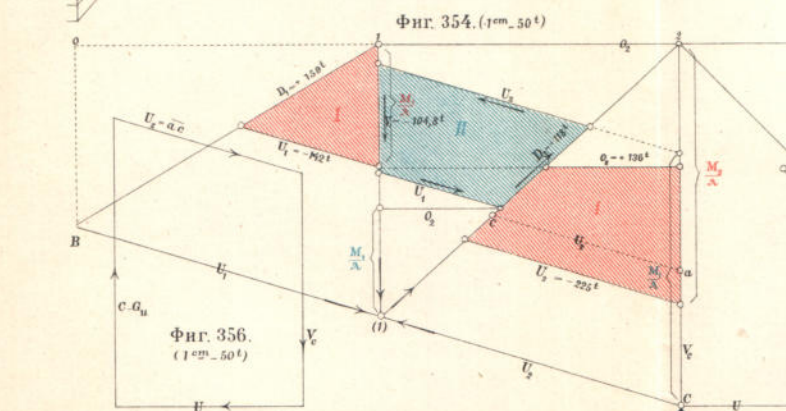
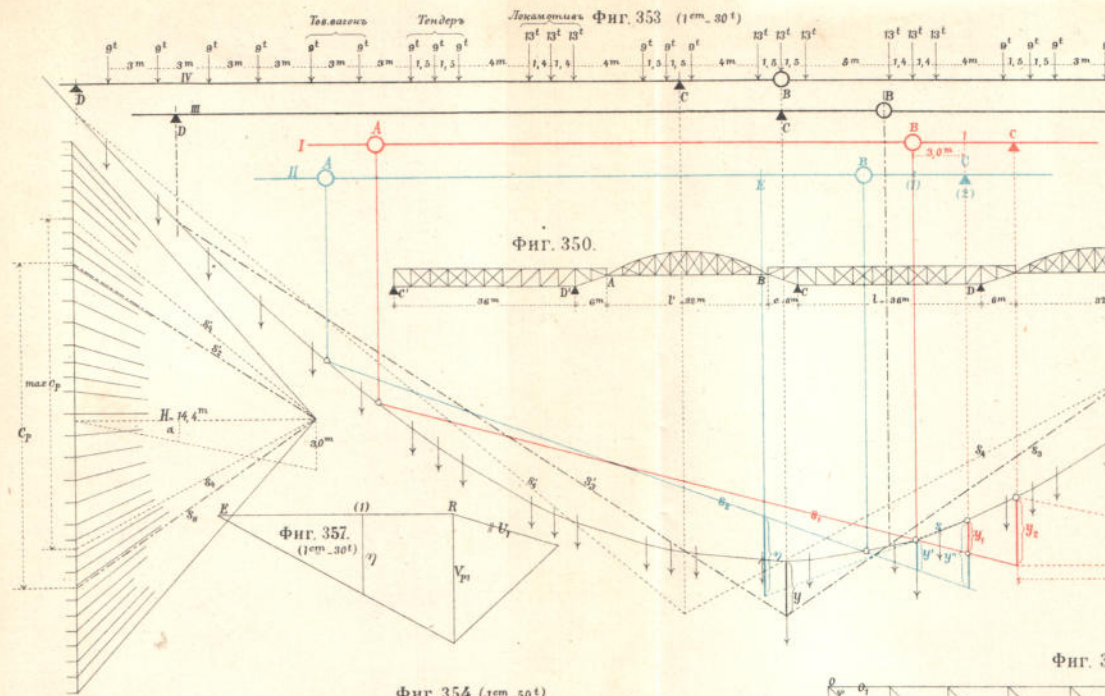
C. Теорія статически опредѣлимыхъ фермъ.

- Ritter, Elementare Theorie und Berechnung eiserner Dach- und Brückenkonstruktionen. Hannover 1863. III. Auflage 1873.
 Laissle u. Schübler, Der Bau der Brückenträger. Stuttgart 1857. IV. Auflage (2 Bände) 1876.
 J. Clark Maxwell, *On the application of the theory of reciprocal polar figures to the construction of diagrams of forces*. Engineer, Vol. 24, S. 402. Въ этой статьѣ впервые показано построение взаимныхъ діаграммъ для рѣшетки съ постоянной нагрузкой. Общее изслѣдование изложено Maxwell'емъ въ статьѣ: *On reciprocal figures and diagrams of forces*. Philosophical Magazine, April 1864, S. 250.
 Schäffer, Hilfssätze für die Berechnung der Fachwerkträger. (Z. f. Bw. 1870).
 Keck Ueber die Ermittelung der Spannungen in Fachwerkträgern mit Hülfe der graphischen Statik. (H. Z. 1870, S. 153).
 Fleeming Jenkin, *On the practical application of reciprocal figures to the calculation of strains of framework*. Trans. of the Royal Society of Edinburgh 1870, S. 441.
 L. Cremona, *Le figure reciproche nella Statica Grafica*. Milano, J. Giugno, 1872. Изслѣдованія Cremona имѣютъ болѣе общий характеръ, чѣмъ Maxwell'я.
 E. Winkler, Theorie der Brücken, Heft I: Aeussere Kräfte gerader Träger und Heft II: Innere Kräfte gerader Träger. Wien 1873 — 1881.
 Schaeffer, Graphische Ermittelung der Ordinaten des Schwedler'schen Trägers. (Z. f. Bw. 1873, S. 237).
 Heuser, Graphische Ermittelung der Ordinaten des Schwedler'schen Trägers. (Z. f. Bw. 1873, S. 523).
 Keck, Ungünstigste Belastungsart für Fachwerkträger, kontinuirliche Gelenkträger und für Bögen mit 3 Gelenken. (H. Z. 1874, S. 352).
 Mohr, Beitrag zur Theorie der Bogenfachwerkträger. (H. Z. 1874, S. 223). Содержитъ описание известного способа графического расчета рѣшетчатыхъ балокъ.
 L. Tetmajer, Die äusseren und inneren Kräfte an statisch bestimmten Brücken und Dachstuhl-Konstruktionen. Zürich 1875.
 Weyrauch, Maximalmomente einfacher Träger bei festen und mobilen Lastsystemen. (H. Z. 1875, S. 467).
 Schäffer, Zur Berechnung von Fachwerkträgern auf zwei Stützpunkten. (D. B. 1875).
 Fränkel, Ueber die ungünstigste Einstellung von Einzellasten auf Fachwerkträgern mittels Influenzkurven. (Civiling. 1876, S. 442).
 Zimmermann, Das Momentenschema. (H. Z. 1877, S. 61).
 Quietmeyer, Berechnung der Form und der Spannungen eines Brückenträgers von 72 m Weite mit zweifachem Fachwerk und bis zur Mitte nach der Grenzform der einfachen Zugdiagonalen durchgeföhrten Krümmung der oberen Gurtung. (H. Z. 1877, S. 233).
 W. Wittmann, Die graphische Bestimmung der Maximalmomente. München 1877.
 Schäffer, Balastungsgesetz für den Balken auf zwei Stützpunkten. (Z. f. Bw. 1877).

- Engesser**, Geometrische Bestimmung der in einem Fachwerkträger wirkenden inneren Kräfte. (Zeitschr. f. Baukunde, München 1878, S. 87).
- Foeppl**, Theorie des Fachwerks. Leipzig 1880.
- C. Stelzel**, Theorie einfacher, statisch bestimmter Brückenträger. Wien 1880.
- Melan**, Beitrag zur graphischen Behandlung der Fachwerkträger mit Zugrundelung des Princips der Influenzkurven. (H. Z. 1880, S. 219).
- Hardung**, Ermittelung der Spannungen in einer Bogenbrücke mit drei Gelenken (Z. f. Bw. 1880, S. 419).
- Handbuch der Ingenieurwissenschaften** Band. II. Brückenbau (bearbeitet von Schäffer und Sonne). Leipzig 1881.
- Münchow**, Kräftepläne combiniirter Fachwerksysteme (Centralblatt der Bauverwaltung 1882, S. 278).
- Almqvist**, Graphische Ermittelung der absoluten Maximalmomente einfacher, durch bewegliche Lastensysteme beanspruchter Träger. (Civiling. 1882, S. 640).
- , Ermittelung der grössten Momente und Vertikalkräfte an einfachen, durch bewegliche Lastensysteme beanspruchten Trägern. (Civiling. 1883, S. 153).
- , Ueber die graphische Bestimmung der grössten Momente bei mittelbarer Belastung. (Civiling. 1884, S. 337).
- Schlotke**, Neue geometrische Bestimmung der grössten Momente einfacher Träger bei beweglichen Lastgruppen. (Civiling. 1885, S. 501).
- Henneberg**, Statik der starren Systeme. Darmstadt 1886.
- Grübler**, Beitrag zur Theorie des ebenen einfachen Fachwerks. (Riga'sche Industrie-Zeitung 1887, No. 4 u. 5).
- Hüppner**, Seilzug durch drei gegebene Punkte. (Civiling. 1887, S. 89).
- Müller-Breslau**, Beitrag zur Theorie des ebenen Fachwerks. (Schw. Bauzg. 1887 Mai, S. 121).

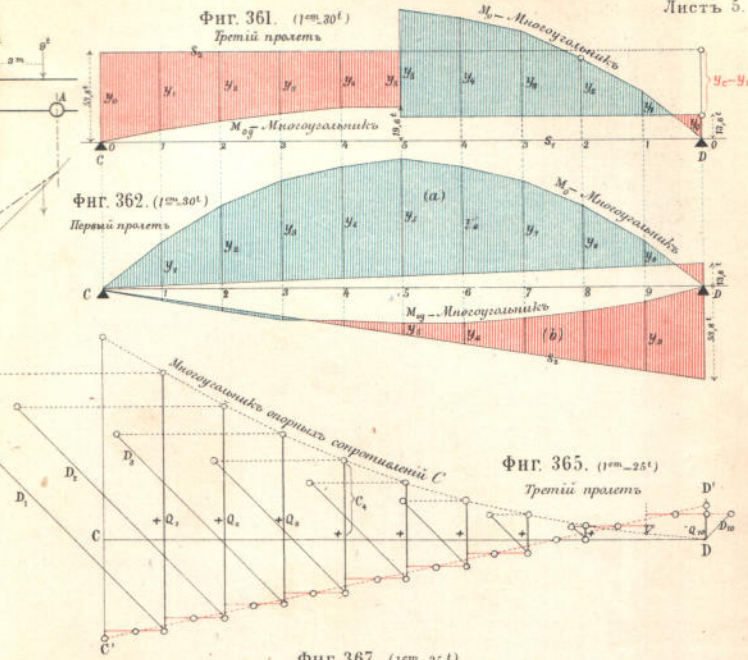


Диаграммы для балки Гербера (§44)



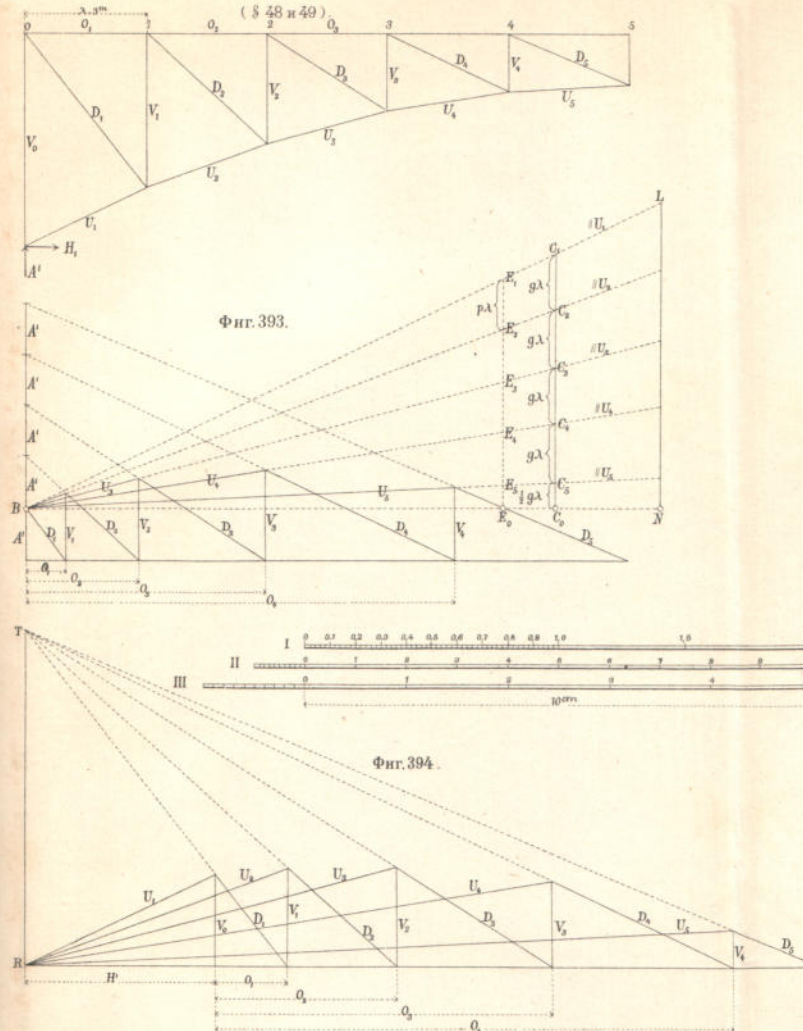
Масштаб длины 1:300 (кроме Фиг. 350 и 359).

ДИАГРАММЫ ДЛЯ БАЛКИ ГЕРБЕРА (§44)



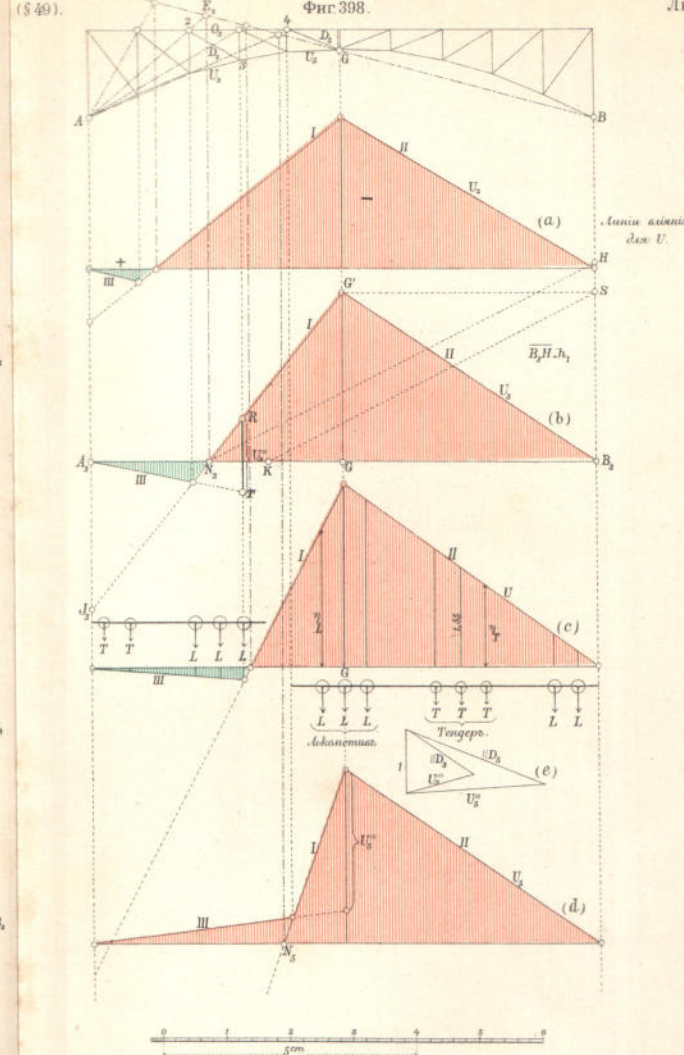
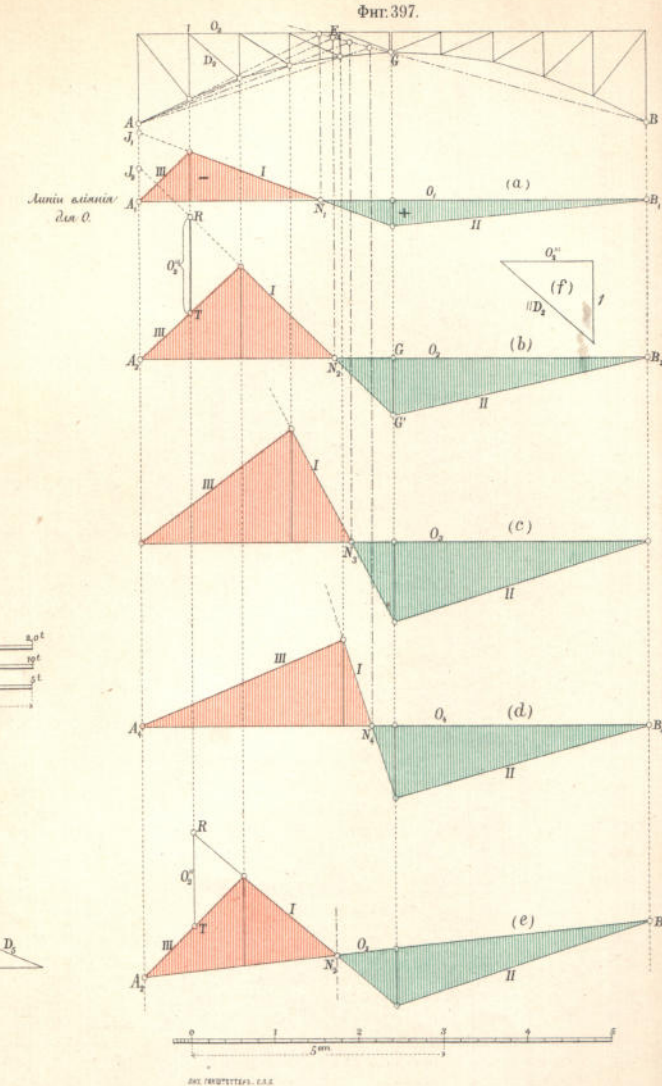
Фиг. 350, 353, 354, 356, 357, 361, 362, 365, 366, 367.

Издание Инженера П. Казина.



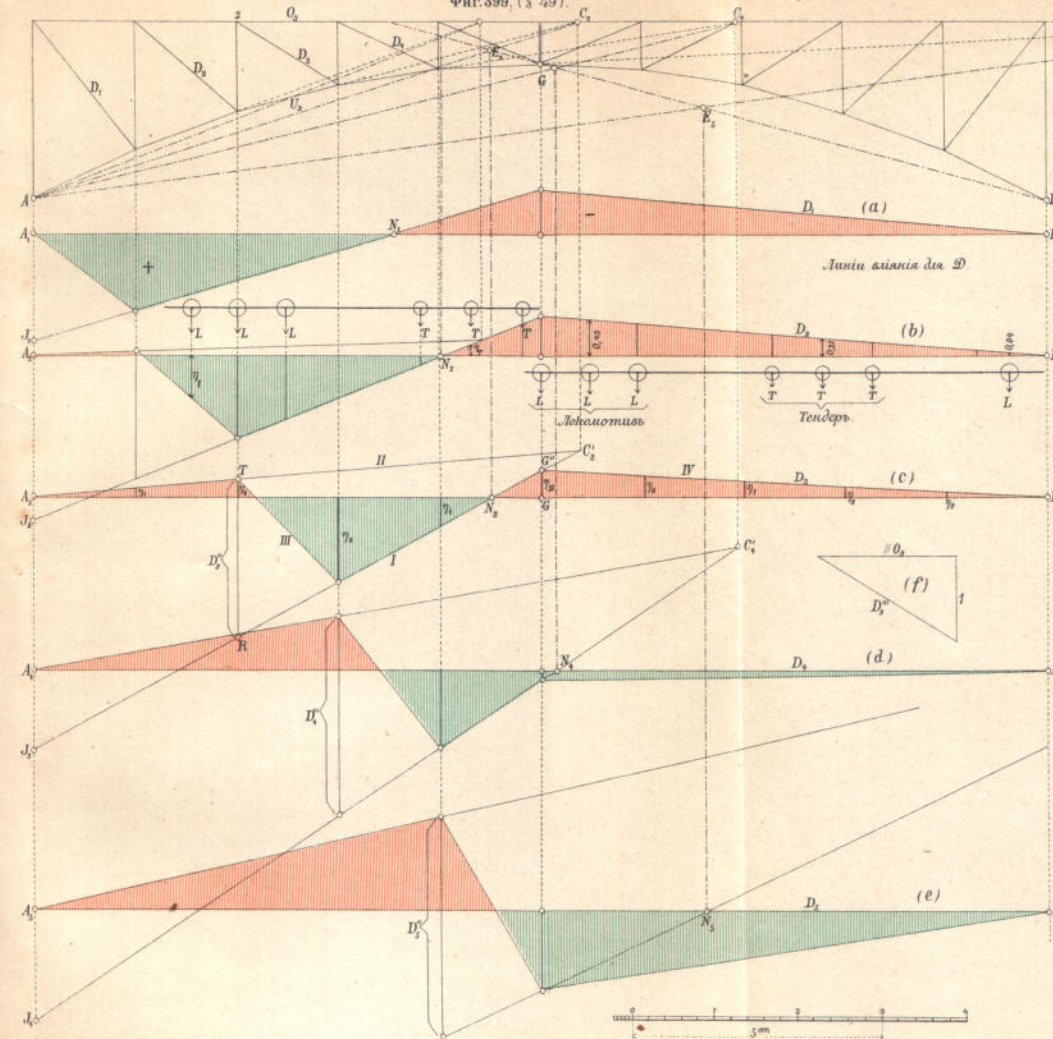
Мюлльер-Бреслау Графическая статья сооружений.

Г. Криковицкий и П. Казинъ.

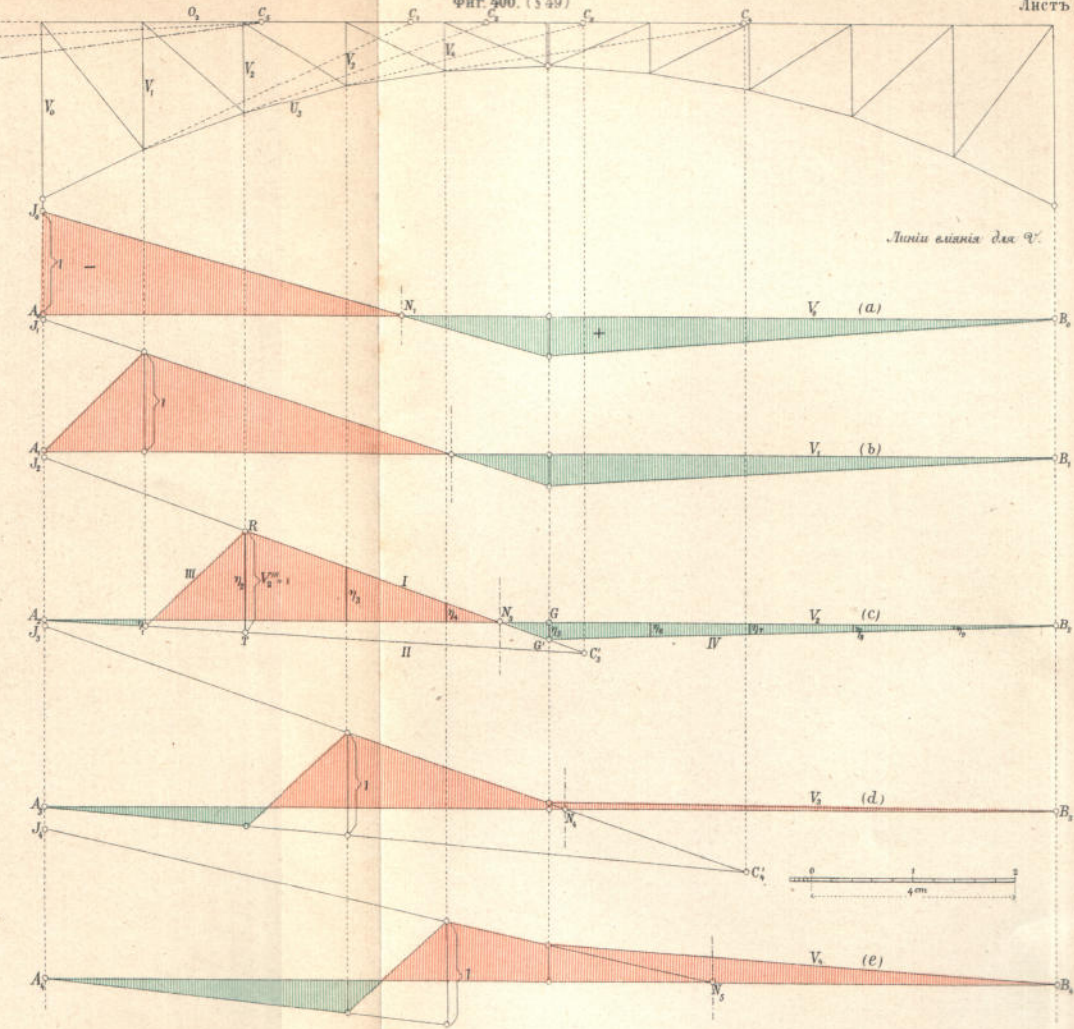


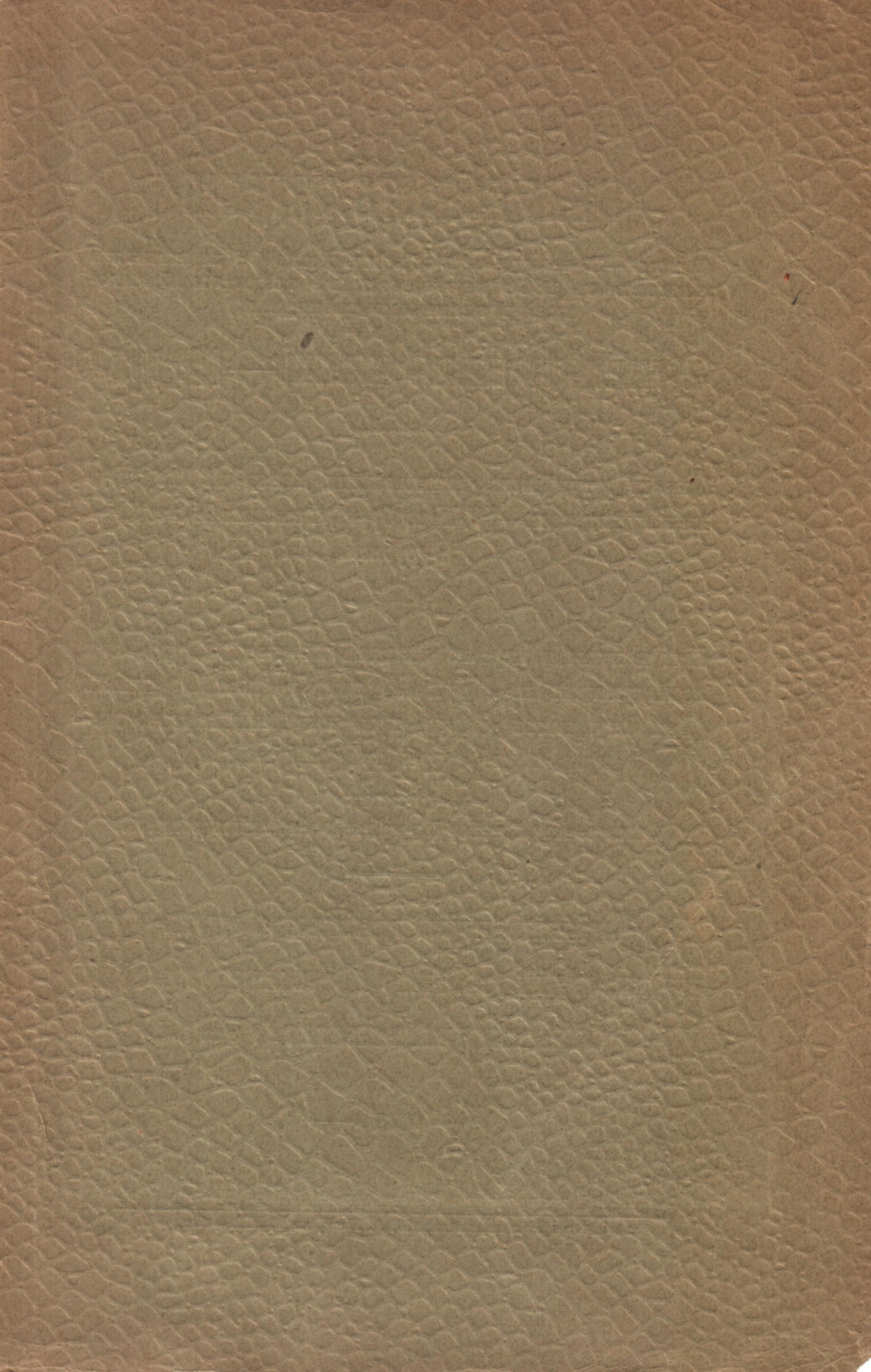
Издание Инженера П. Казина.
Фиг. 393, 394, 397 и 398.

Фиг. 399. (§ 49).



Фиг. 400. (§ 49)





Цѣна полнаго изданія

(2 тома—10 выпусковъ обѣемъ около 65 печатныхъ листовъ съ 1000 чертежами въ текстѣ и 15 литографированными таблицами)

по подпискѣ въ книжныхъ магазинахъ — **12** рублей.

Для тг. студентовъ техническихъ заведеній по подпискѣ у издателя—(С.-Петербургъ, Фонтанка 24, кв. 9)—
8 рублей.

При полученіи первого выпуска вносится **3** руб., при послѣдующихъ по **1** руб. **50** коп. до полной уплаты.
(Для студентовъ **3** руб. при полученіи первого выпуска и по **1** руб. при слѣдующихъ).

За пересылку по вѣсу и разстоянію налагается платежъ.

Отдѣльные выпуски продаваться не будутъ.

ИЗДАНІЕ БУДЕТЪ ОКОНЧЕНО ВЪ ТЕЧЕНИИ 1899 ГОДА.

НАПЕЧАТАНЫ СЛѢДУЮЩІЕ ВЫПУСКИ: I и V (томъ I).



Дозволено цензурою С.-Петербургъ, 21 Декабря 1898 г.

Типо-литографія и переплетная Ю. А. Манефельдъ, М. Морская, № 9.